

**GLO-4030/7030**  
**APPRENTISSAGE PAR RÉSEAUX**  
**DE NEURONES PROFONDS**

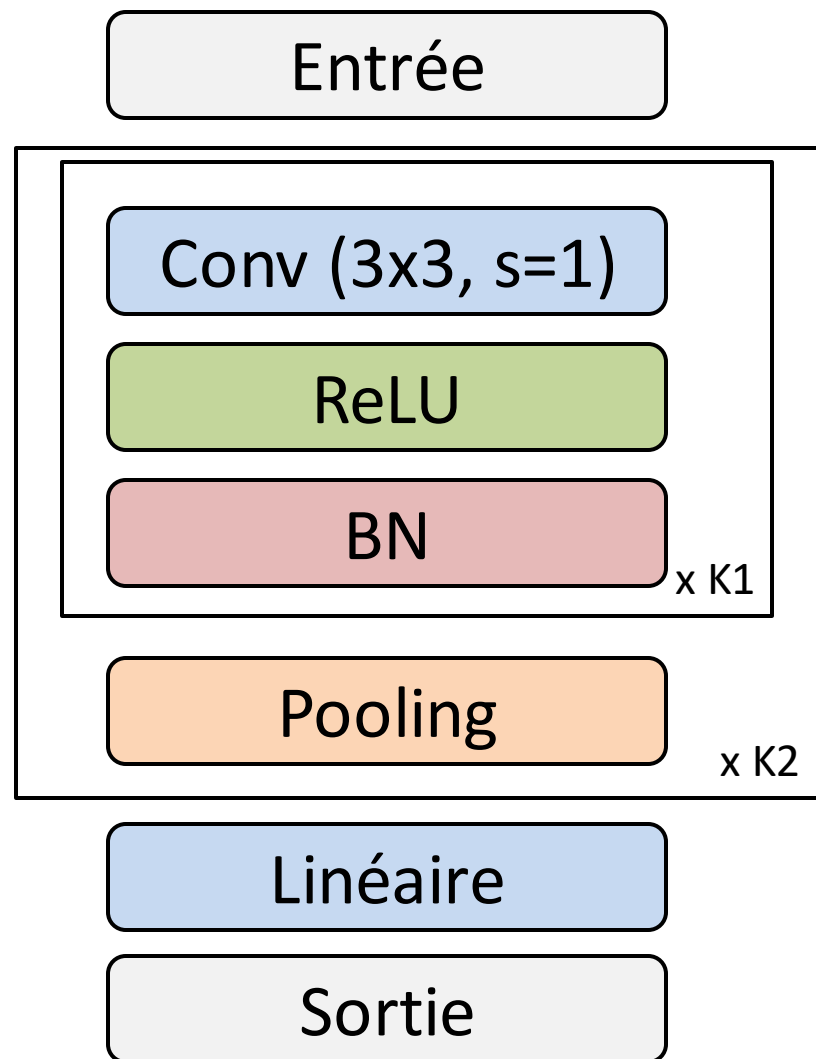
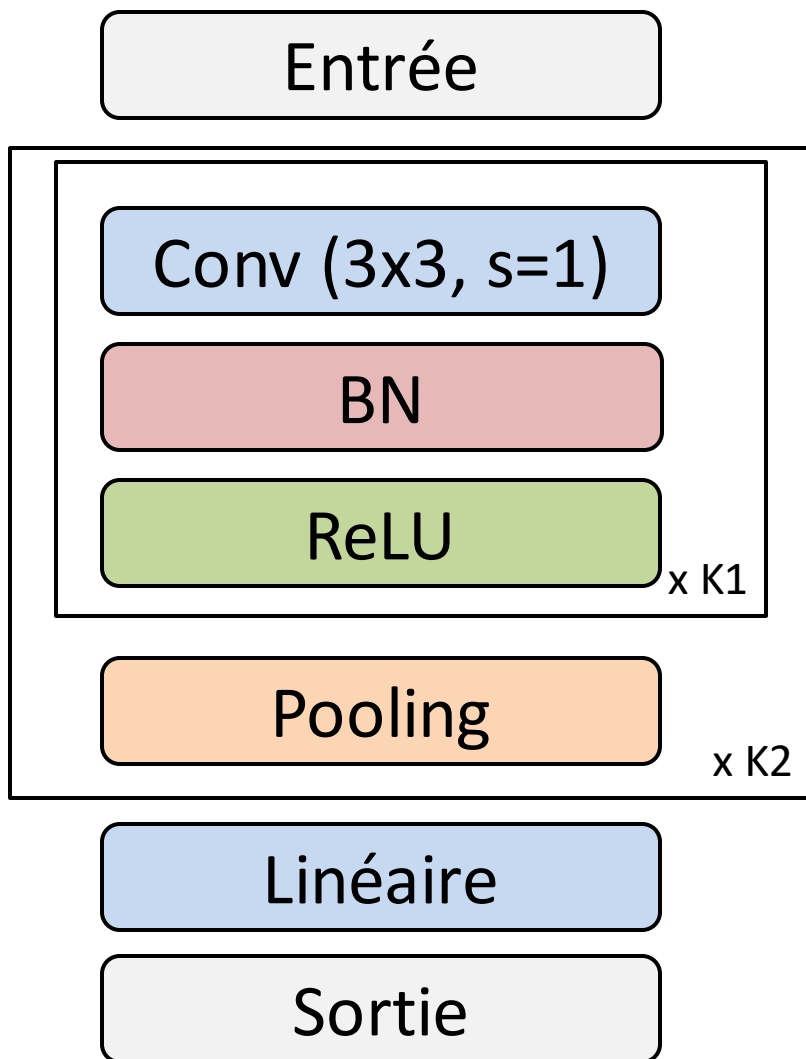
**Convolutional Neural**

**Networks CNN**

**Partie I**

# Position de la batch norm

## Classique      Nouvelle tendance

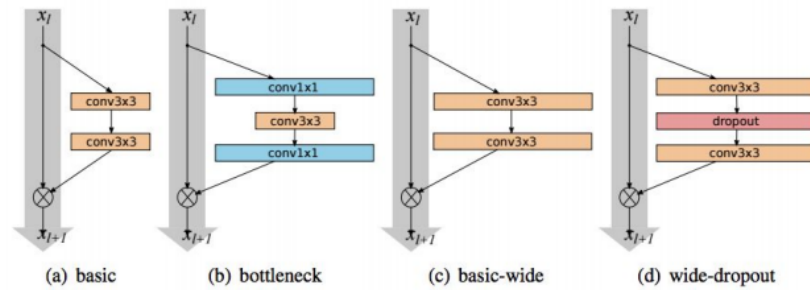


# Introduction

- L'un des plus grand success-story du *Deep*
- Responsable (en partie) de la renaissance
- Bel exemple d'injection de *prior* via l'architecture
- Voir de nombreuses architectures, transposables à d'autres applications

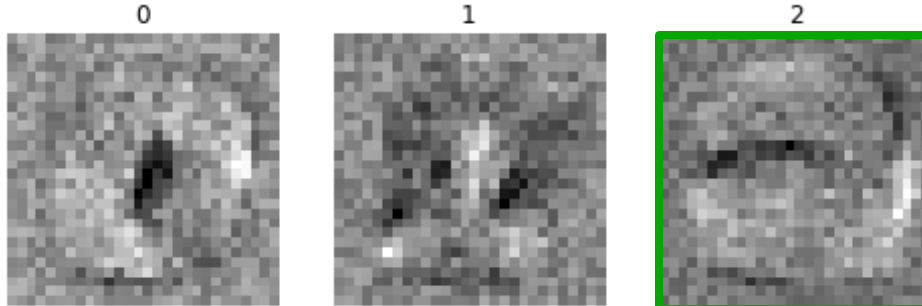
# ResNet tweaks: Wide ResNets

- Use pre-activation ResNet's basic block with more feature maps
- Used parameter "k" to encode width
- Investigated relationship between width and depth to find a good tradeoff

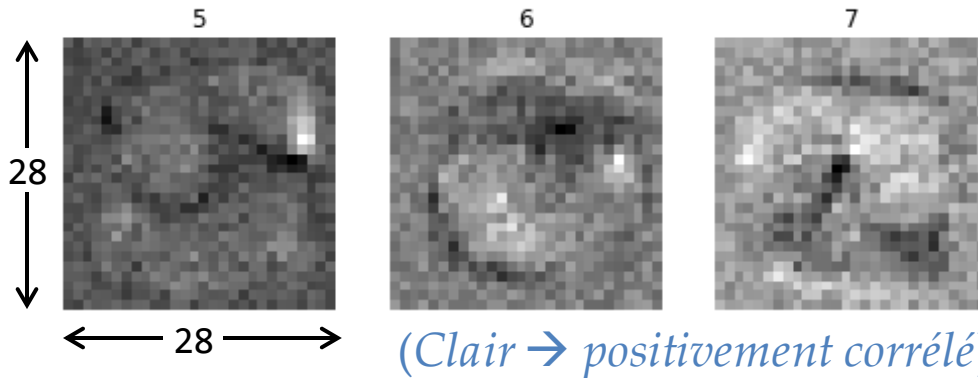


Sergey Zagoruyko, Nikos Komodakis  
Wide Residual Networks

# Rappel : réseau 1 couche MNIST

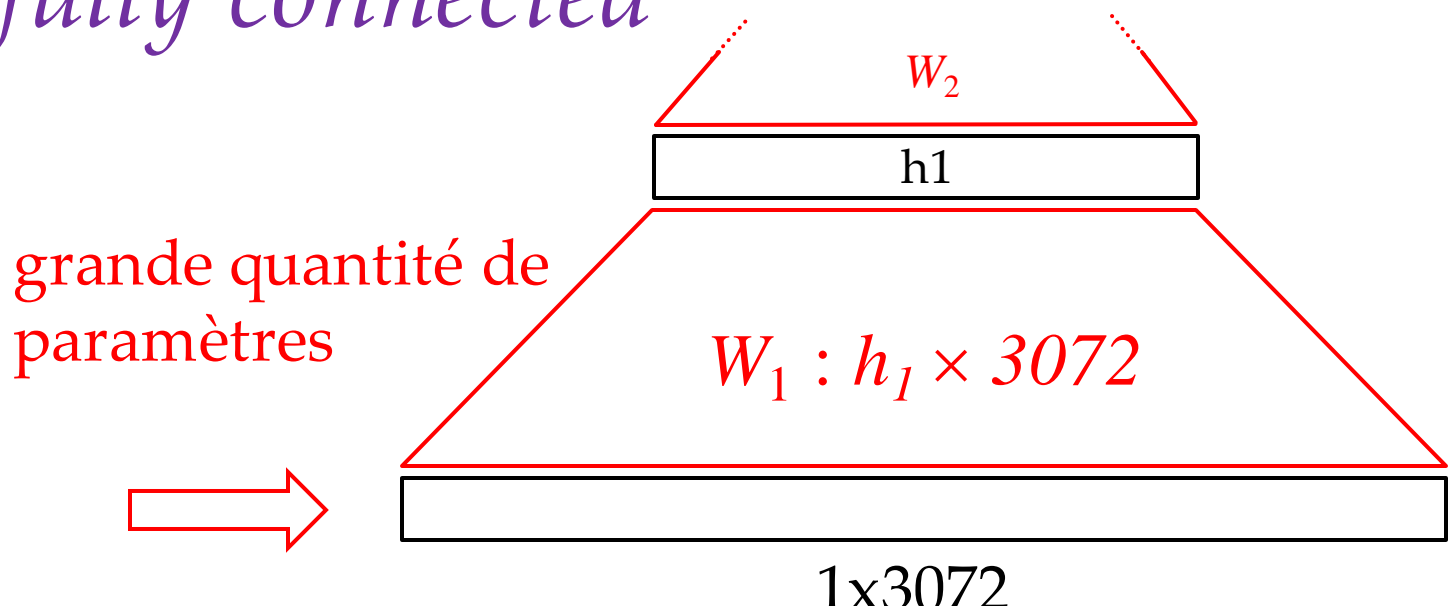


Patron == filtre



- On voit corrélation spatiale sur pixels voisins
- Réseau doit la découvrir : doit utiliser + d'exemples d'entraînement (*statistical efficiency*)

# Réseau *fully connected*



Vectorisation  
(*flatten*) de l'image

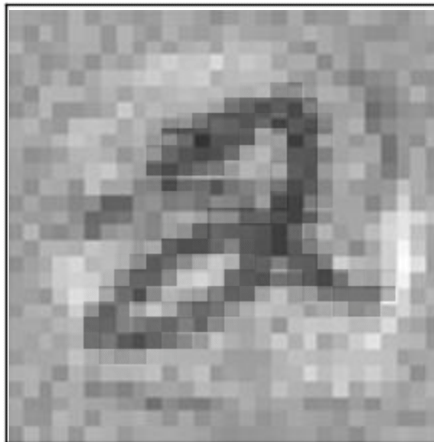


- **Vectorisation** détruit :
  - relations spatiales
  - canaux de couleurs

Image 32x32x3

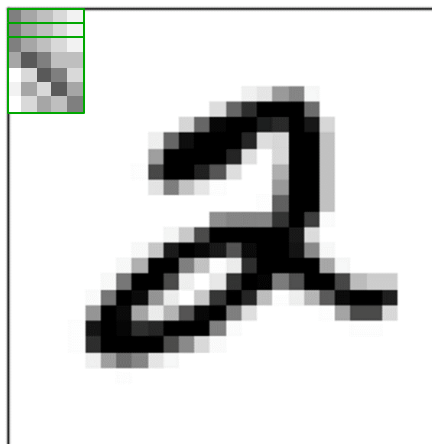
# Filtre

Multiplier entrée-par-entrée, 1 fois



---

Multiplier entrée-par-entrée,  
plusieurs fois



# Convolution \*

- Opération mathématique très utilisée :
  - Traitement de signal
  - Probabilités (somme de 2 variables aléatoires)
  - Modélisation de systèmes via réponse impulsionale (GMC, GEL)

$$(I * F)(i, j) = \underbrace{(F * I)(i, j)}_{\text{commutative}} = \sum_m \sum_n F(m, n) I(i - m, j - n)$$

- Au sens strict, les réseaux utilisent plutôt la corrélation croisée  $\star$

$$(F \star I)(i, j) = \sum_m \sum_n F(m, n) I(i + m, j + n)$$

  
+ au lieu de -

# Exemple « convolution »

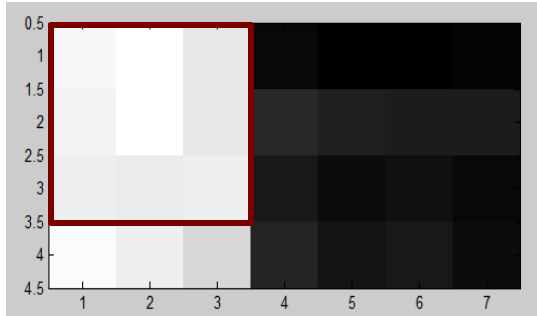
(qui est plus une corrélation croisée, mais bon...)

(Appellation de Filtre,  
*Filter*, ou *Kernel*)

$$F_1 = \begin{bmatrix} -1 & 0 & 1 \\ -2 & 0 & 2 \\ -1 & 0 & 1 \end{bmatrix}$$

207	210	195	63	57	56	59
204	212	197	82	76	74	75
202	198	202	72	65	67	63
209	201	187	78	69	71	64

-26	-533	-517	-28	
-29	-505	-513	-25	

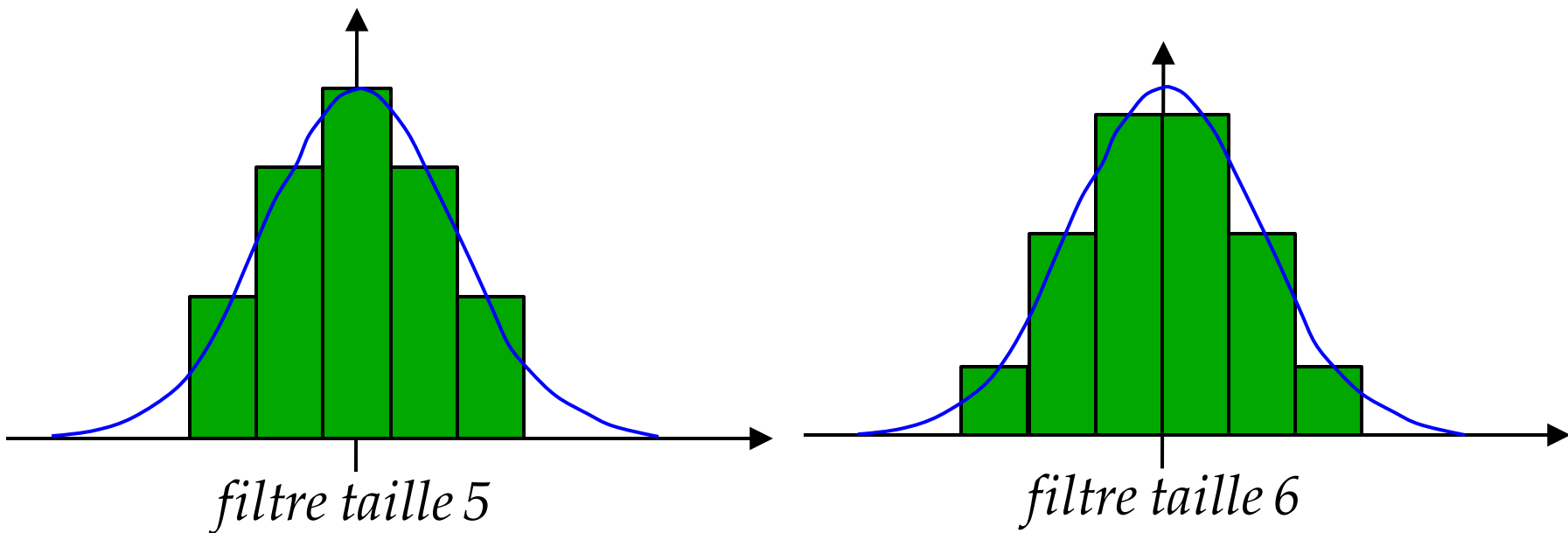


# Exemple convolution

<http://setosa.io/ev/image-kernels/>

# Pourquoi filtre taille impaire

- Pas de pixel « milieu » pour filtre taille paire
- Exemple : filtre radialement symétrique

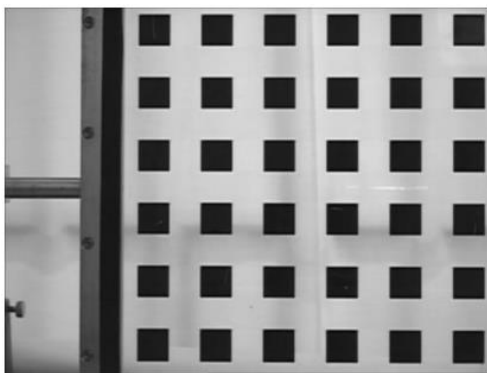


La résultante est  
imputée à un seul pixel  
de l'image en sortie

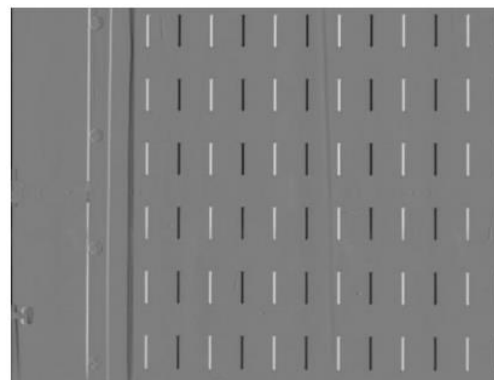
La résultante tombe à  
cheval entre des pixels  
de l'image en sortie  
(aliasing)

# Exemples filtres *hand-tuned*

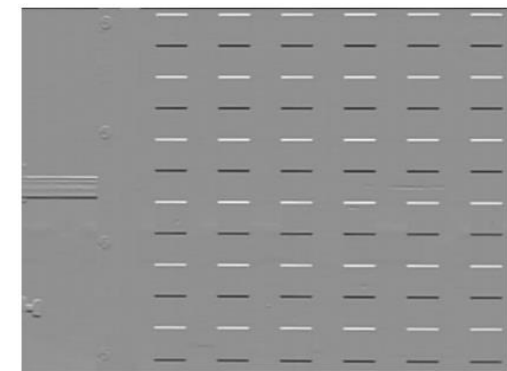
Détection bordure



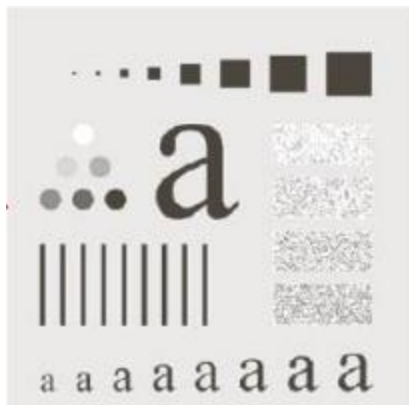
Bordure  
verticale

$$\begin{bmatrix} -1 & 0 & 1 \\ -1 & 0 & 1 \\ -1 & 0 & 1 \end{bmatrix}$$


Bordure  
horizontale

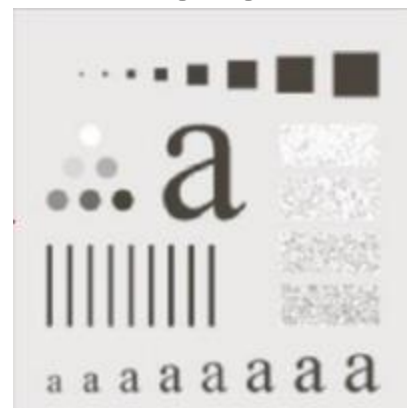
$$\begin{bmatrix} -1 & -1 & -1 \\ 0 & 0 & 0 \\ 1 & 1 & 1 \end{bmatrix}$$


Flou

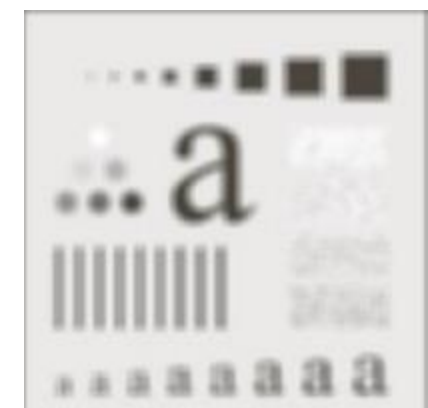


$$\begin{bmatrix} 1 & \cdots & 1 \\ \vdots & \ddots & 1 \\ 1 & 1 & 1 \end{bmatrix}$$

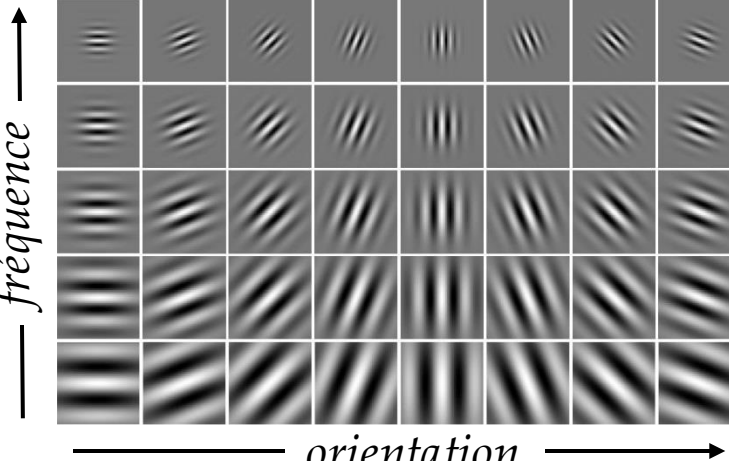
5x5



15x15

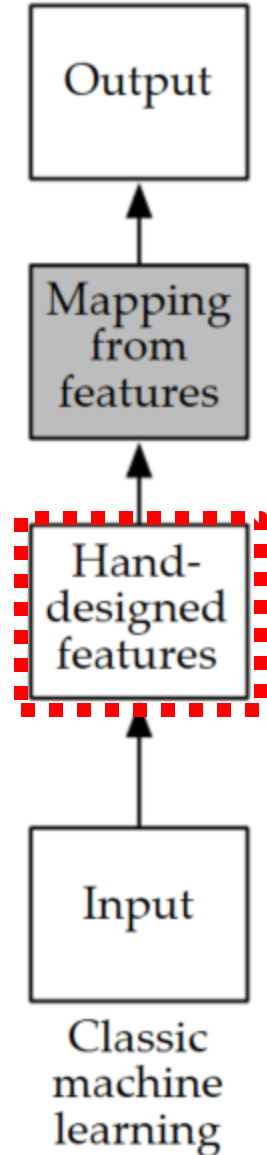


# Filtres

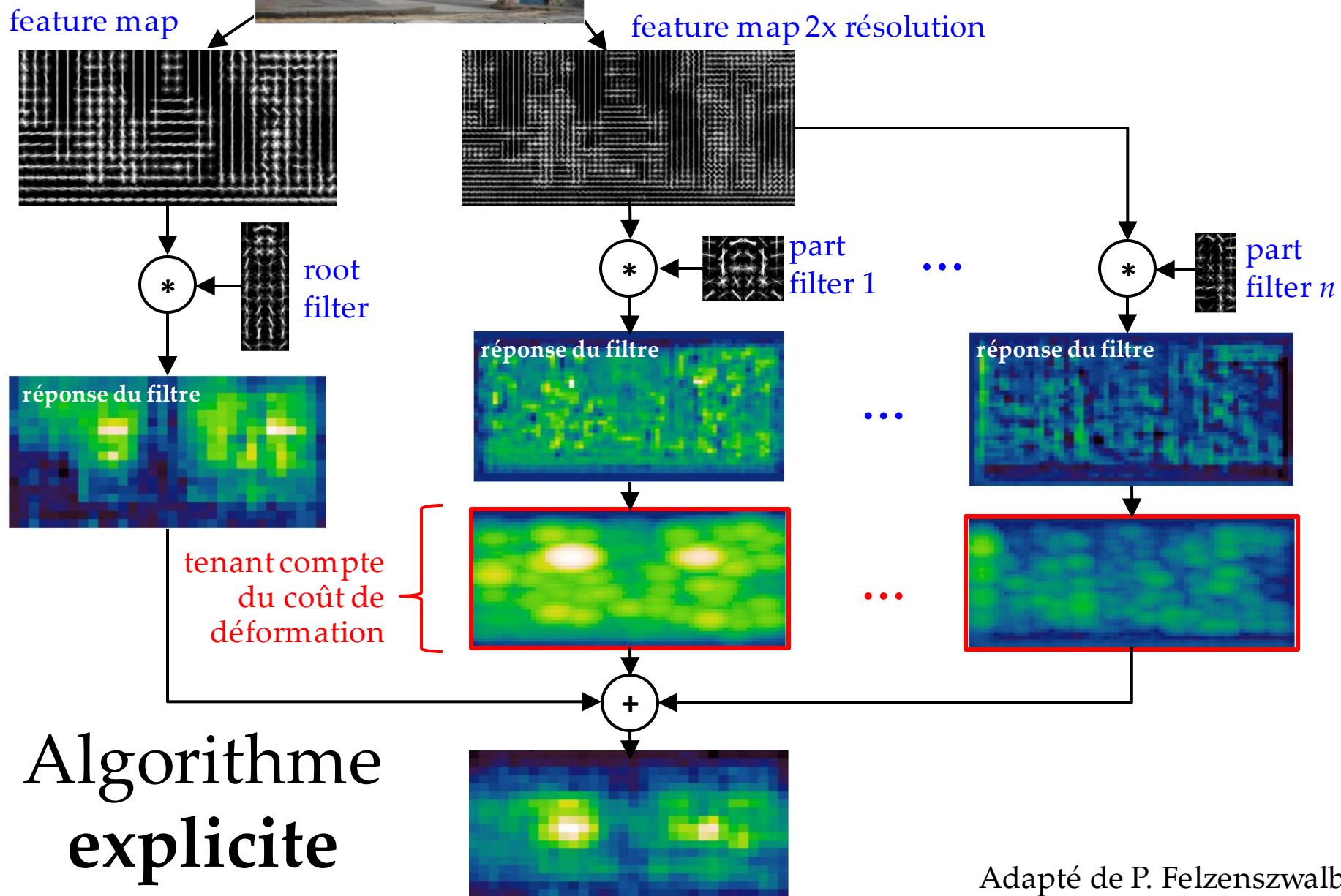
- Vont extraire des *features* de bas niveau
  - Filtres *Gabor* :  


The image shows a 4x4 grid of 16 Gabor filters. Each filter has a distinct orientation and frequency. A vertical arrow on the left is labeled "fréquence" (frequency) pointing upwards, and a horizontal arrow at the bottom is labeled "orientation" pointing to the right.

© MathWorks
  - Filtres de bordure, ondelettes
- Longtemps été un domaine de recherche
  - que concevriez-vous comme filtre pour MNIST ?
- Comme les filtres CNN sont différentiables, le réseau pourra les modifier à sa convenance
  - les ajuster pour maximiser les performances sur les données d'entraînement



# DPM



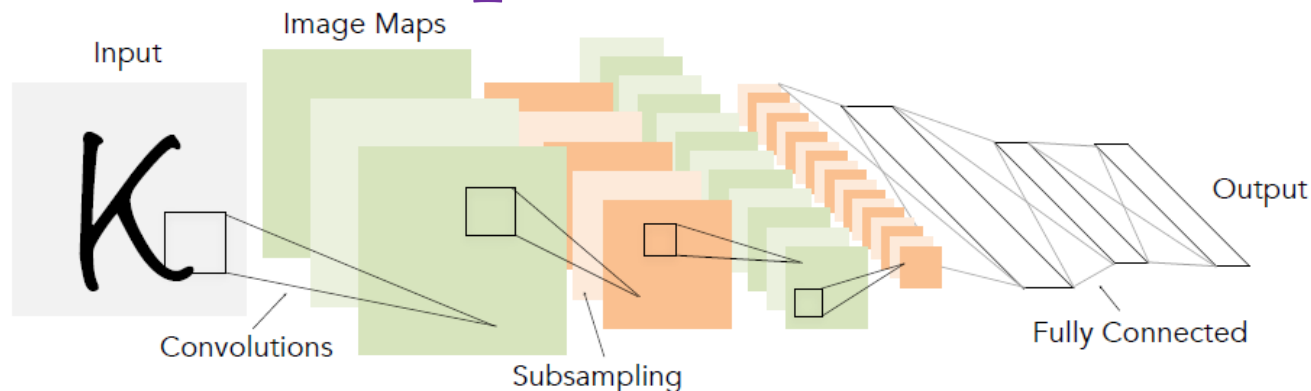
# Injection de *prior* dans les CNN

- Forte corrélation locale dans les valeurs des pixels (champs réceptif)
  - structure 2D
- Régularisation par *weight sharing*
- Former des *features* de manière hiérarchique, de plus en plus abstraits

# Ne date pas d'hier

1998

LeCun et al.



# of transistors



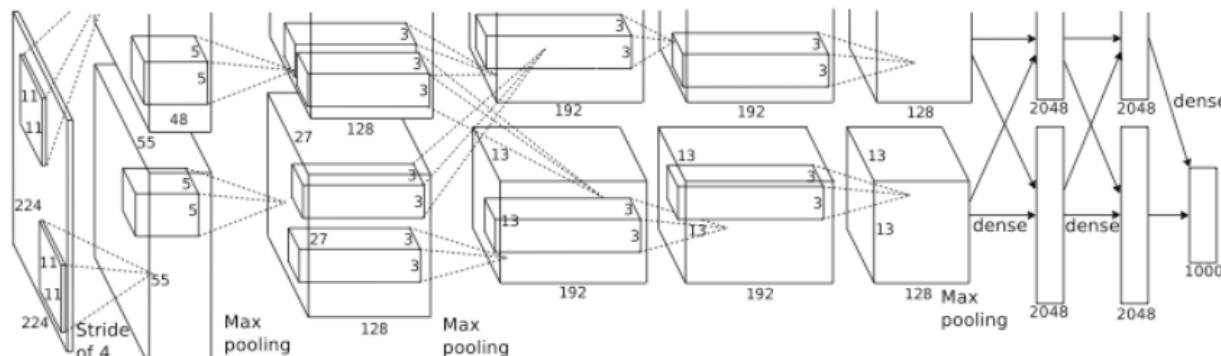
$10^6$

# of pixels used in training

$10^7$

2012

Krizhevsky et al.



# of transistors



$10^9$

GPUs



# of pixels used in training

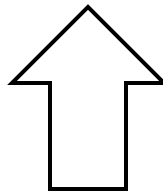
$10^{14}$

Figure copyright Alex Krizhevsky, Ilya Sutskever, and Geoffrey Hinton, 2012. Reproduced with permission.

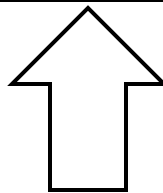
# CNN : couche typique

Tenseur (volume 3D)

$$(H_{out} \times W_{out} \times C_{out})$$



Fonction différentiable,  
avec ou sans paramètres



Tenseur (volume 3D)

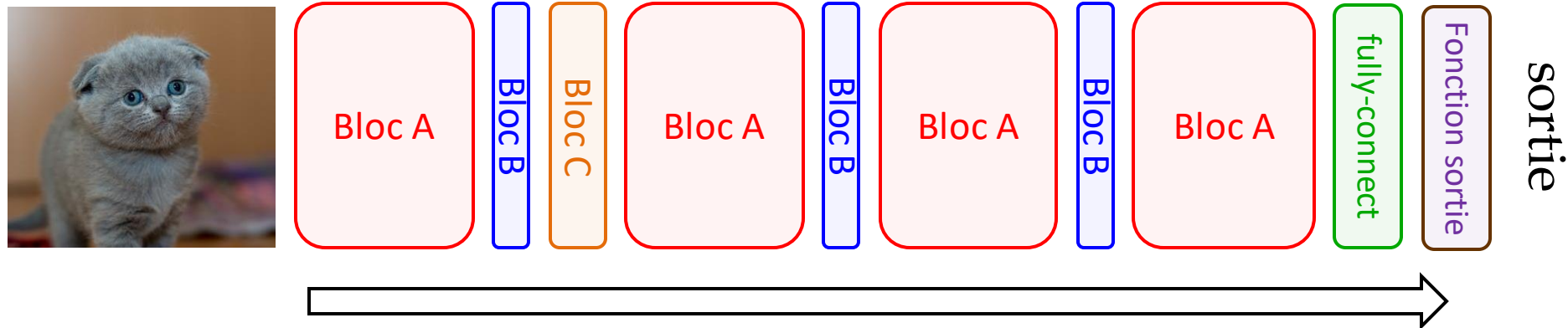
$$(H_{in} \times W_{in} \times C_{in})$$

# Principaux types de couche

- *Fully-Connected* (vous connaissez déjà)
- Convulsive
- Pooling
  - Max
  - Average et global average
  - Stochastic
  - Fractional

# Approche par bloc

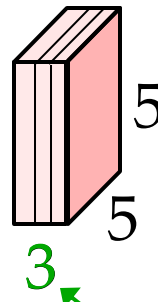
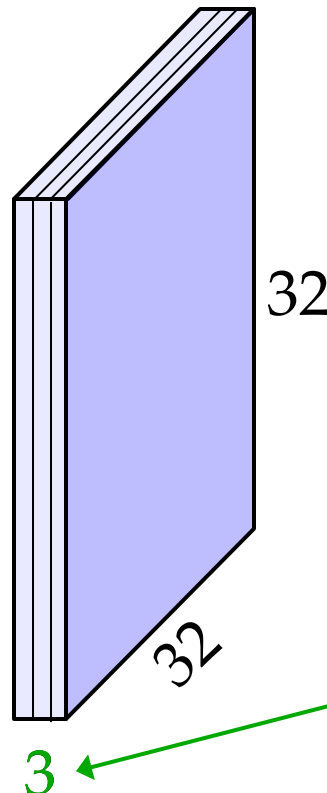
- La plupart des architectures sont organisées par alternance de blocs (pas de spaghetti)



- Facile de combiner des blocs de différents types, jouer sur la profondeur, réutiliser des idées
- Choix des blocs est en quelque sorte des *hyperparamètres* : trop difficile de parfaitement optimiser, donc on se restreint à un agencement limité

# Filtres convolutifs

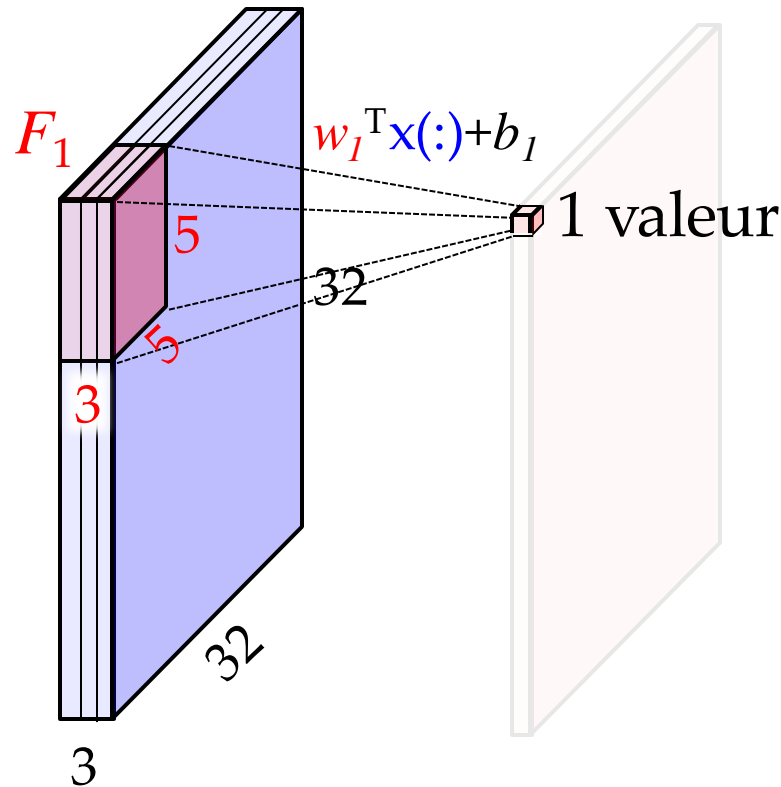
- Conserver la structure spatiale/couleur/*feature* de l'entrée



Profondeur du filtre est TOUJOURS  
la même que pour l'image/tenseur  
en entrée de la couche

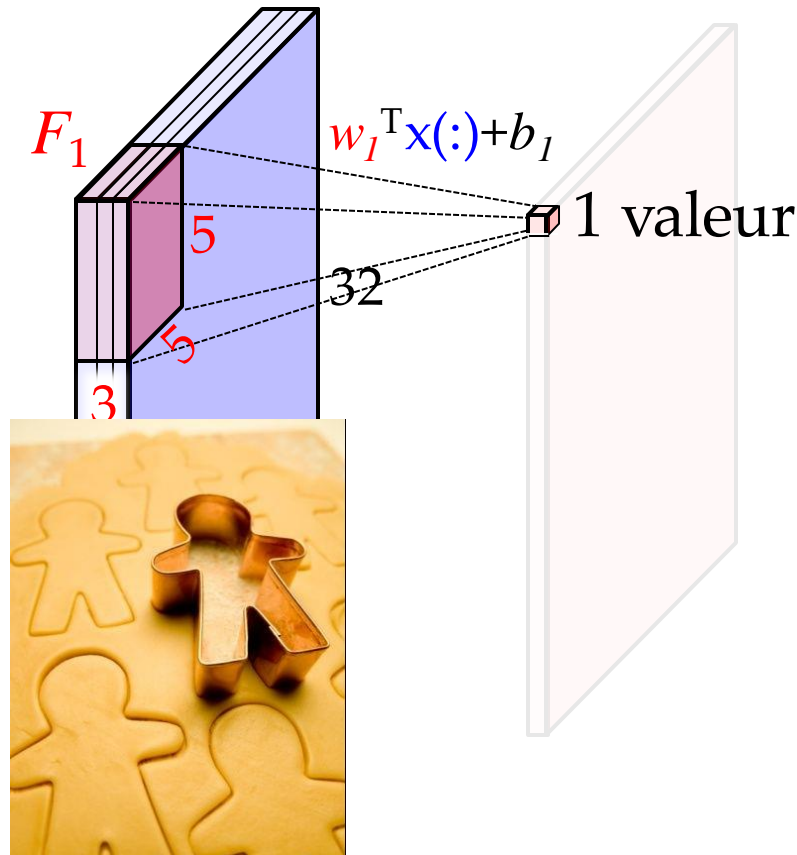
# Filtres convolutifs

- Glisser spatialement le filtre  $\mathcal{F}$  sur l'image, en calculant produit scalaire à chaque endroit de  $\mathcal{x}$



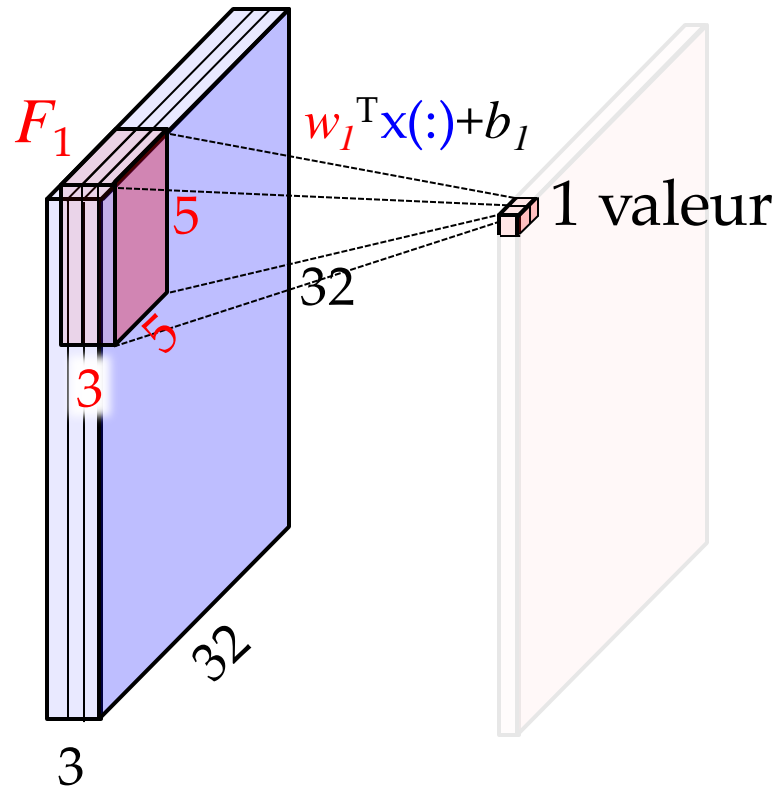
# Filtres convolutifs

- Glisser spatialement le filtre  $F$  sur l'image, en calculant produit scalaire à chaque endroit de  $x$



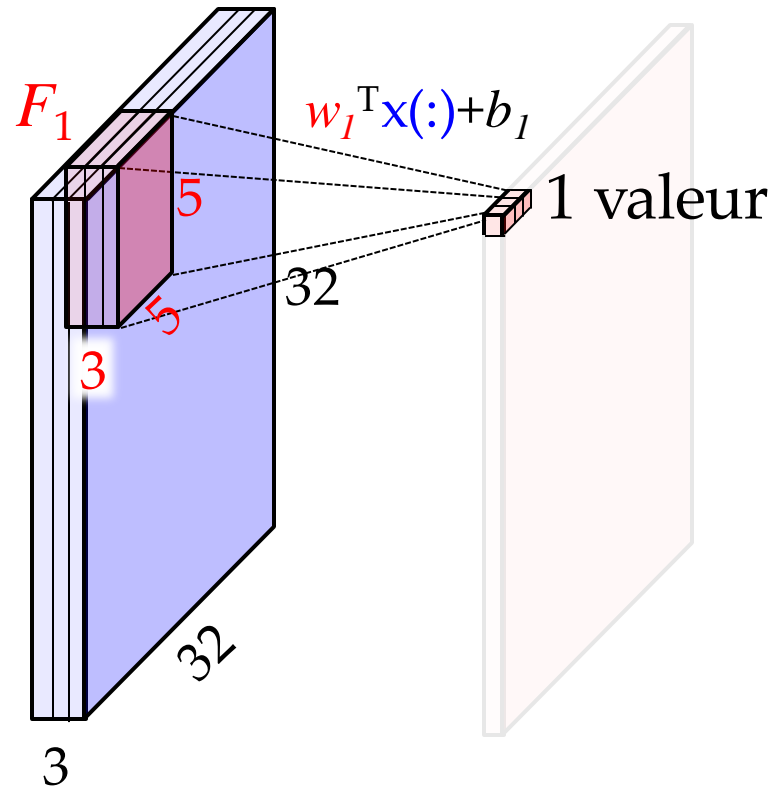
# Filtres convolutifs

- Glisser spatialement le filtre  $\textcolor{red}{F}$  sur l'image, en calculant produit scalaire à chaque endroit de  $\textcolor{blue}{x}$



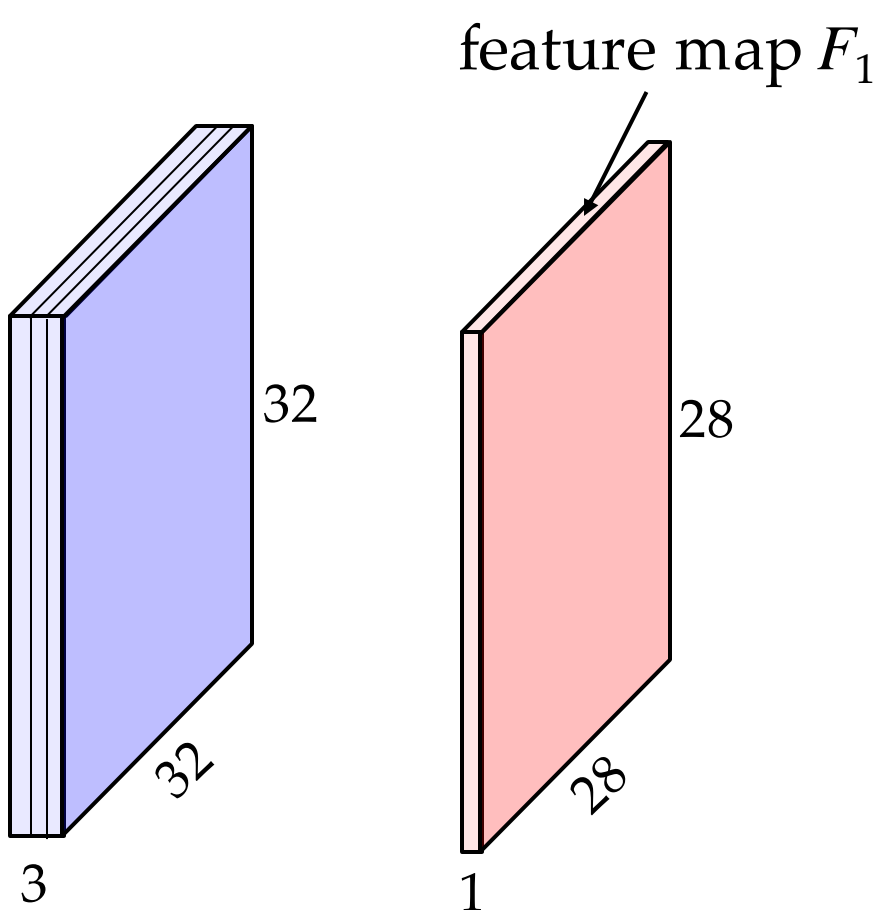
# Filtres convolutifs

- Glisser spatialement le filtre  $F$  sur l'image, en calculant produit scalaire à chaque endroit de  $x$



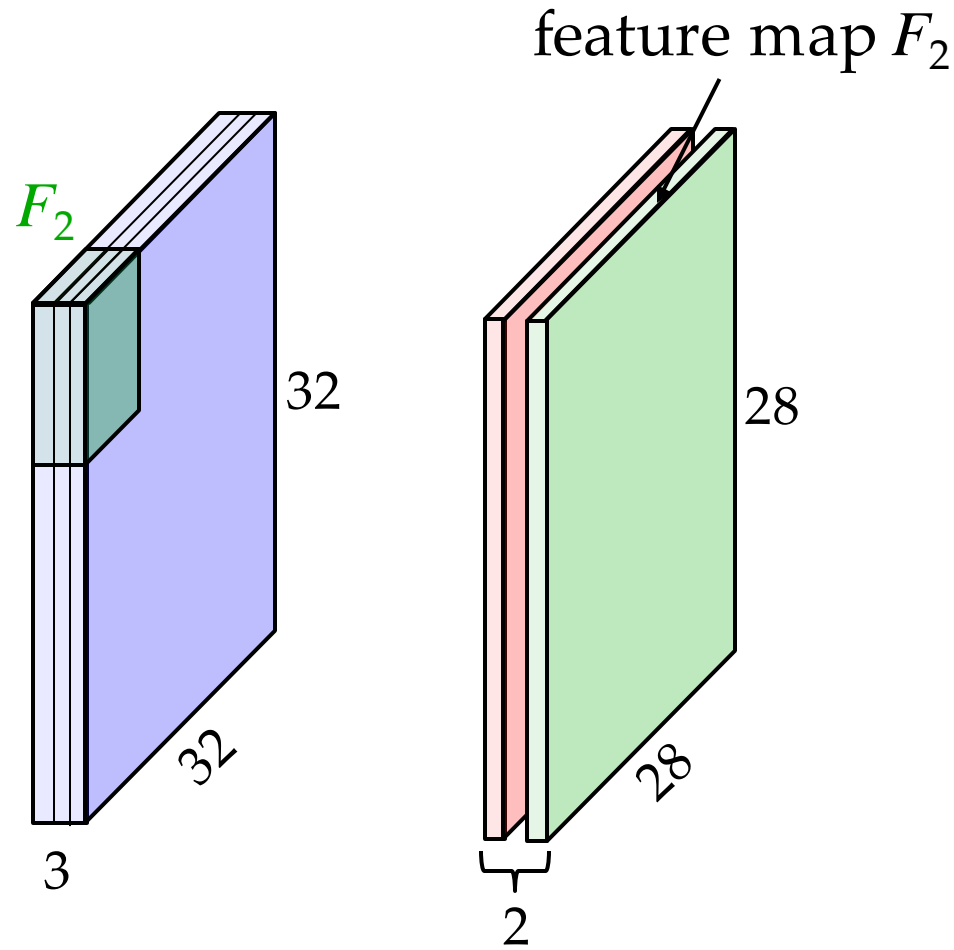
# Filtres convolutifs

- Sortie : *feature map*

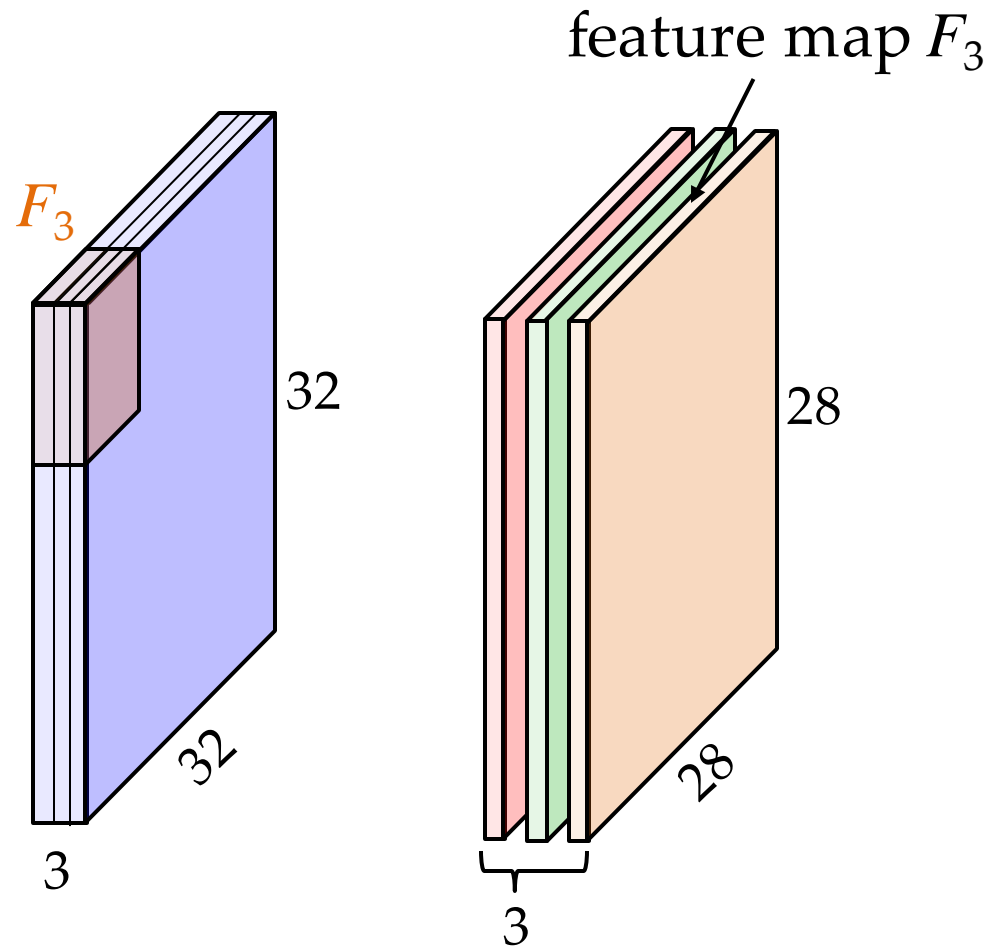


« combien présent est le feature  $F_1$  à cet endroit? »

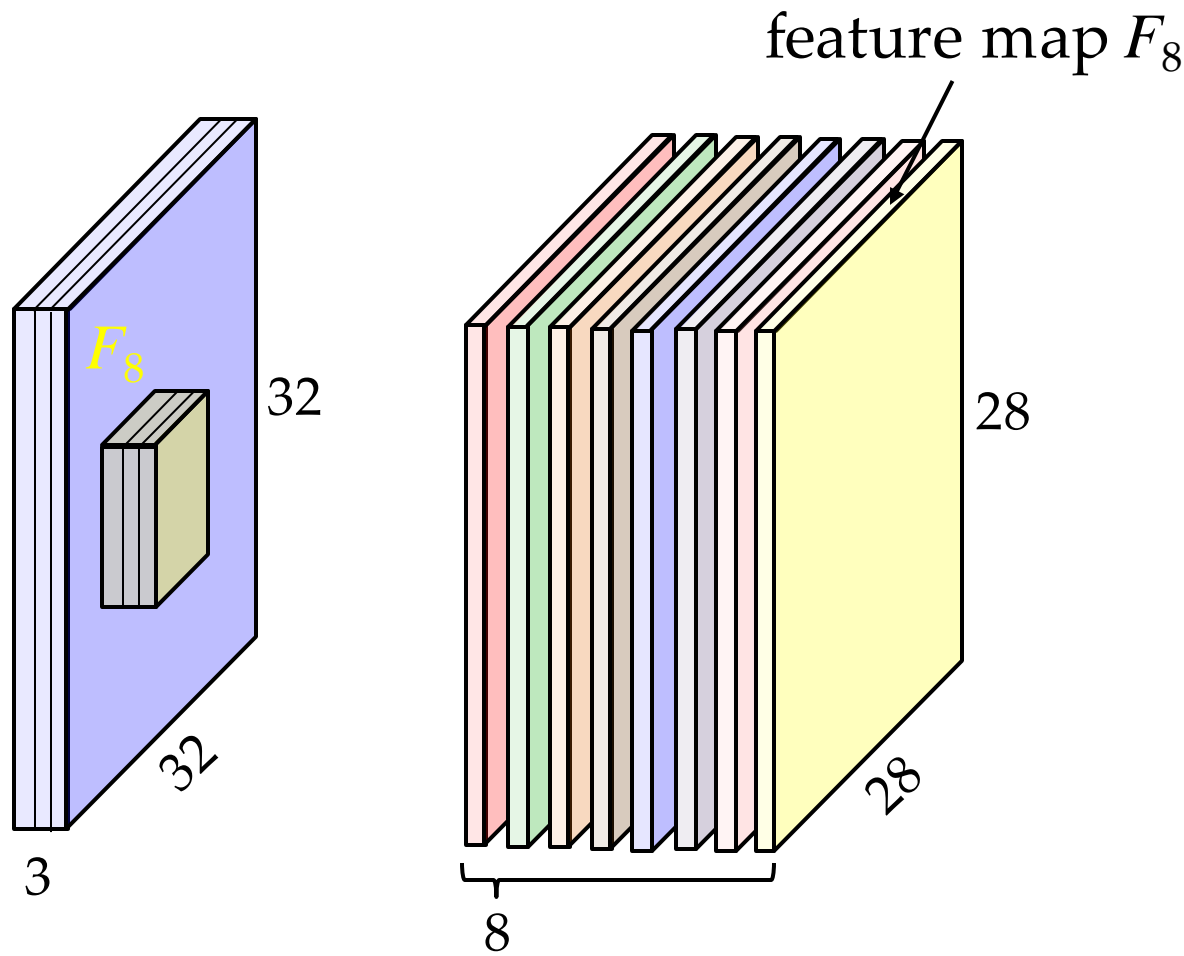
# Banque de filtres convolutifs



# Banque de filtres convolutifs

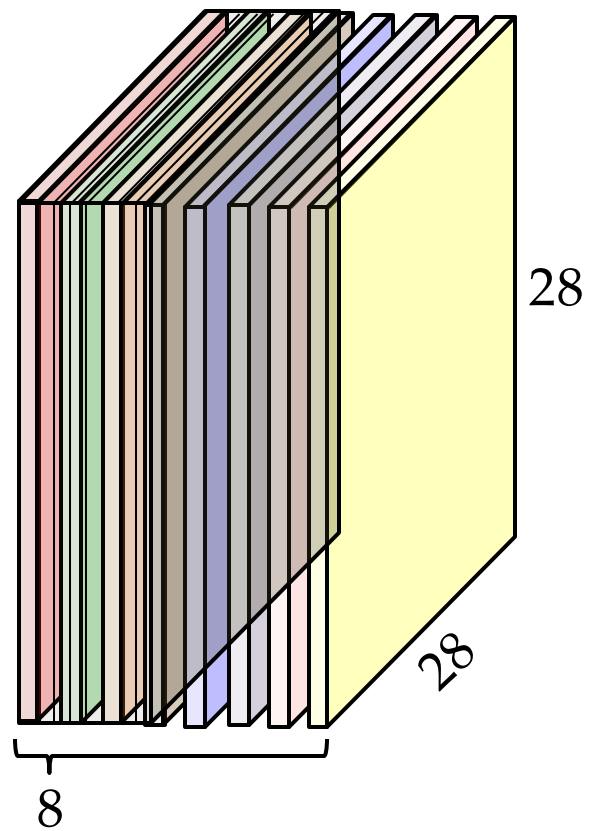


# Banque de filtres convolutifs



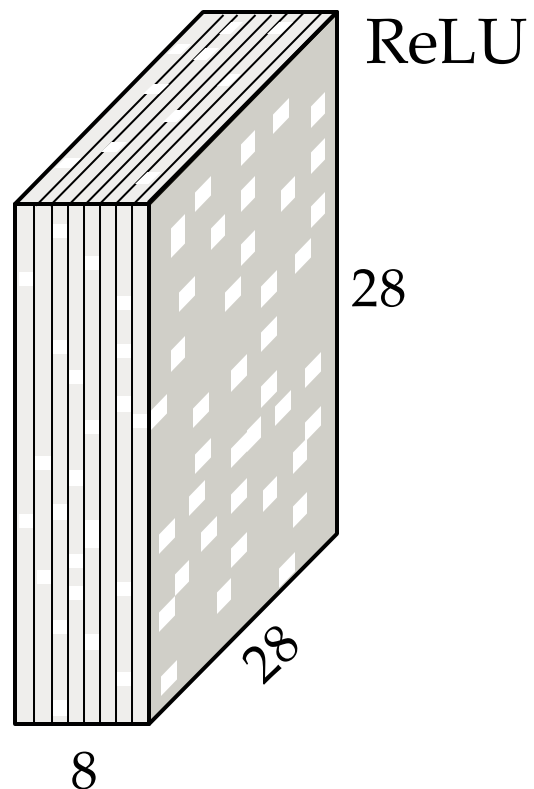
# Résultante

Tenseur ordre 3

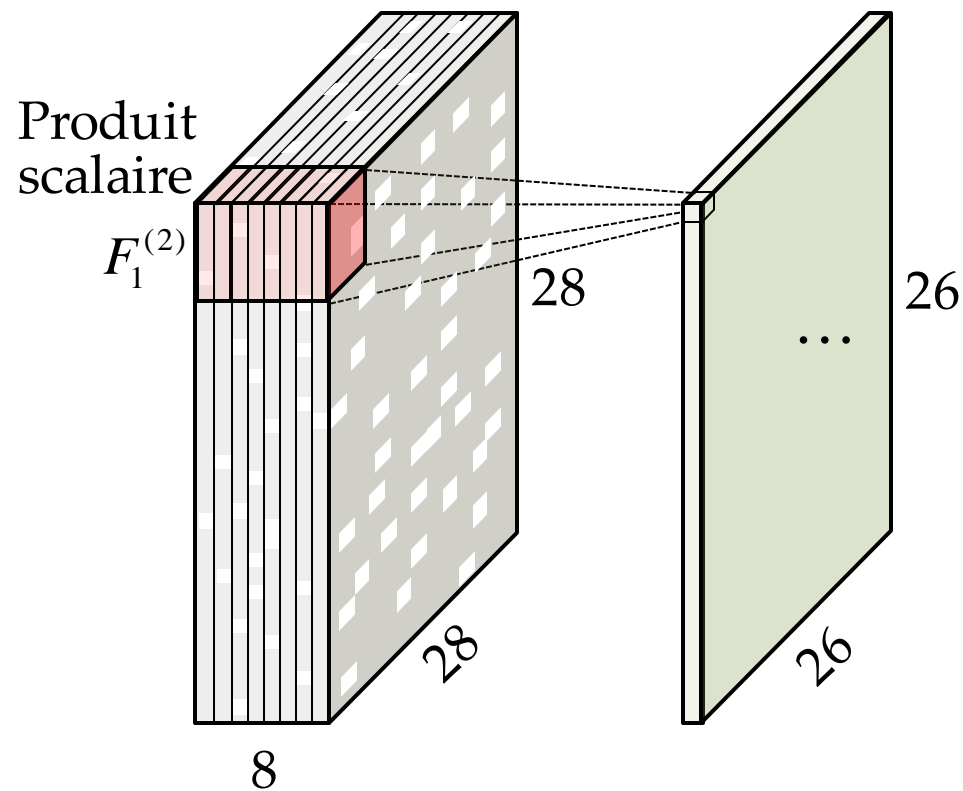
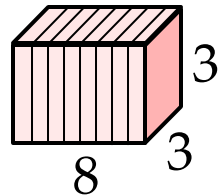


# Résultante

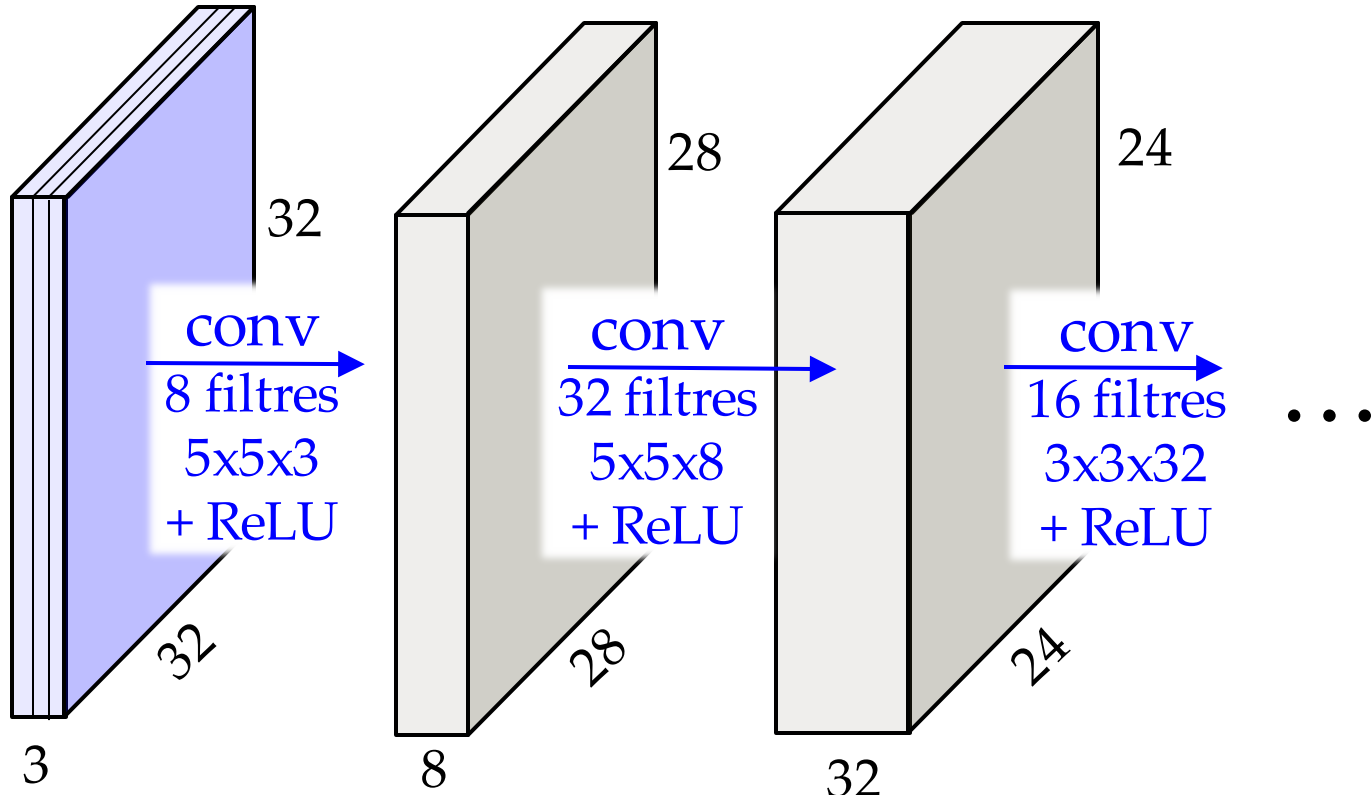
- Applique la non-linéarité sur chaque entrée, individuellement
- Appelé *feature activation map*



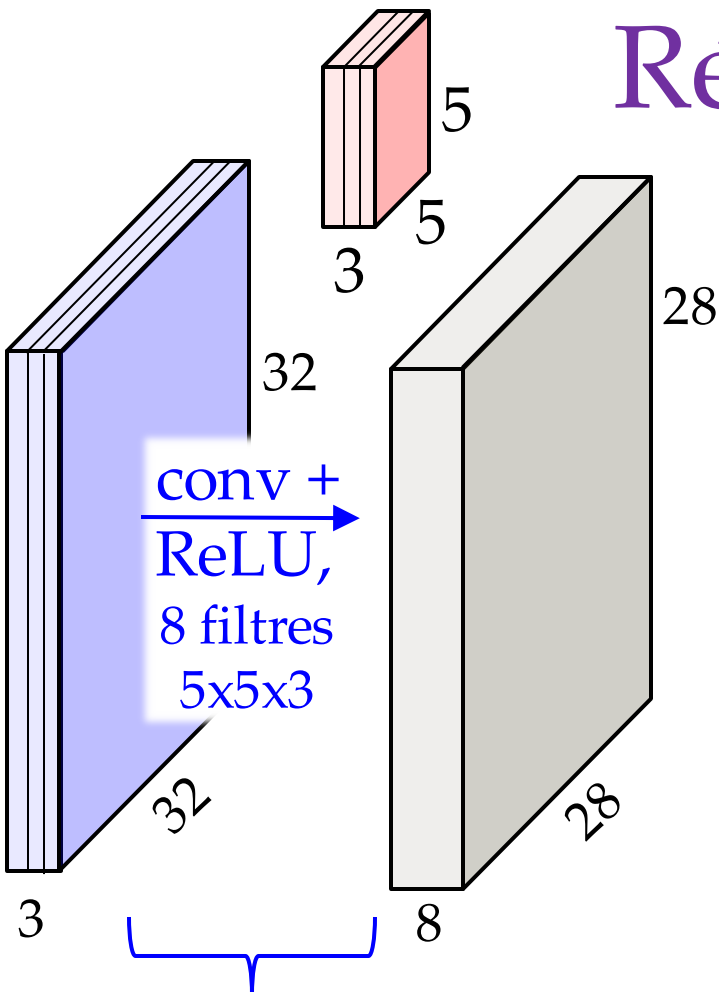
On recommence, avec une banque de filtres différents



# Idée de base



# Réduction # paramètres



Combien de paramètres pour cette couche?

$$(5 \times 5 \times 3 + 1) \times 8 = 608 \text{ filtres}$$

- Perte de capacité d'expression vs. fully-connected
  - on ne peut pas établir de lien entre les pixels très éloignés
- Gros gain en réduction du nombre de paramètre

Combien de paramètres si c'était *fully-connected*?

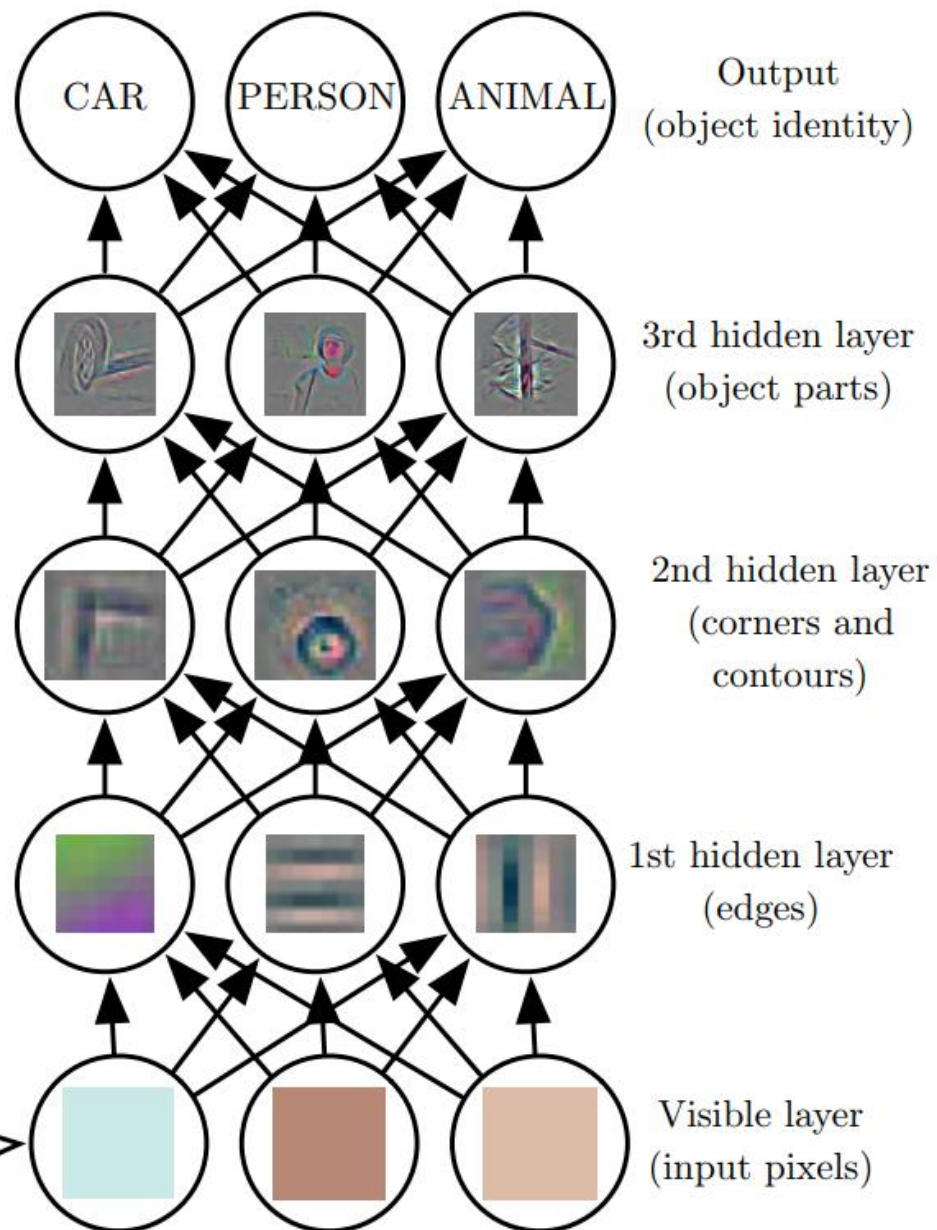
$$28 \times 28 \times 8 = 6272 \text{ neurones}$$

$$32 \times 32 \times 3 + 1 : 3073 \text{ param./neurones}$$

$$\text{Total : } 19,273,856 \text{ paramètres}$$

# Hiérarchie de filtres

Va établir des liens entre des pixels de plus en plus éloignés



# Visualisation des *features* (Yosinski et al.)

## Deep Visualization Toolbox

[yosinski.com/deepvis](http://yosinski.com/deepvis)

#deepvis



Jason Yosinski



Jeff Clune



Anh Nguyen



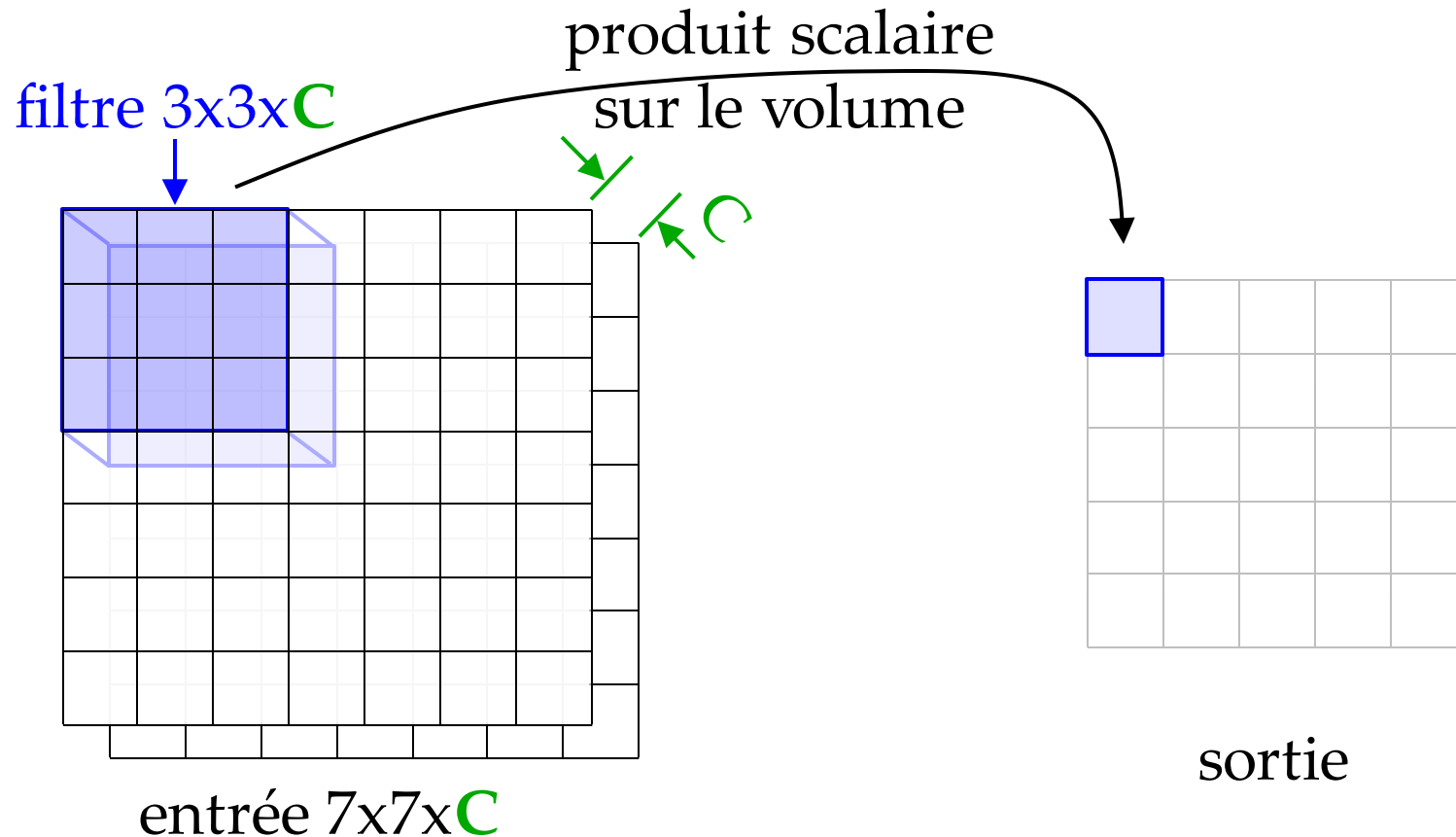
Thomas Fuchs



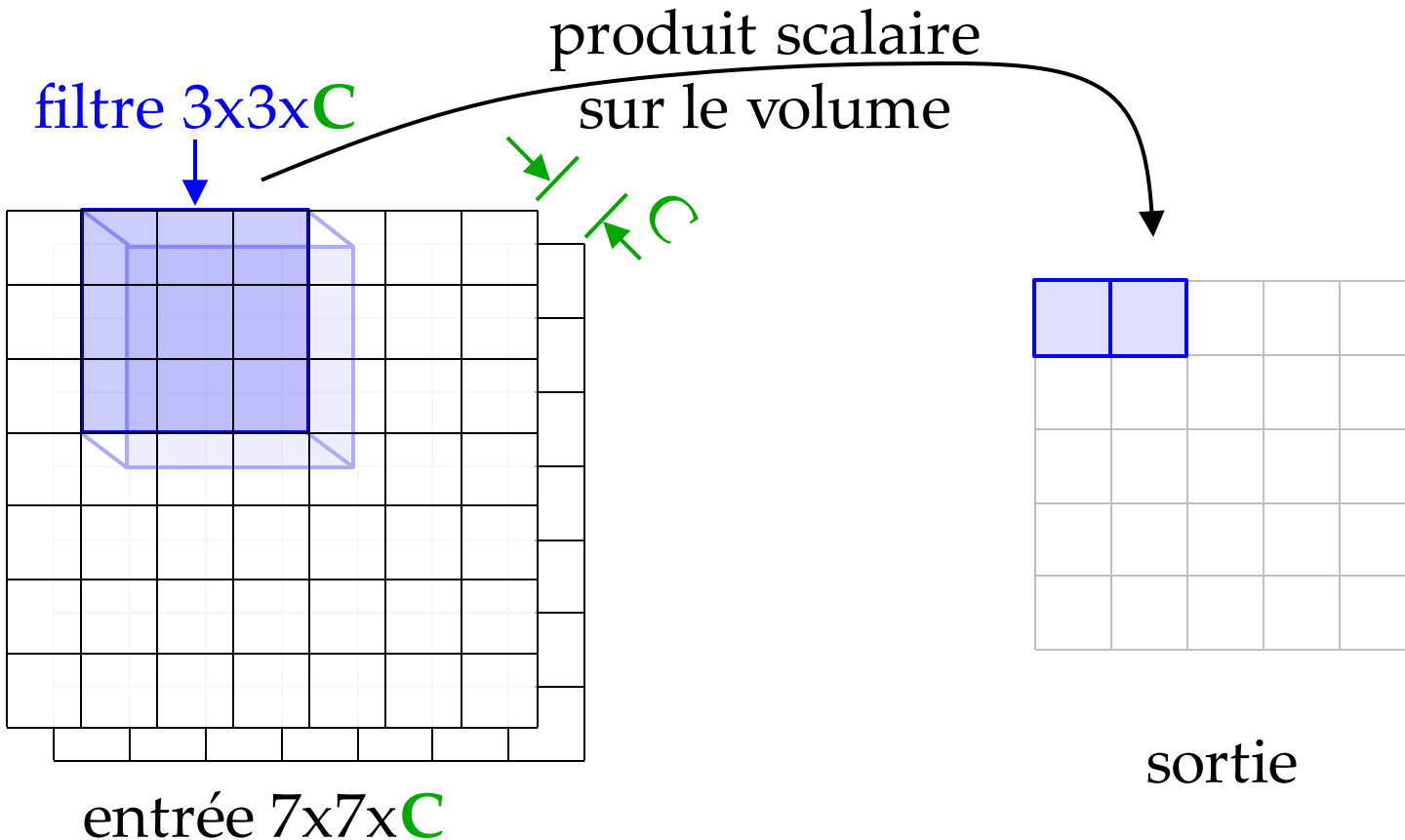
Hod Lipson



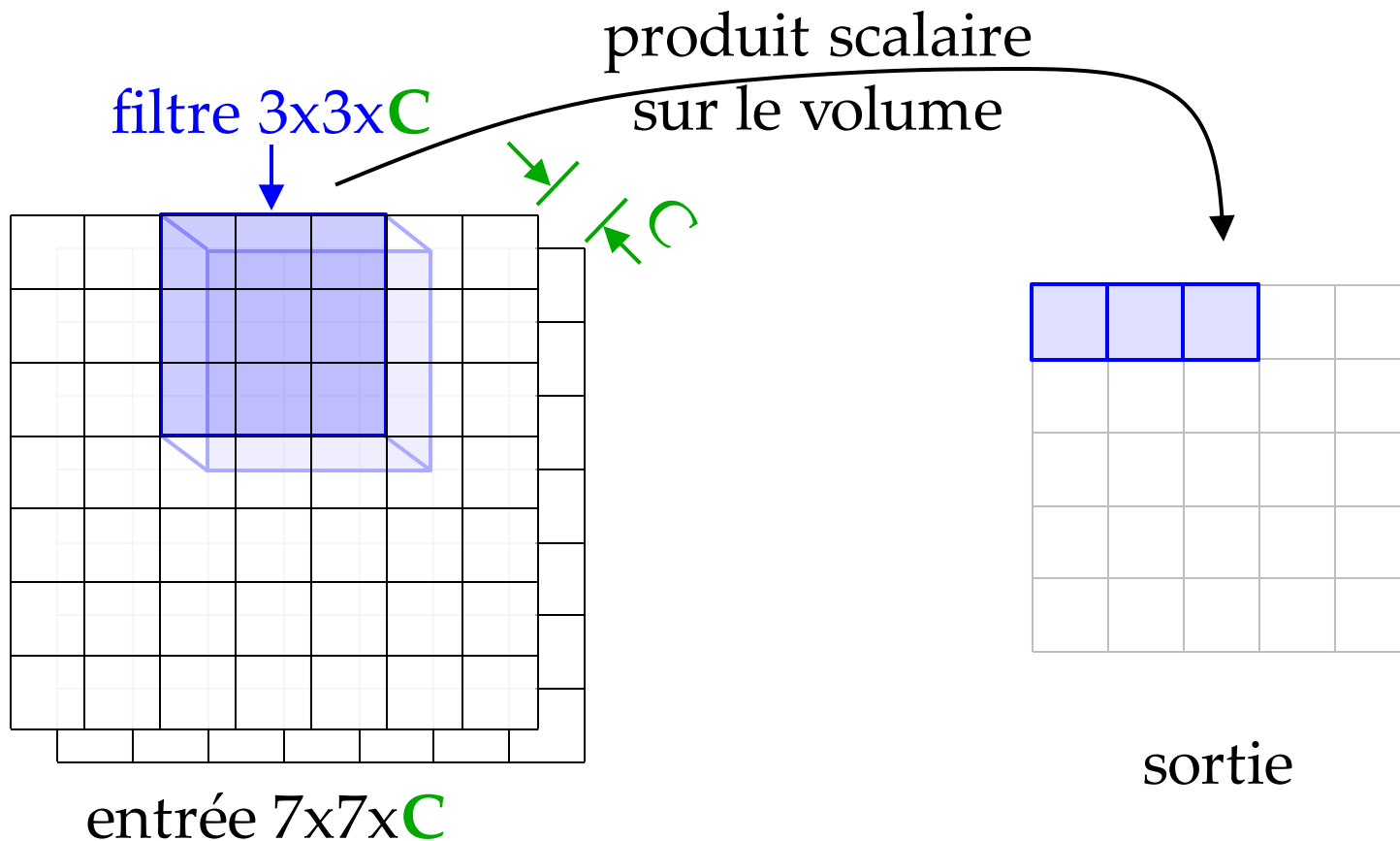
# Effet de bord : redimensionnalisation



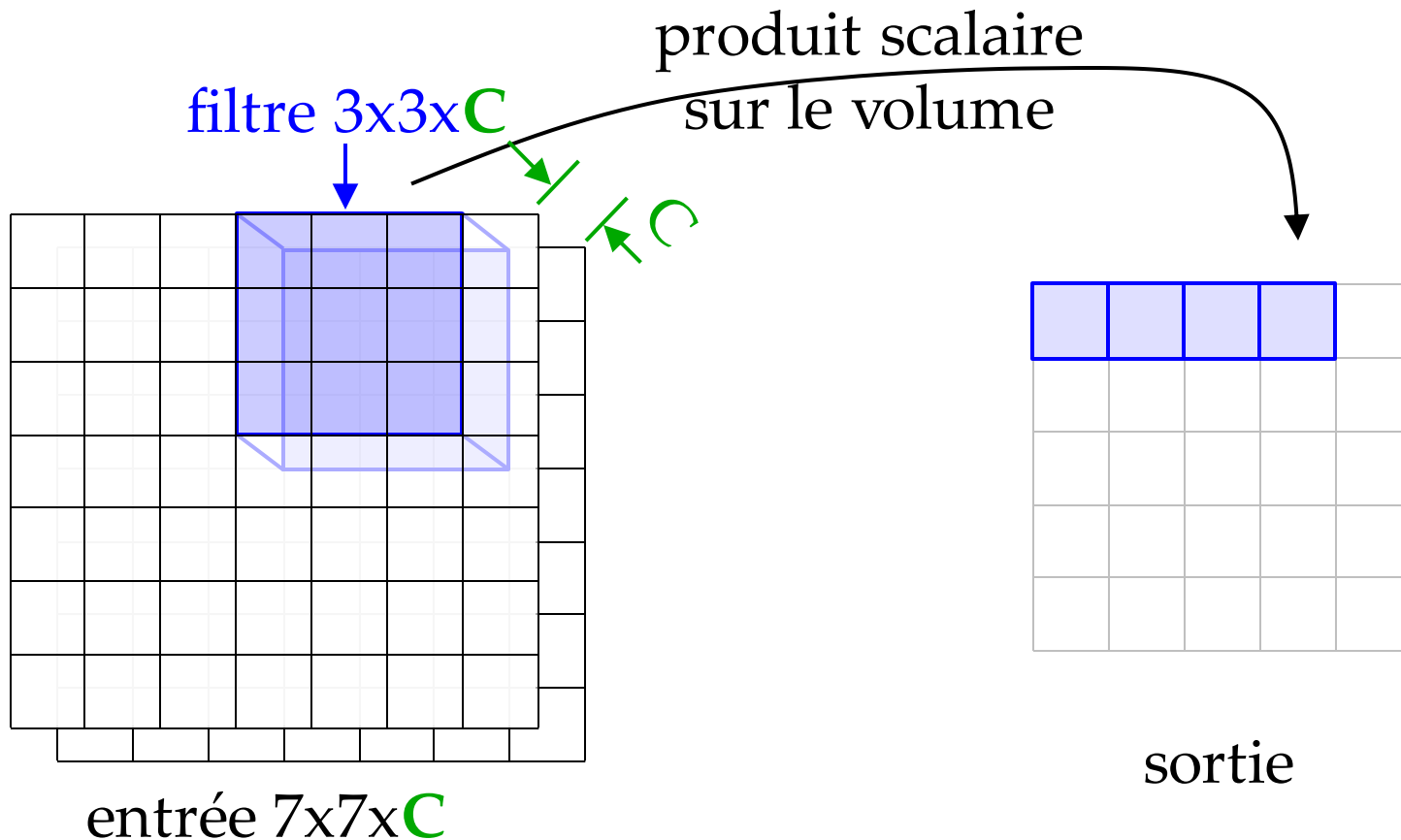
# Effet de bord : redimensionnalisation



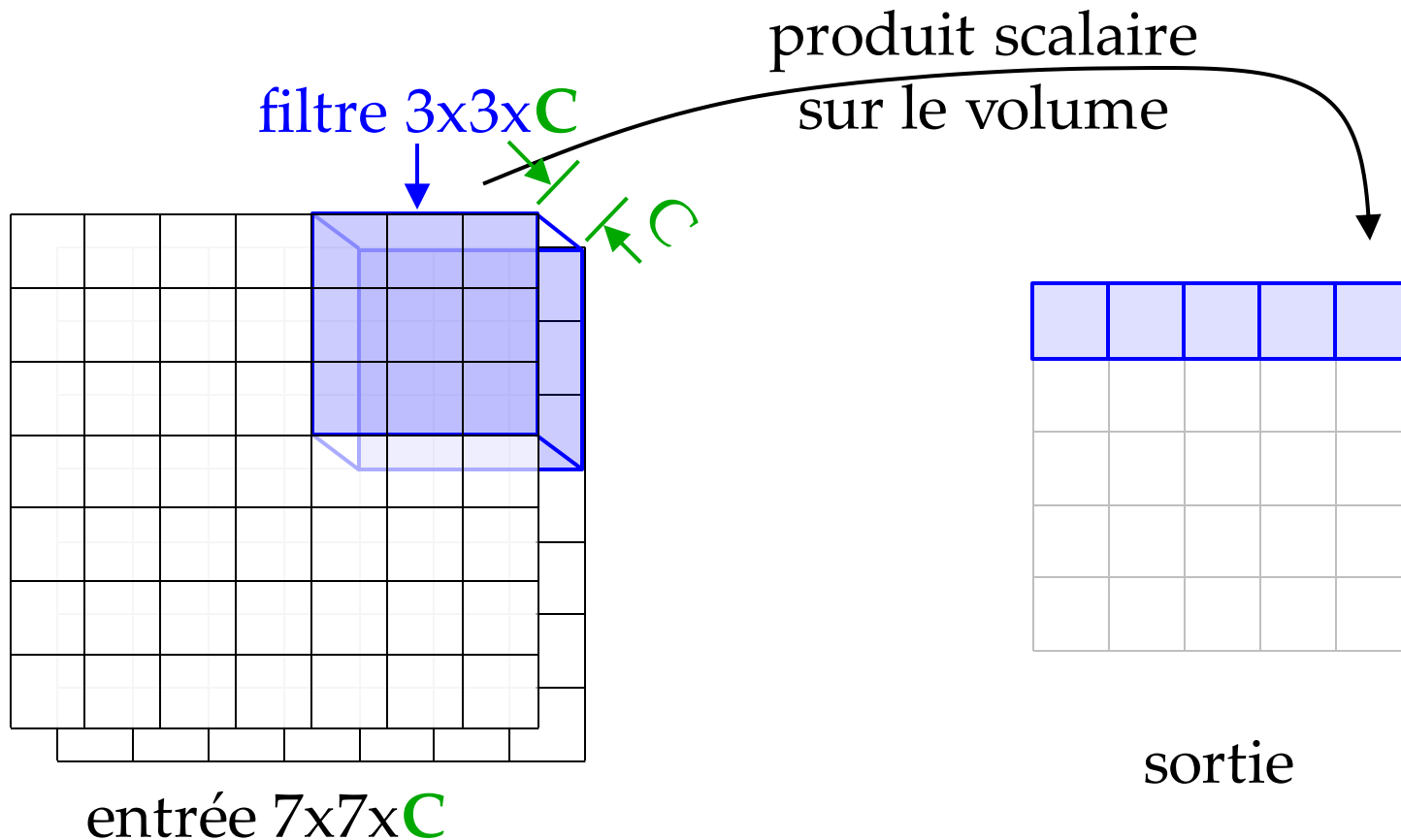
# Effet de bord : redimensionnalisation



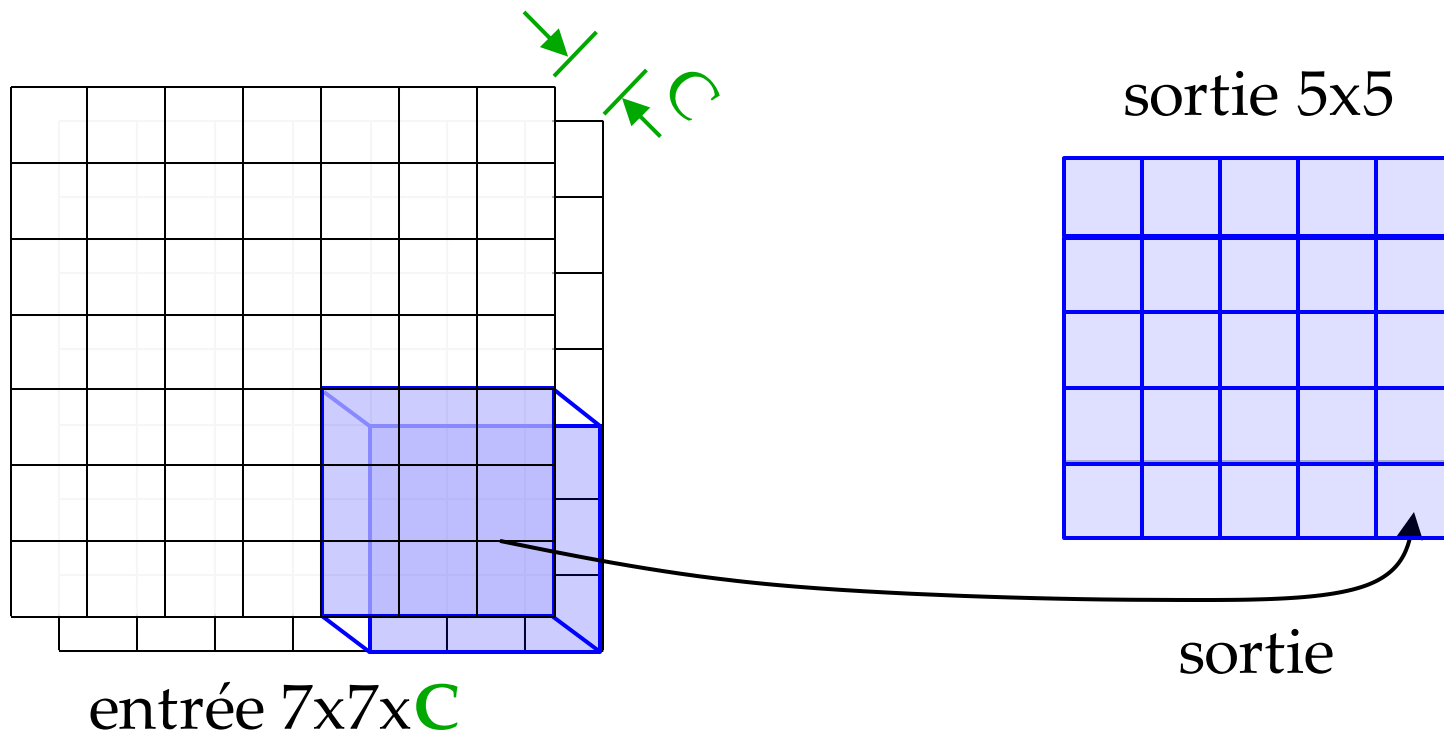
# Effet de bord : redimensionnalisation



# Effet de bord : redimensionnalisation

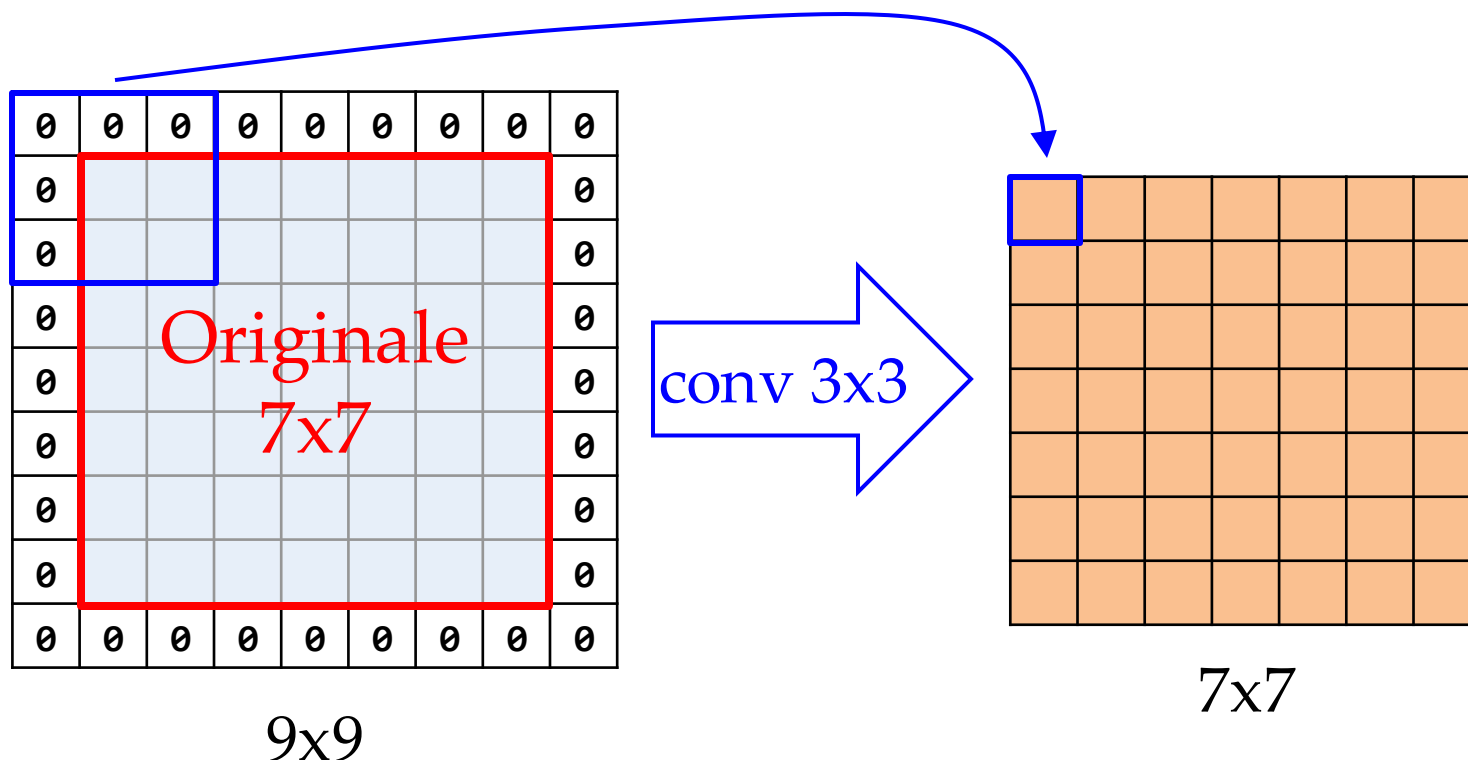


# Effet de bord : redimensionnalisation



# Ajout de zéros : zero padding

- Ajoute des entrées à 0 en bordure



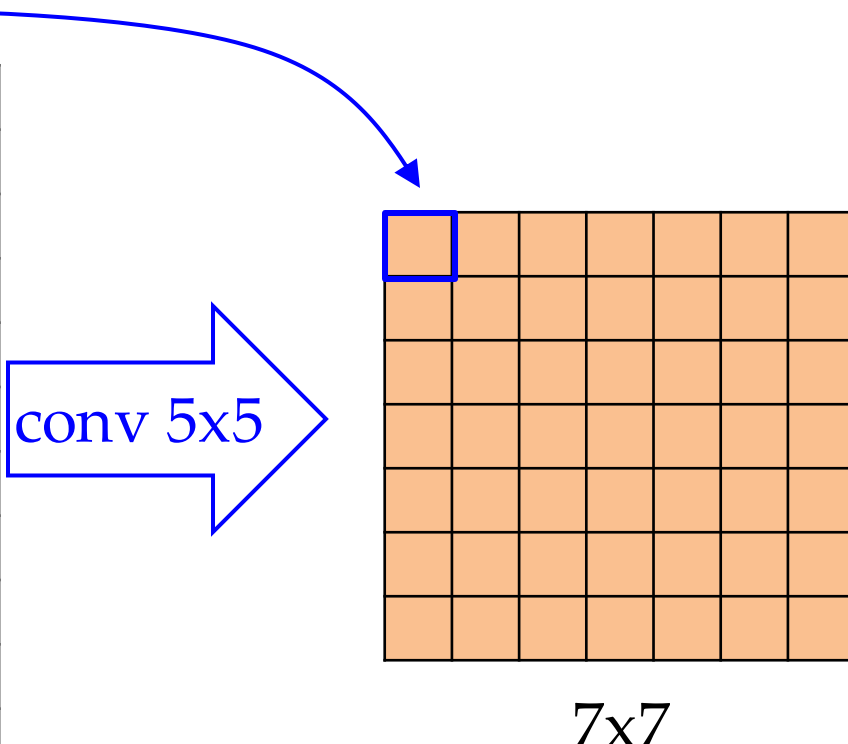
(par simplicité, j'ai retiré la 3<sup>ème</sup> dimension)

# Ajout de zéros : zero padding

0	0	0	0	0	0	0	0	0	0	0
0	0	0	0	0	0	0	0	0	0	0
0	0	0	0	0	0	0	0	0	0	0
0	0	0	0	0	0	0	0	0	0	0
0	0	0	0	0	0	0	0	0	0	0
0	0	0	0	0	0	0	0	0	0	0
0	0	0	0	0	0	0	0	0	0	0
0	0	0	0	0	0	0	0	0	0	0
0	0	0	0	0	0	0	0	0	0	0
0	0	0	0	0	0	0	0	0	0	0
0	0	0	0	0	0	0	0	0	0	0

Originale  
7x7

11x11

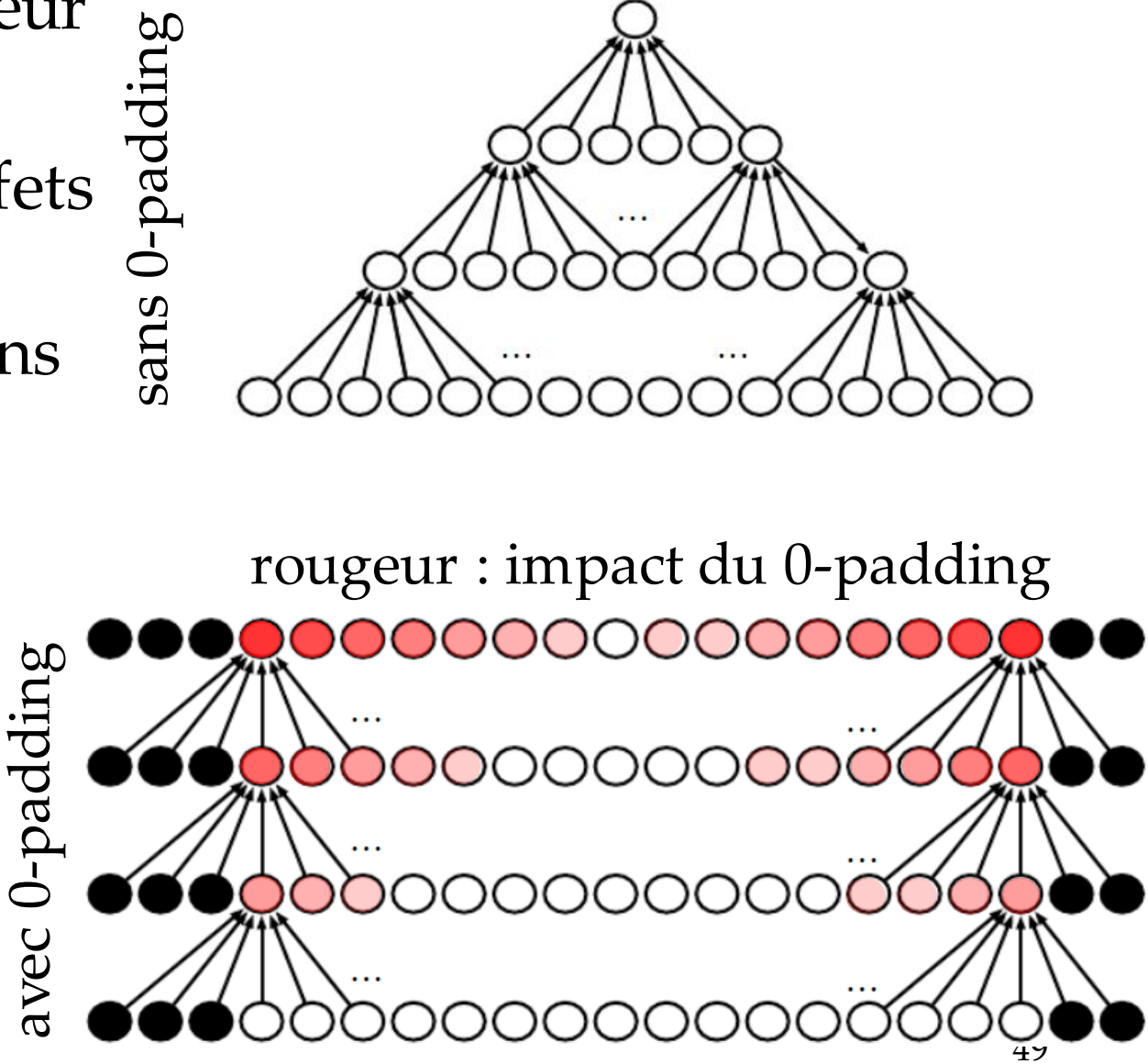


Pour filtre 3x3, padding de largeur 1  
Pour filtre 5x5, padding de largeur 2  
Pour filtre 7x7, padding de largeur 3

# Zero-padding

- Conserve la largeur du pipeline
- Attention aux effets de bord, où les entrées sont moins informatives à cause du 0-padding

*(ne semble pas trop problématique)*



# Quelques questions!

- Si j'ai une image de  $224 \times 224 \times 3$  en entrée, complétez la taille du filtre :  $5 \times 5 \times ?$

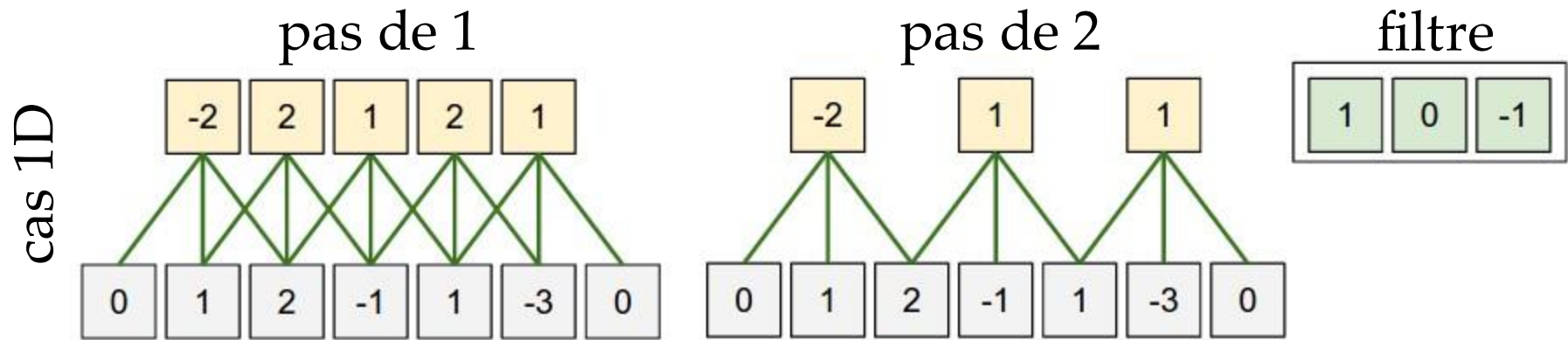
Réponse :  $5 \times 5 \times 3$

(Comme la 3<sup>ème</sup> dimension du filtre doit toujours être égale au nombre de canaux entrant, on la laisse souvent tomber dans la notation)

- Si j'ai 32 filtres  $5 \times 5$  appliqués sur cette image  $224 \times 224 \times 3$ , sans 0-padding, quelle sont les dimensions du tenseur de sortie?
- Réponse :  $220 \times 220 \times 32$
- Quelle est la largeur du 0-padding pour un tenseur de  $64 \times 64 \times 10$ , si on applique un filtre  $9 \times 9$ ?      Réponse : largeur de 4

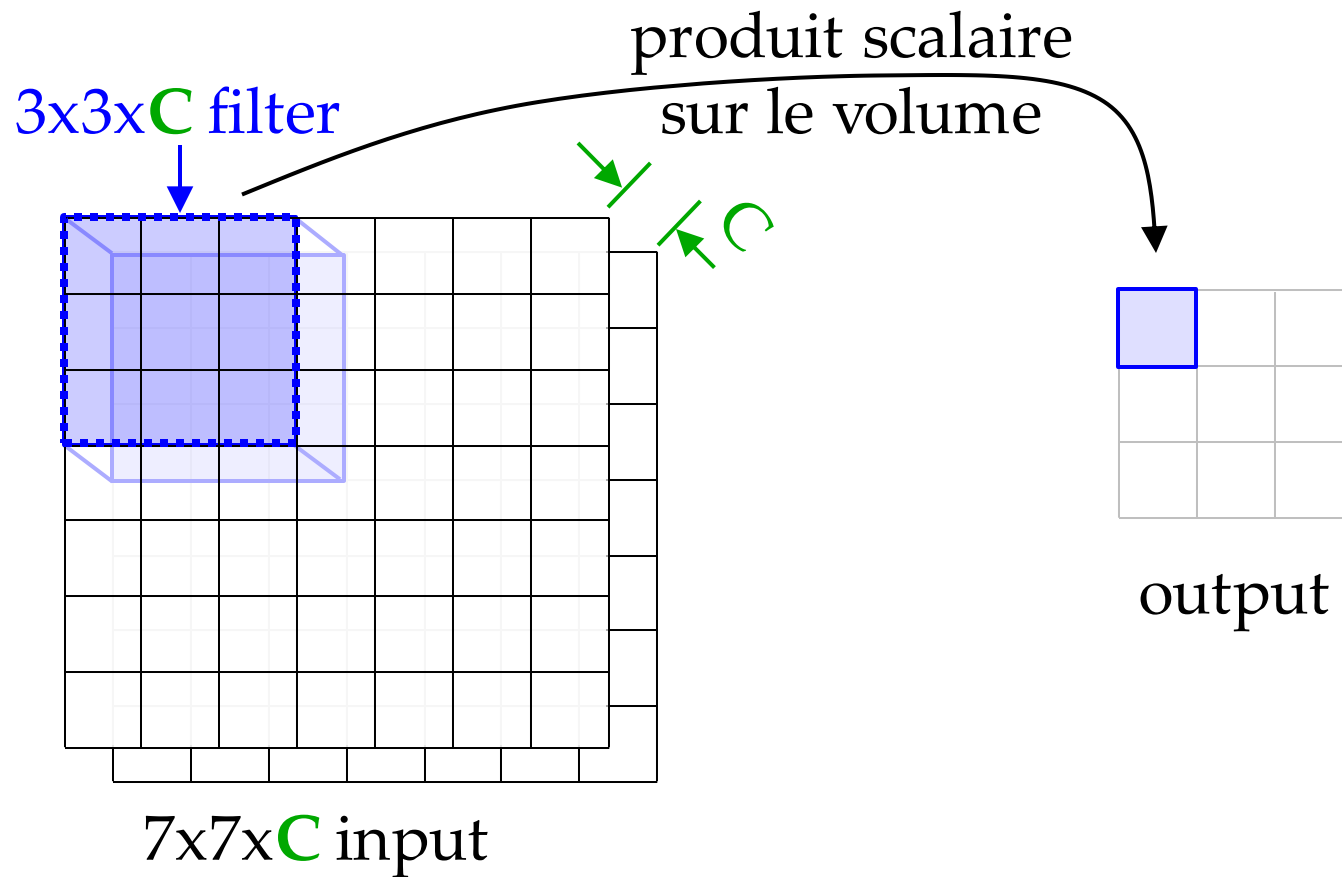
# Pas (stride)

- **Pas** (stride) : saut dans l'application de la convolution

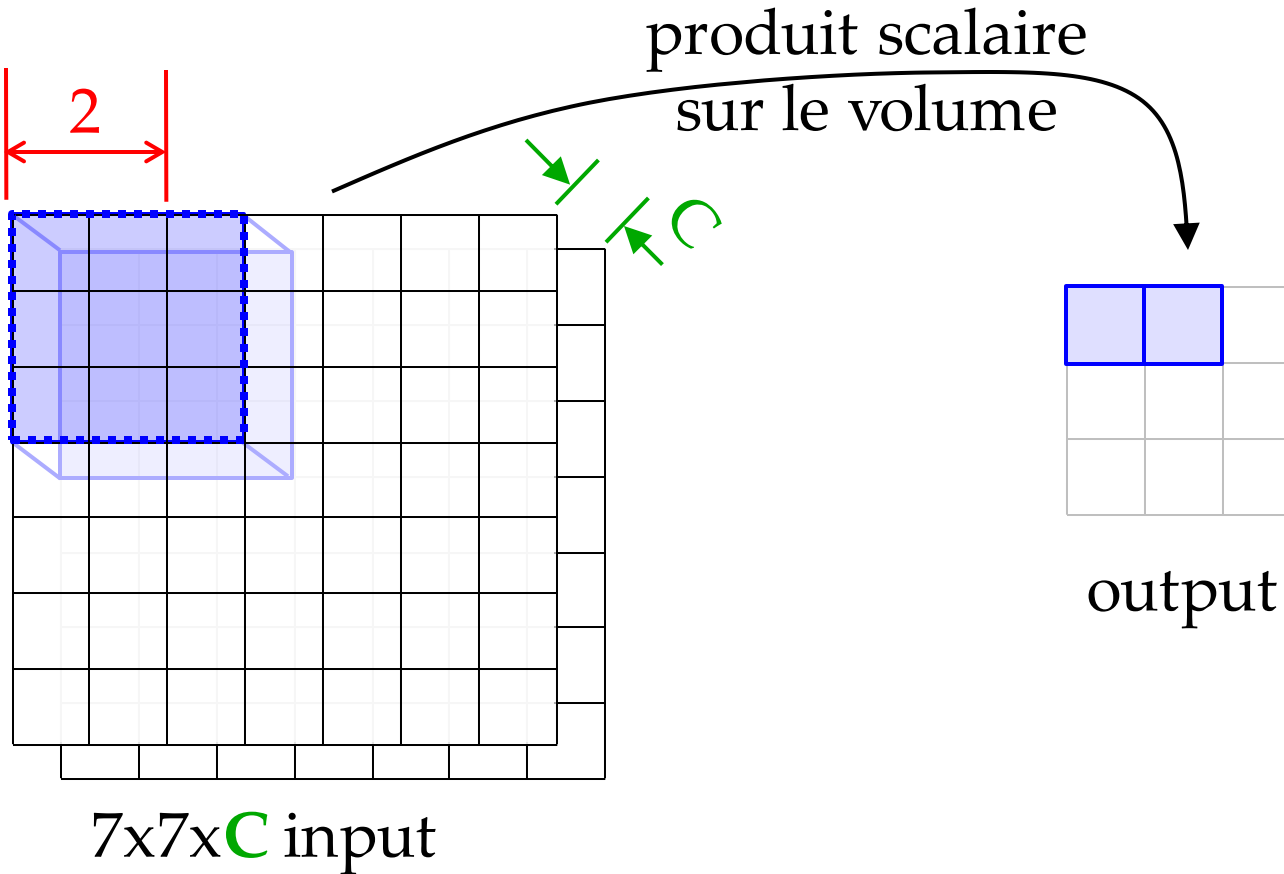


- Le **pas** est rarement plus de 3
  - Si plus d'1, réduit grandement la taille de sortie HxW
- Pas toujours possible d'avoir un nombre entier d'application de convolution, si le **pas** n'est pas 1
  - Par exemple, entrée 7x7, filtre 3x3, **pas** de 3
  - Librairie peut automatiquement faire du 0-padding, couper l'image (*crop*) ou lancer une exception

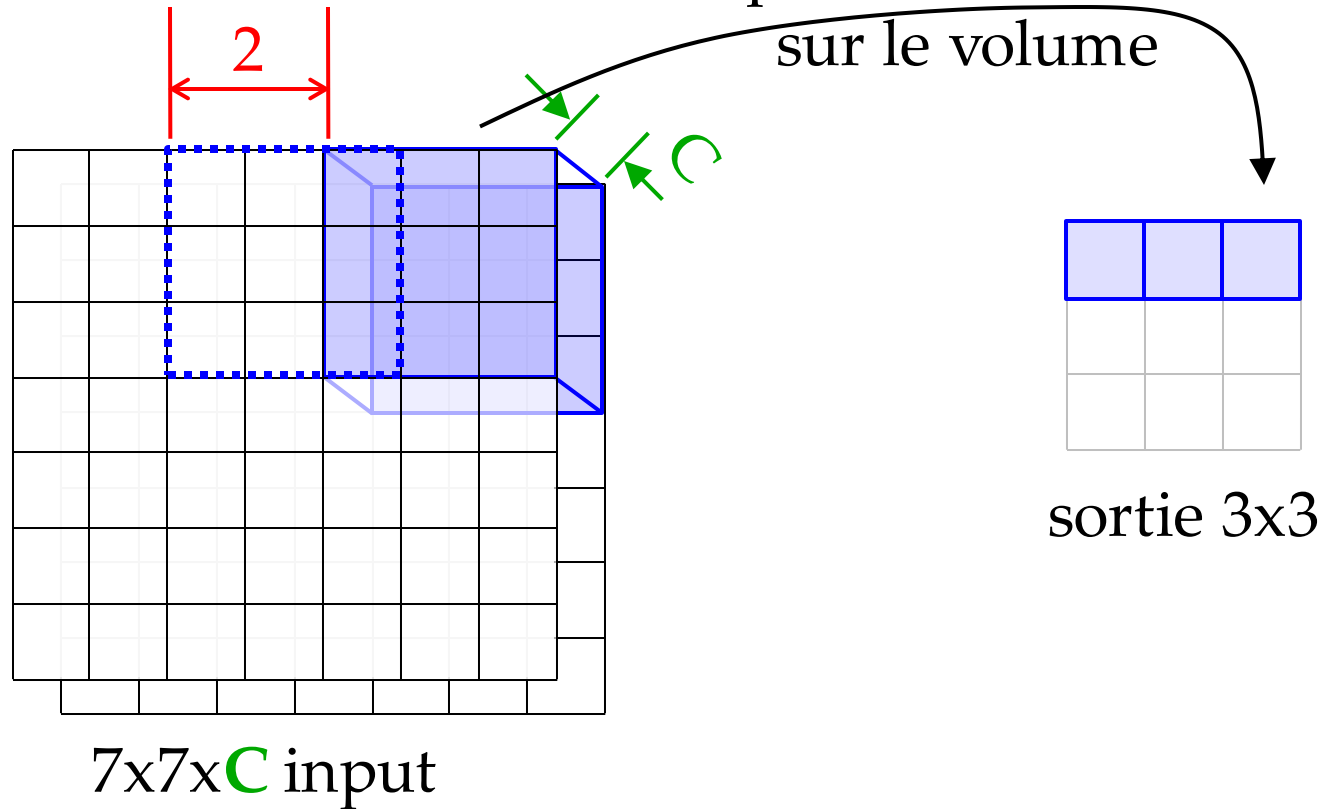
# Pas de 2



# Pas de 2



# Pas de 2



# Tailles entrée et sortie

K : nombre de filtres

F : taille du filtre (FxF)

S : pas (stride)

P : quantité de 0-padding

Valeurs typiques (cs231n)

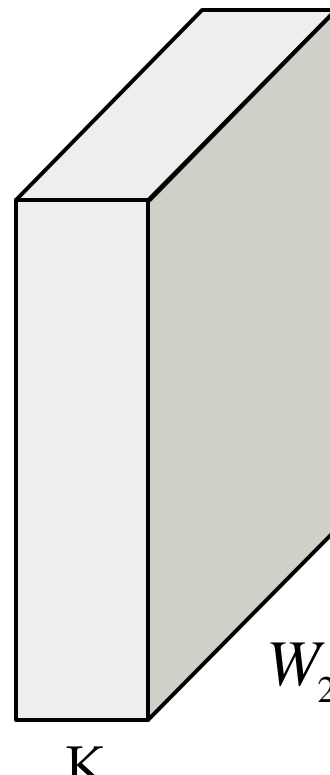
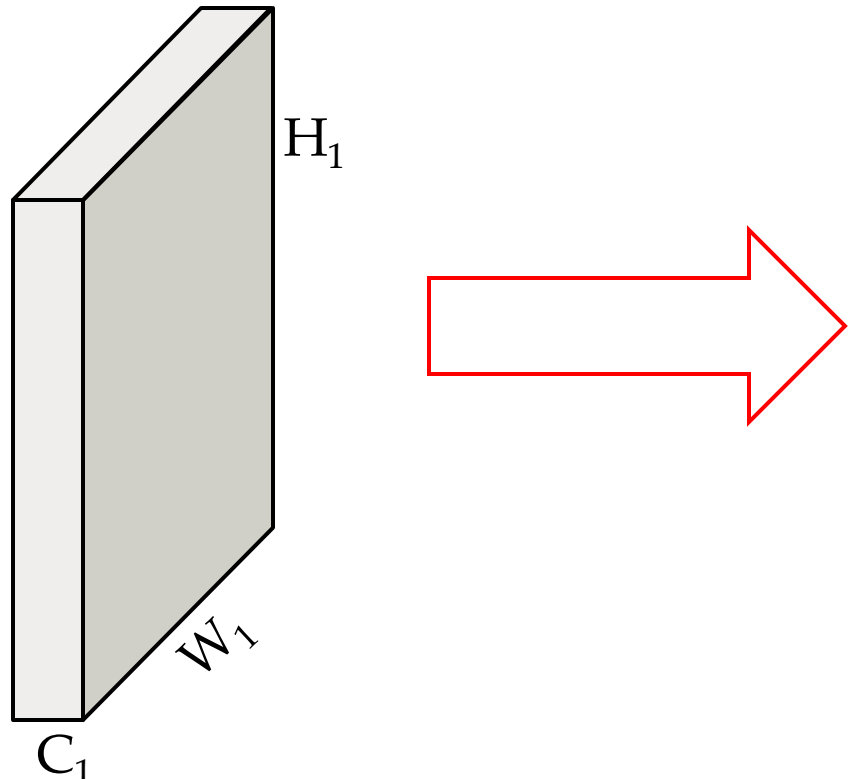
K : puissances de 2

F=3, S=1, P=1

F=5, S=1, P=2

F=5, S=2, P=autant que nécessaire

F=1, S=1, P=0

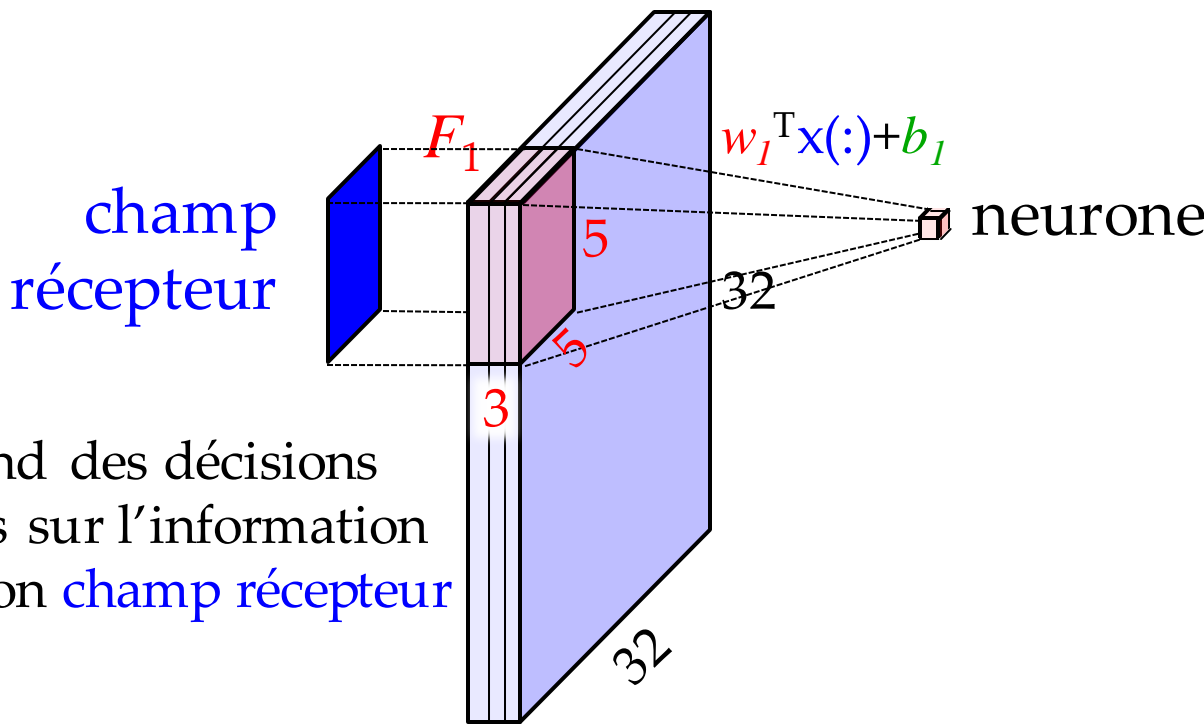
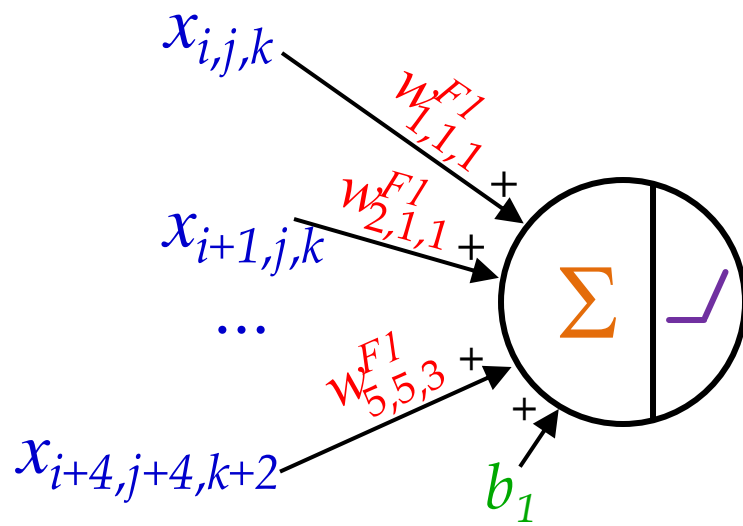


$$H_2 = \frac{H_1 - F + 2P}{S} + 1$$

$$W_2 = \frac{W_1 - F + 2P}{S} + 1$$

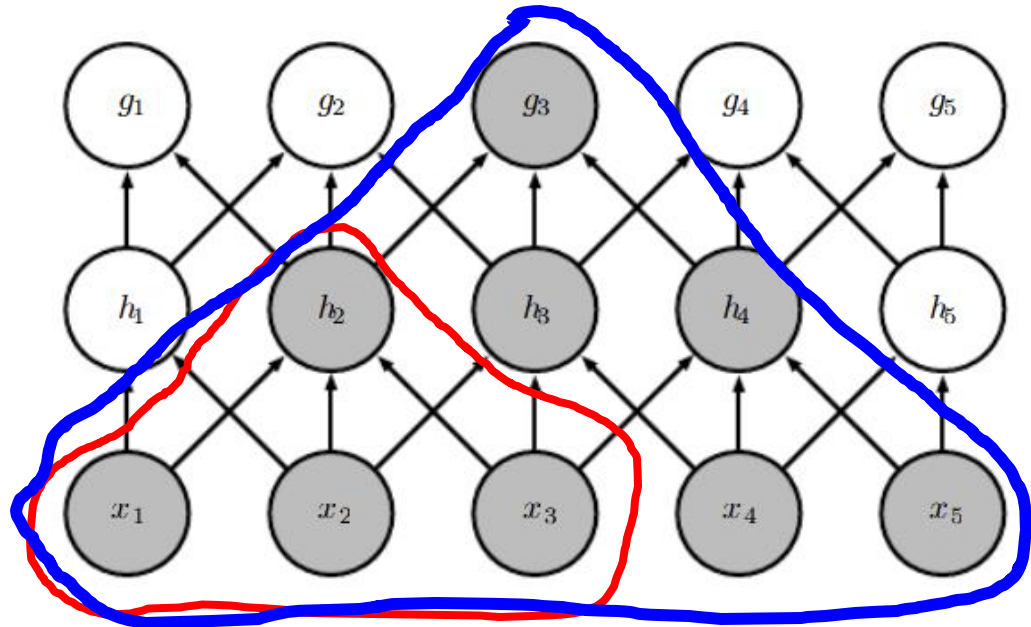
# paramètres :  $F \cdot F \cdot C_1 \cdot K$  poids + K biais

# Point de vue d'un neurone



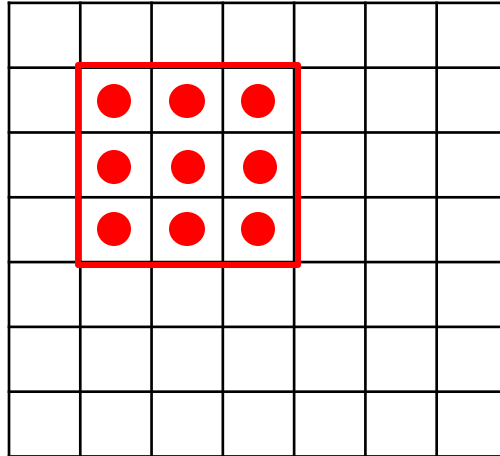
# Champ récepteur

- Augmente avec la profondeur
- Les neurones plus haut peuvent prendre des décisions basées sur des champs plus grands

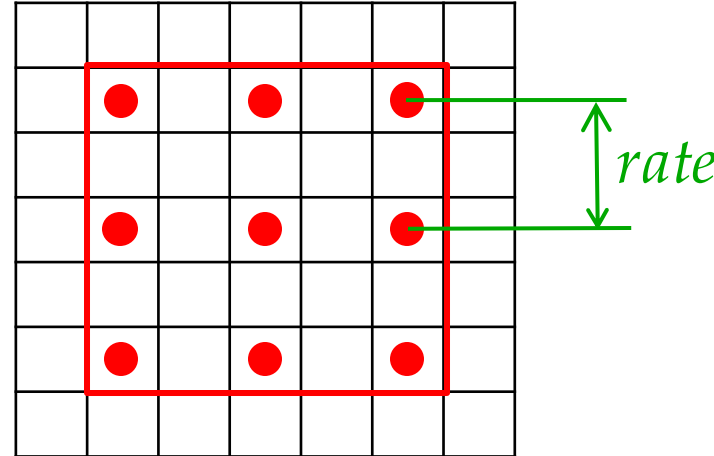


# Convolution « à trous »

- En anglais : « *atrous* », *dilated convolution*



Classique 3x3



À trous 3x3

*Encore 9 paramètres*

- Permet d'étendre la taille du champ récepteur, sans augmenter le nombre de paramètres
- Remplace *maxpooling* en quelque sorte
- Utilisé dans des concepts comme *spatial pyramid*

## Conv2d

```
CLASS torch.nn.Conv2d(in_channels, out_channels, kernel_size, stride=1, padding=0,
dilation=1, groups=1, bias=True)
```

[SOURCE]

Applies a 2D convolution over an input signal composed of several input planes.

In the simplest case, the output value of the layer with input size  $(N, C_{\text{in}}, H, W)$  and output  $(N, C_{\text{out}}, H_{\text{out}}, W_{\text{out}})$  can be precisely described as:

$$\text{out}(N_i, C_{\text{out}_j}) = \text{bias}(C_{\text{out}_j}) + \sum_{k=0}^{C_{\text{in}}-1} \text{weight}(C_{\text{out}_j}, k) \star \text{input}(N_i, k)$$

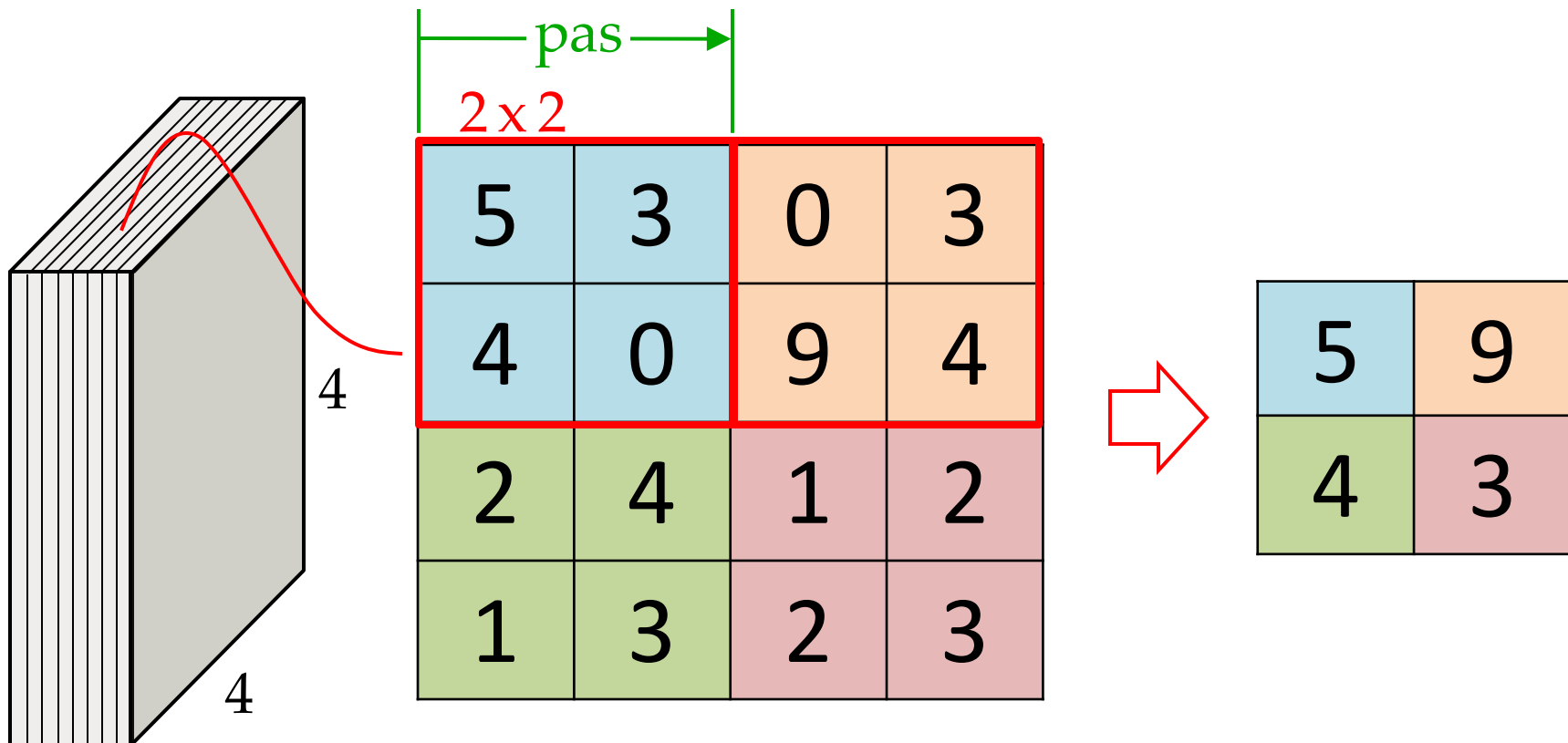
where  $\star$  is the valid 2D [cross-correlation](#) operator,  $N$  is a batch size,  $C$  denotes a number of channels,  $H$  is a height of input planes in pixels, and  $W$  is width in pixels.

- `stride` controls the stride for the cross-correlation, a single number or a tuple.
- `padding` controls the amount of implicit zero-paddings on both sides for `padding` number of points for each dimension.
- `dilation` controls the spacing between the kernel points; also known as the à trous algorithm. It is harder to describe, but this [link](#) has a nice visualization of what `dilation` does.
- `groups` controls the connections between inputs and outputs. `in_channels` and `out_channels` must both be divisible by `groups`. For example,
  - At `groups=1`, all inputs are convolved to all outputs.
  - At `groups=2`, the operation becomes equivalent to having two conv layers side by side, each seeing half the input channels, and producing half the output channels, and both subsequently concatenated.

# Pooling

# Max Pooling

- Appliqué pour chaque tranche, indépendamment



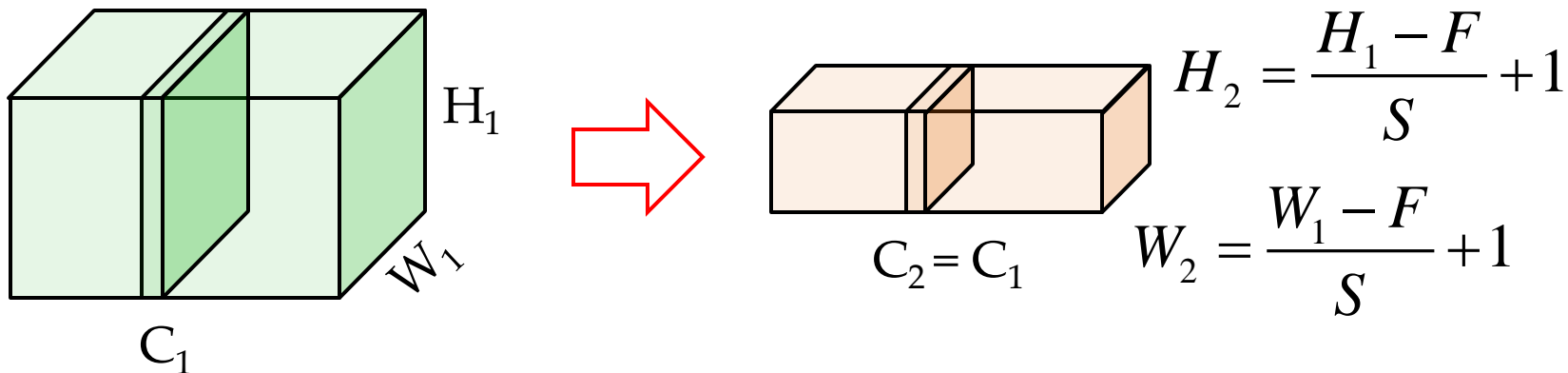
Doit spécifier :

- taille
- pas

# Max Pooling

$F$  : taille

$S$  : pas (*stride*)



Valeurs usuelles :  $F = 2, S=2$   
 $F = 3, S=2$

N'ajoute aucun paramètre entraînable ☺

# Max Pooling

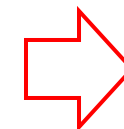
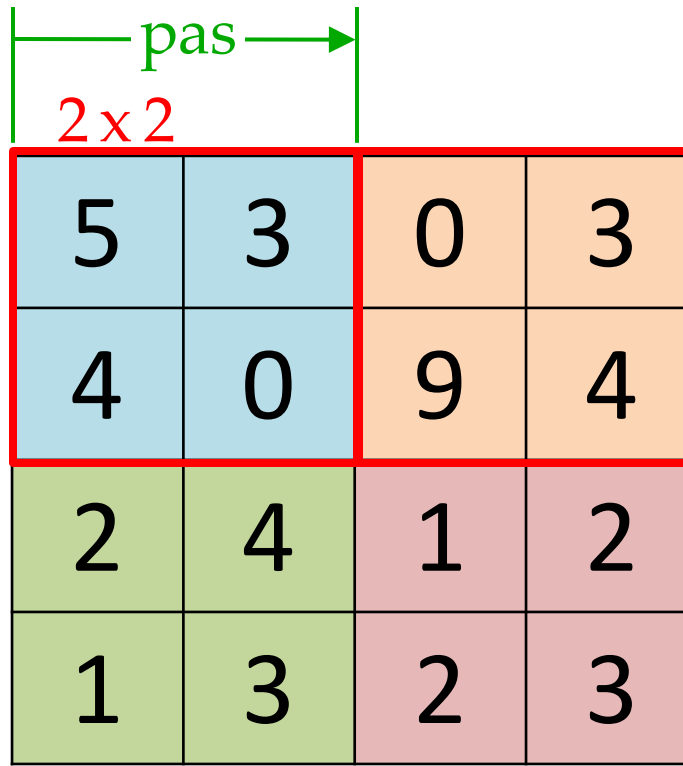
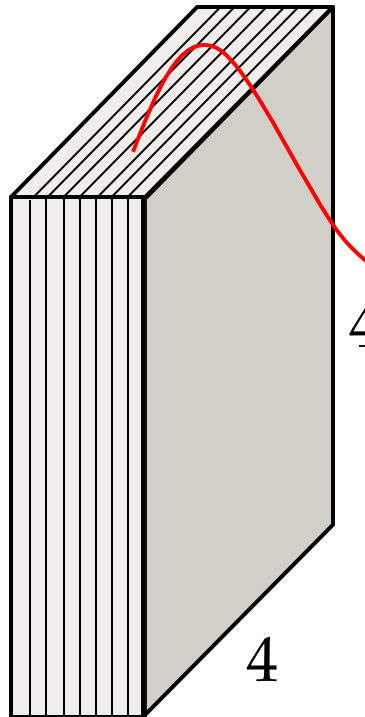
- Réduit la dimension du feature map
  - se fait aussi avec **conv+stride≠1**
- Souvent, on en profite pour augmenter le nombre de filtre
  - la « quantité » d'information reste similaire
  - augmente la richesse de la représentation / abstraction
- Pourquoi maxpool au lieu de faire une moyenne?
  - maxpool: détecte la présence d'un feature dans une région
  - avgpool: va en partie noyer cette valeur (ou compter le nombre)

# Max Pooling

- Question : comment se propage le gradient avec maxpooling ?

# Average Pooling

- On fait la moyenne sur chaque fenêtre



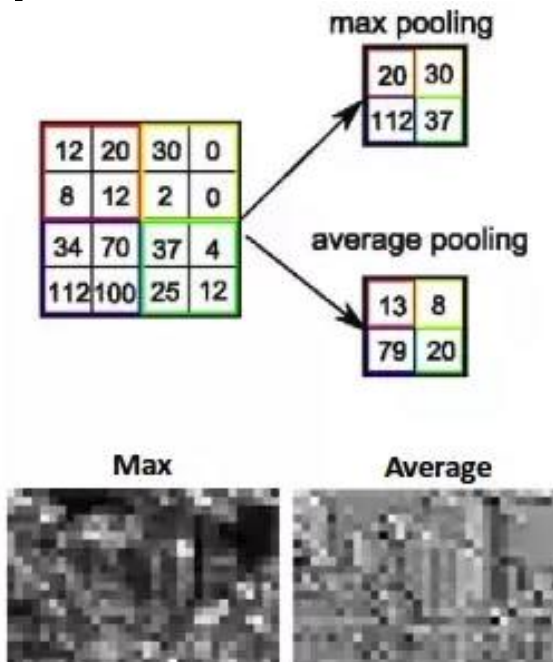
3	4
2.5	2

Doit spécifier :

- taille
- pas

# Average Pooling

- Contrairement à maxpooling, on ne sélectionne pas de features en particulier
- Va avoir tendance à lisser les features (filtre passe-bas)
- Gradient va se propager à toutes les cellules

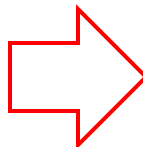


- Va voir plus loin une utilisation particulière en fin de pipeline (*global averaging pooling*)

# Stochastic Pooling

- On pîge la sortie au hasard durant l'entraînement, avec probabilité proportionnelle à l'activation

5	3	0	3
4	0	9	4
2	4	1	2
1	3	2	3



5/12	3/12	0	3/16
4/12	0	9/16	4/16
2/10	4/10	1/8	2/8
1/10	3/10	2/8	3/8

Probabilités  $p$

Exemple  
sortie pigée:

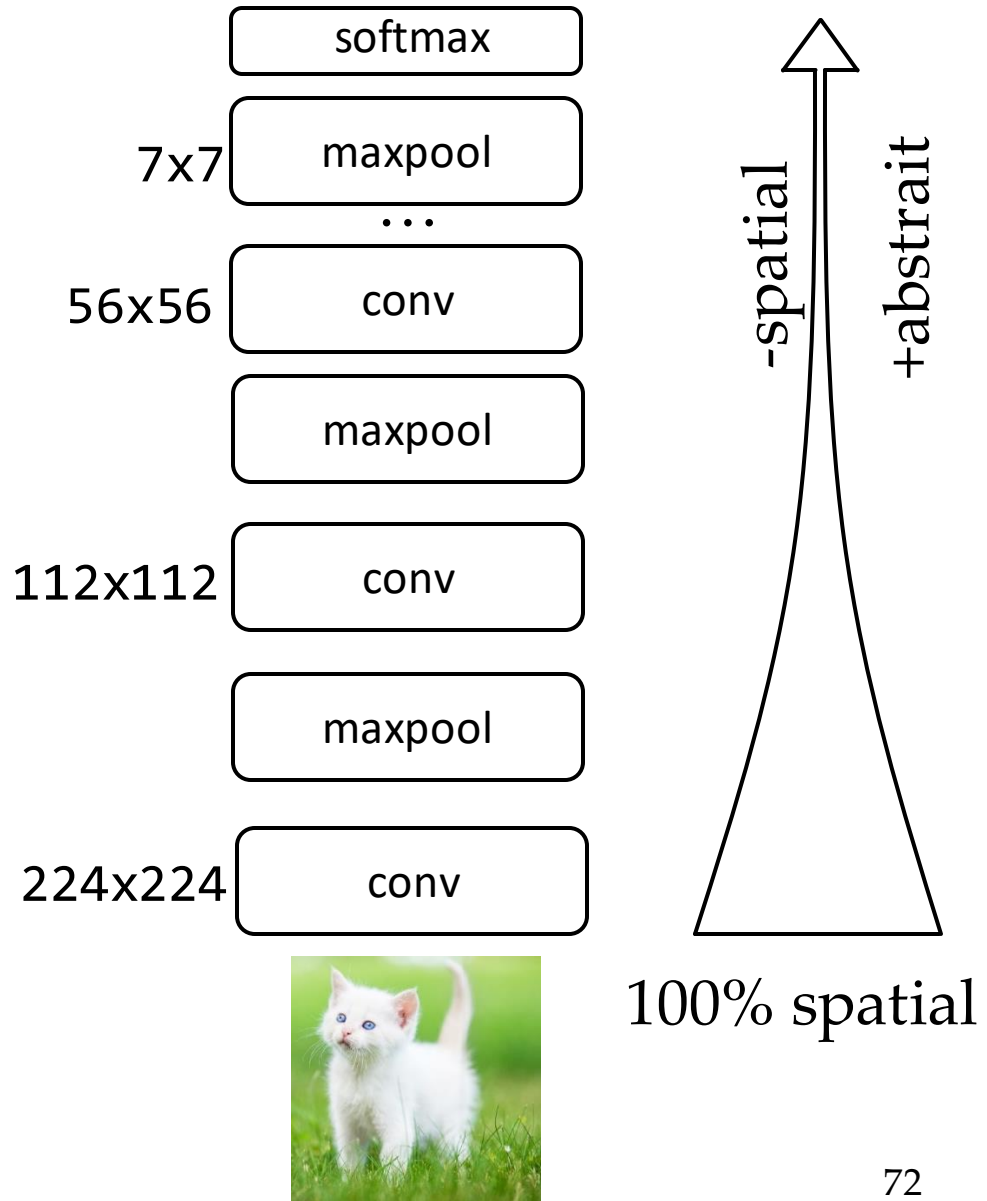
4	9
3	2

- Pour les tests, on prend la moyenne pondérée par  $p$
- Semble offrir une forme de régularisation

# Pooling

- Augmente champ réceptif rapidement
- Réduit le nombre de paramètre
- Confère une certaine invariance aux transformations géométriques (rotation, translation, échelle)

Classe: aucune spatialité



## Conv2d

```
CLASS torch.nn.Conv2d(in_channels, out_channels, kernel_size, stride=1, padding=0,
dilation=1, groups=1, bias=True)
```

[SOURCE]

Applies a 2D convolution over an input signal composed of several input planes.

In the simplest case, the output value of the layer with input size  $(N, C_{\text{in}}, H, W)$  and output  $(N, C_{\text{out}}, H_{\text{out}}, W_{\text{out}})$  can be precisely described as:

$$\text{out}(N_i, C_{\text{out}_j}) = \text{bias}(C_{\text{out}_j}) + \sum_{k=0}^{C_{\text{in}}-1} \text{weight}(C_{\text{out}_j}, k) \star \text{input}(N_i, k)$$

where  $\star$  is the valid 2D **cross-correlation** operator,  $N$  is a batch size,  $C$  denotes a number of channels,  $H$  is a height of input planes in pixels, and  $W$  is width in pixels.

- `stride` controls the stride for the cross-correlation, a single number or a tuple.
- `padding` controls the amount of implicit zero-paddings on both sides for `padding` number of points for each dimension.
- `dilation` controls the spacing between the kernel points; also known as the à trous algorithm. It is harder to describe, but this [link](#) has a nice visualization of what `dilation` does.
- `groups` controls the connections between inputs and outputs. `in_channels` and `out_channels` must both be divisible by `groups`. For example,
  - At `groups=1`, all inputs are convolved to all outputs.
  - At `groups=2`, the operation becomes equivalent to having two conv layers side by side, each seeing half the input channels, and producing half the output channels, and both subsequently concatenated.

## Conv1d

```
CLASS torch.nn.Conv1d(in_channels, out_channels, kernel_size, stride=1, padding=0,  
dilation=1, groups=1, bias=True)
```

[SOURCE]

Applies a 1D convolution over an input signal composed of several input planes.

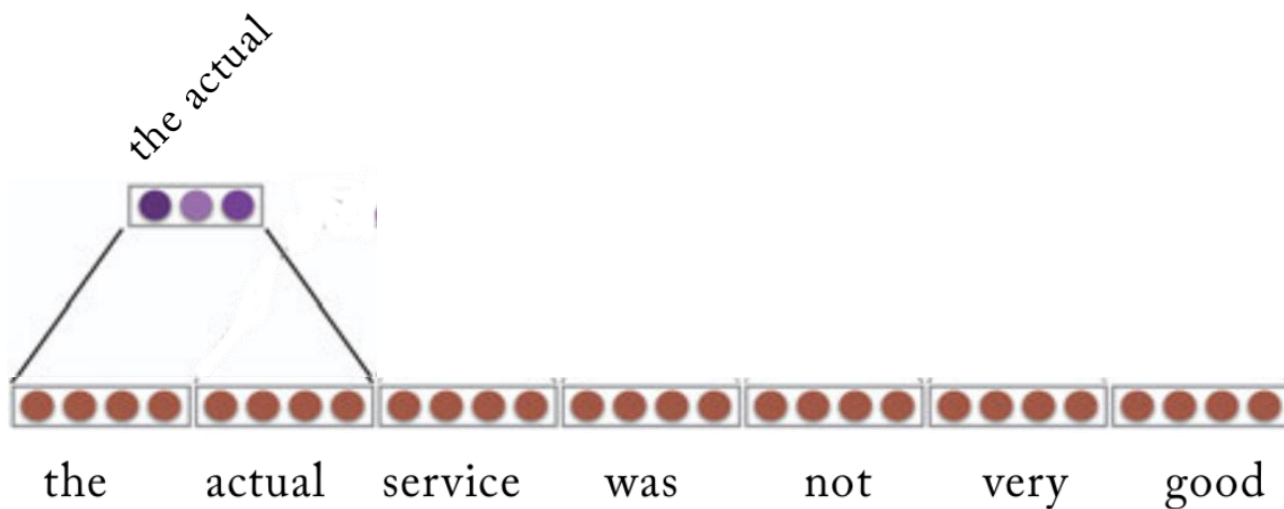
In the simplest case, the output value of the layer with input size  $(N, C_{\text{in}}, L)$  and output  $(N, C_{\text{out}}, L_{\text{out}})$  can be precisely described as:

$$\text{out}(N_i, C_{\text{out}_j}) = \text{bias}(C_{\text{out}_j}) + \sum_{k=0}^{C_{\text{in}}-1} \text{weight}(C_{\text{out}_j}, k) * \text{input}(N_i, k)$$

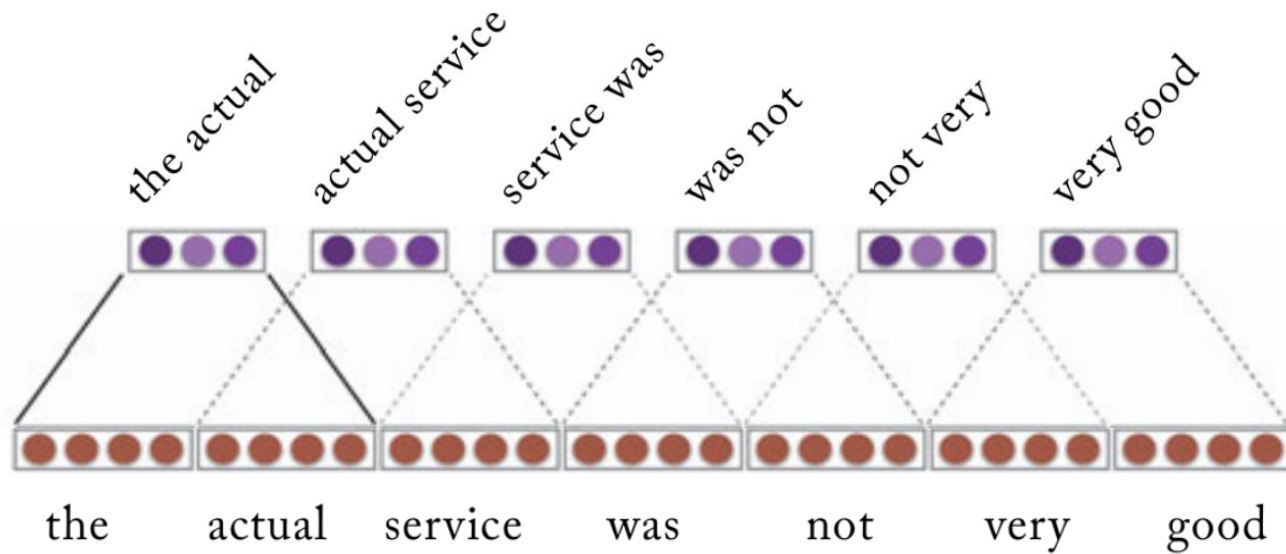
where  $*$  is the valid [cross-correlation](#) operator,  $N$  is a batch size,  $C$  denotes a number of channels,  $L$  is a length of signal sequence.

- `stride` controls the stride for the cross-correlation, a single number or a one-element tuple.
- `padding` controls the amount of implicit zero-paddings on both sides for `padding` number of points.
- `dilation` controls the spacing between the kernel points; also known as the à trous algorithm. It is harder to describe, but this [link](#) has a nice visualization of what `dilation` does.
- `groups` controls the connections between inputs and outputs. `in_channels` and `out_channels` must both be divisible by `groups`. For example,
  - At `groups=1`, all inputs are convolved to all outputs.
  - At `groups=2`, the operation becomes equivalent to having two conv layers side by side, each seeing half the input channels, and producing half the output channels, and both subsequently concatenated.
  - At `groups= in_channels`, each input channel is convolved with its

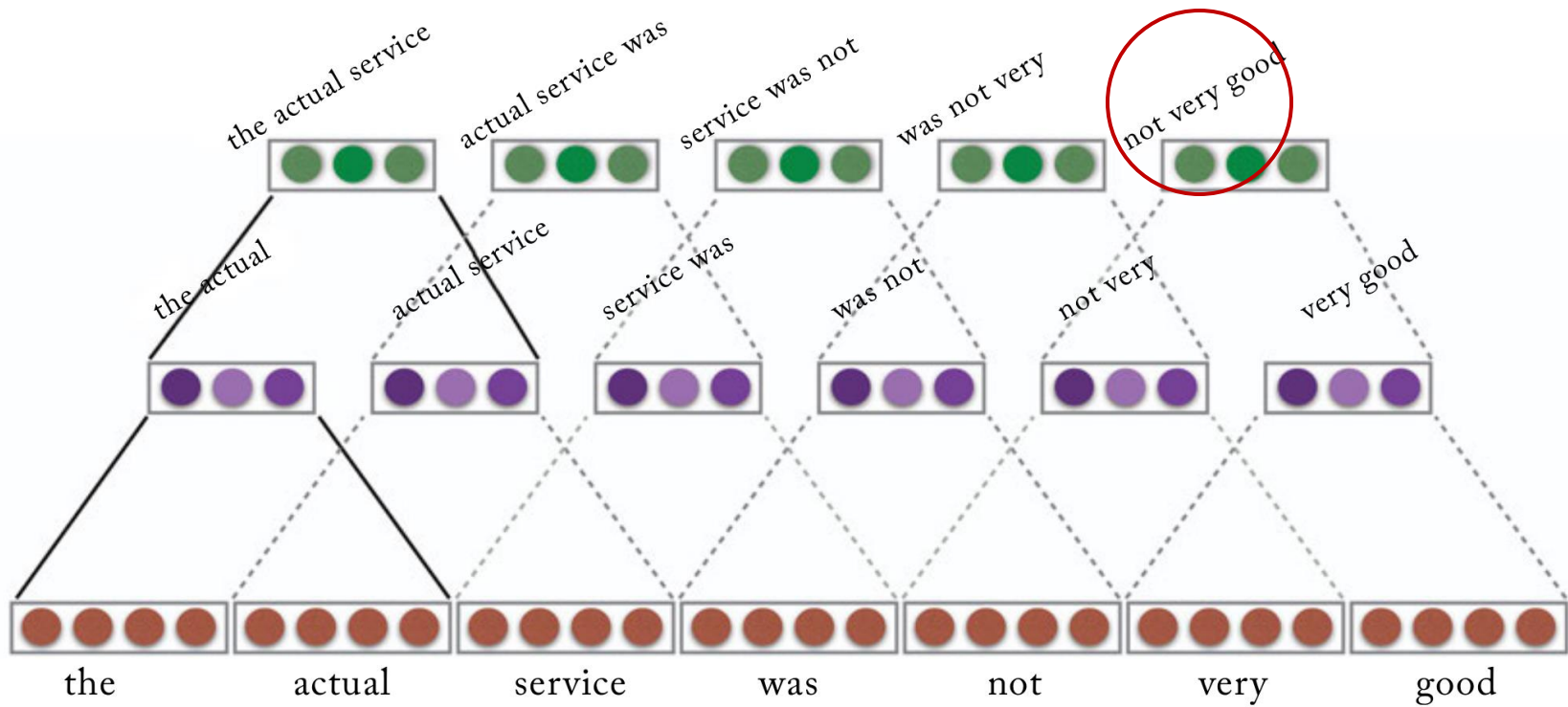
# Utiliser des CNNs pour autre chose?



# Utiliser des CNNs pour autre chose?



# Utiliser des CNNs pour autre chose?



# Convolutions 1D sur du texte

- Utilisation de word embeddings (que l'on verra bientôt)
- Extracteurs de "n-grams"
- On a un petit problème lorsque l'on fait de la classification...

## Conv1d

```
CLASS torch.nn.Conv1d(in_channels, out_channels, kernel_size, stride=1, padding=0,  
dilation=1, groups=1, bias=True)
```

[SOURCE]

Applies a 1D convolution over an input signal composed of several input planes.

In the simplest case, the output value of the layer with input size  $(N, C_{\text{in}}, L)$  and output  $(N, C_{\text{out}}, L_{\text{out}})$  can be precisely described as:

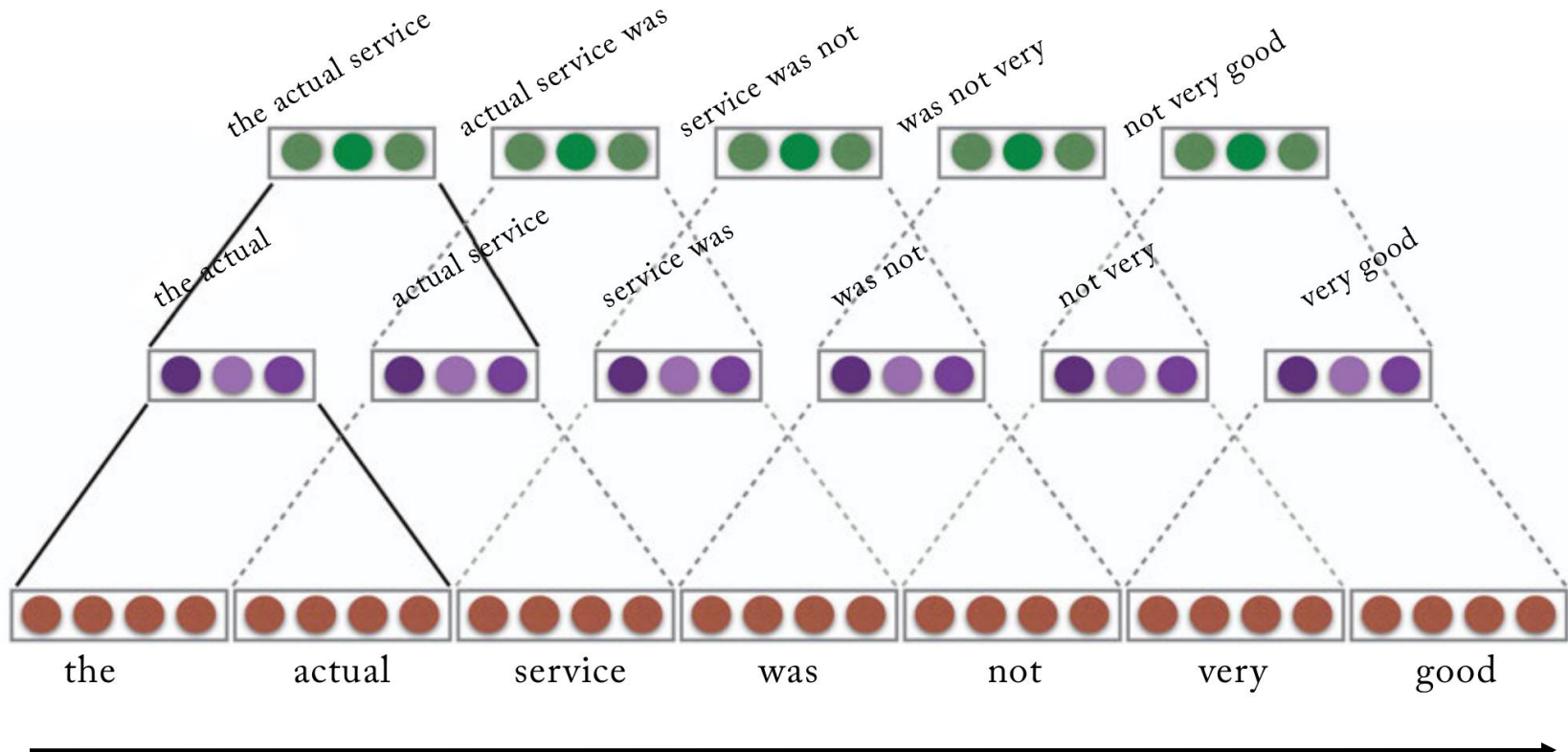
$$\text{out}(N_i, C_{\text{out}_j}) = \text{bias}(C_{\text{out}_j}) + \sum_{k=0}^{C_{\text{in}}-1} \text{weight}(C_{\text{out}_j}, k) * \text{input}(N_i, k)$$

where  $*$  is the valid [cross-correlation](#) operator,  $N$  is a batch size,  $C$  denotes a number of channels,  $L$  is a length of signal sequence.

- `stride` controls the stride for the cross-correlation, a single number or a one-element tuple.
- `padding` controls the amount of implicit zero-paddings on both sides for `padding` number of points.
- `dilation` controls the spacing between the kernel points; also known as the à trous algorithm. It is harder to describe, but this [link](#) has a nice visualization of what `dilation` does.
- `groups` controls the connections between inputs and outputs. `in_channels` and `out_channels` must both be divisible by `groups`. For example,
  - At `groups=1`, all inputs are convolved to all outputs.
  - At `groups=2`, the operation becomes equivalent to having two conv layers side by side, each seeing half the input channels, and producing half the output channels, and both subsequently concatenated.
  - At `groups= in_channels`, each input channel is convolved with its

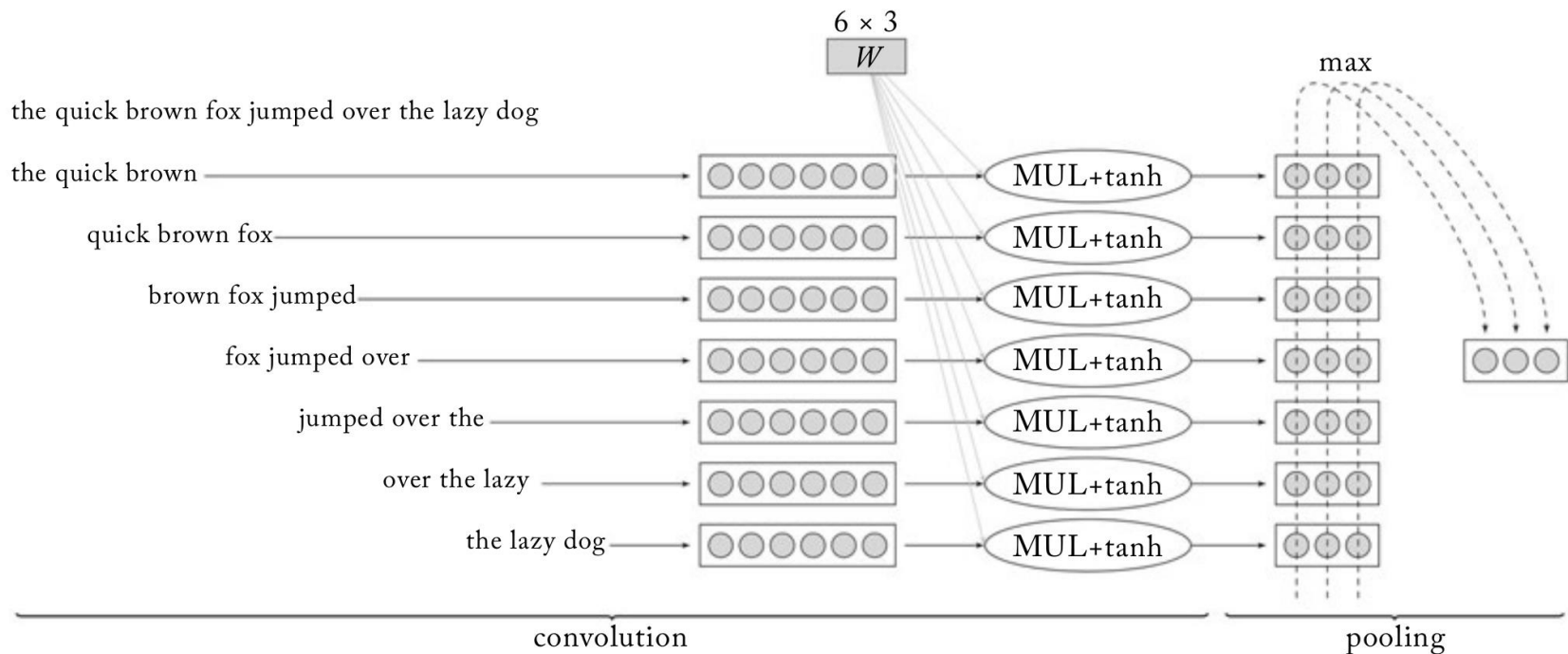
# Utiliser des CNNs pour autre chose?

5 "mots" en sortie



7 mots en entrée

# Max Pooling Over Time



# Embeddings

## Embedding

```
CLASS torch.nn.Embedding(num_embeddings, embedding_dim, padding_idx=None, max_norm=None,  
norm_type=2.0, scale_grad_by_freq=False, sparse=False, _weight=None)
```

[SOURCE]

A simple lookup table that stores embeddings of a fixed dictionary and size.

This module is often used to store word embeddings and retrieve them using indices. The input to the module is a list of indices, and the output is the corresponding word embeddings.

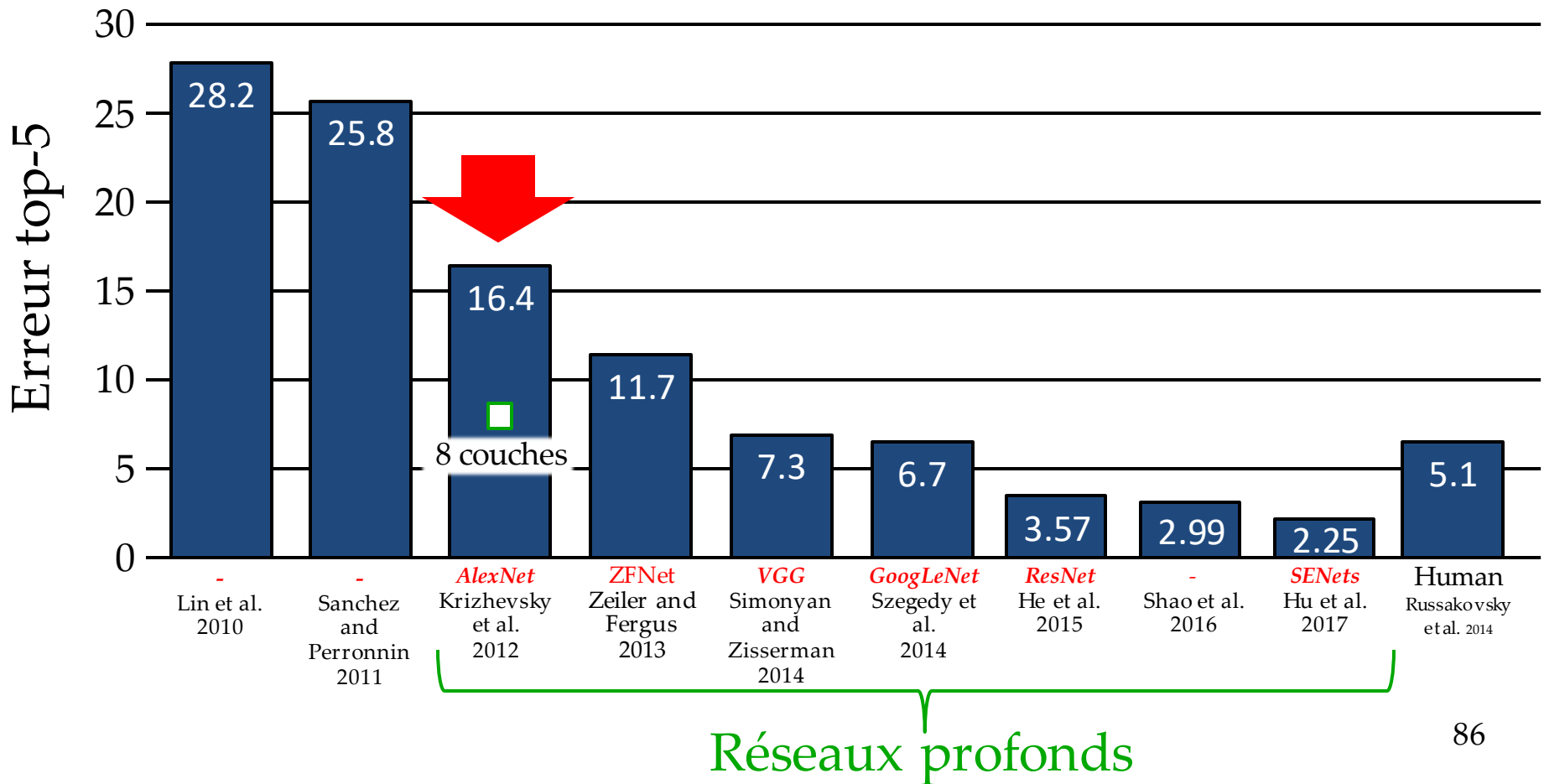


the      actual    service    was      not      very      good

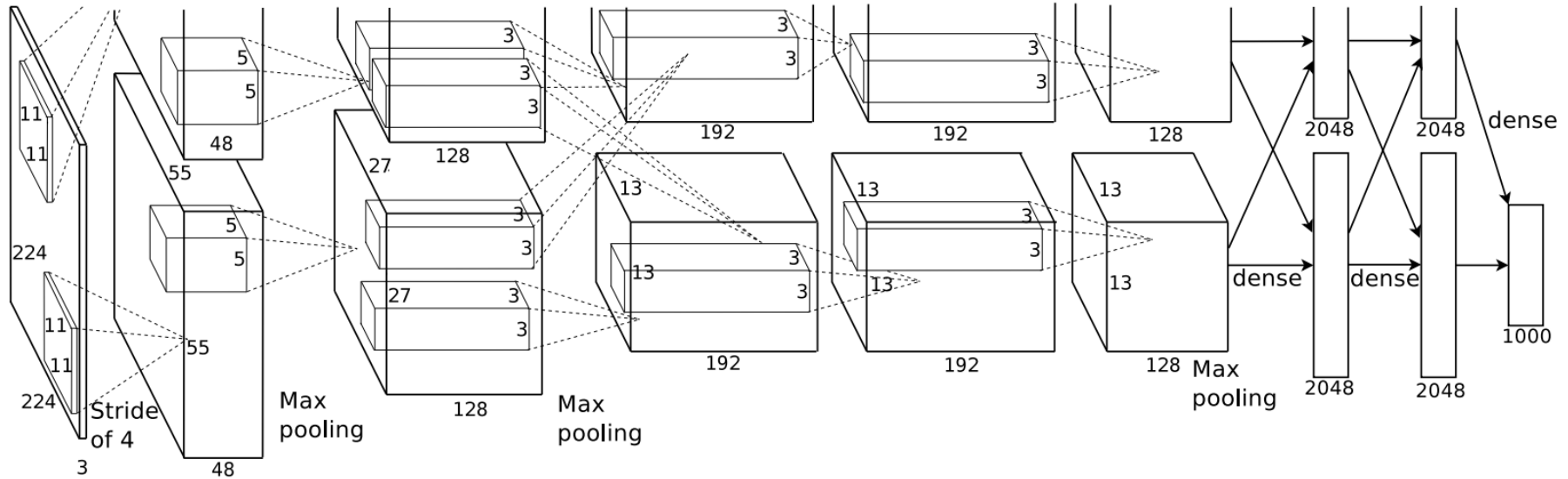
# Architectures

# Large Scale Visual Recognition Challenge

- *Image Classification Challenge :*
  - 1,000 classes d'objets
  - 1,431,167 images



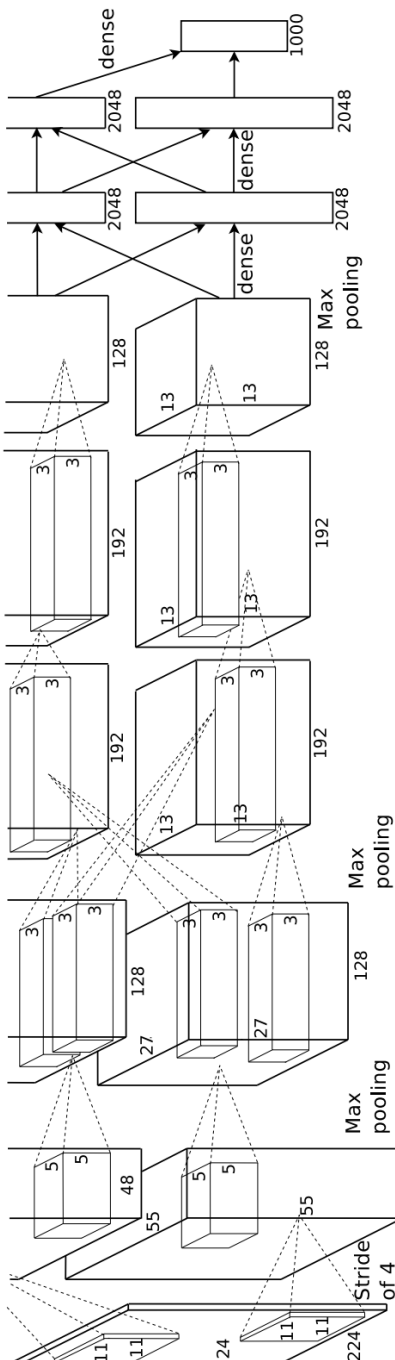
# AlexNet



- 8 couches
- 60M paramètres
- Apparition des ReLU
- Dropout de 0.5
- Entraîné sur deux cartes GTX 580 (3 Go) en parallèle

# AlexNet

majorité des paramètres



[1000] FC8: 1000 neurons (class scores)

[4096] FC7: 4096 neurons

[4096] FC6: 4096 neurons

[6x6x256] MAX POOL3: 3x3 filters at stride 2

[13x13x256] CONV5: 256 3x3 filters at stride 1, pad 1

[13x13x384] CONV4: 384 3x3 filters at stride 1, pad 1

[13x13x384] CONV3: 384 3x3 filters at stride 1, pad 1

[13x13x256] NORM2: Normalization layer

[13x13x256] MAX POOL2: 3x3 filters at stride 2

[27x27x256] CONV2: 256 5x5 filters at stride 1, pad 2

[27x27x96] NORM1: Normalization layer

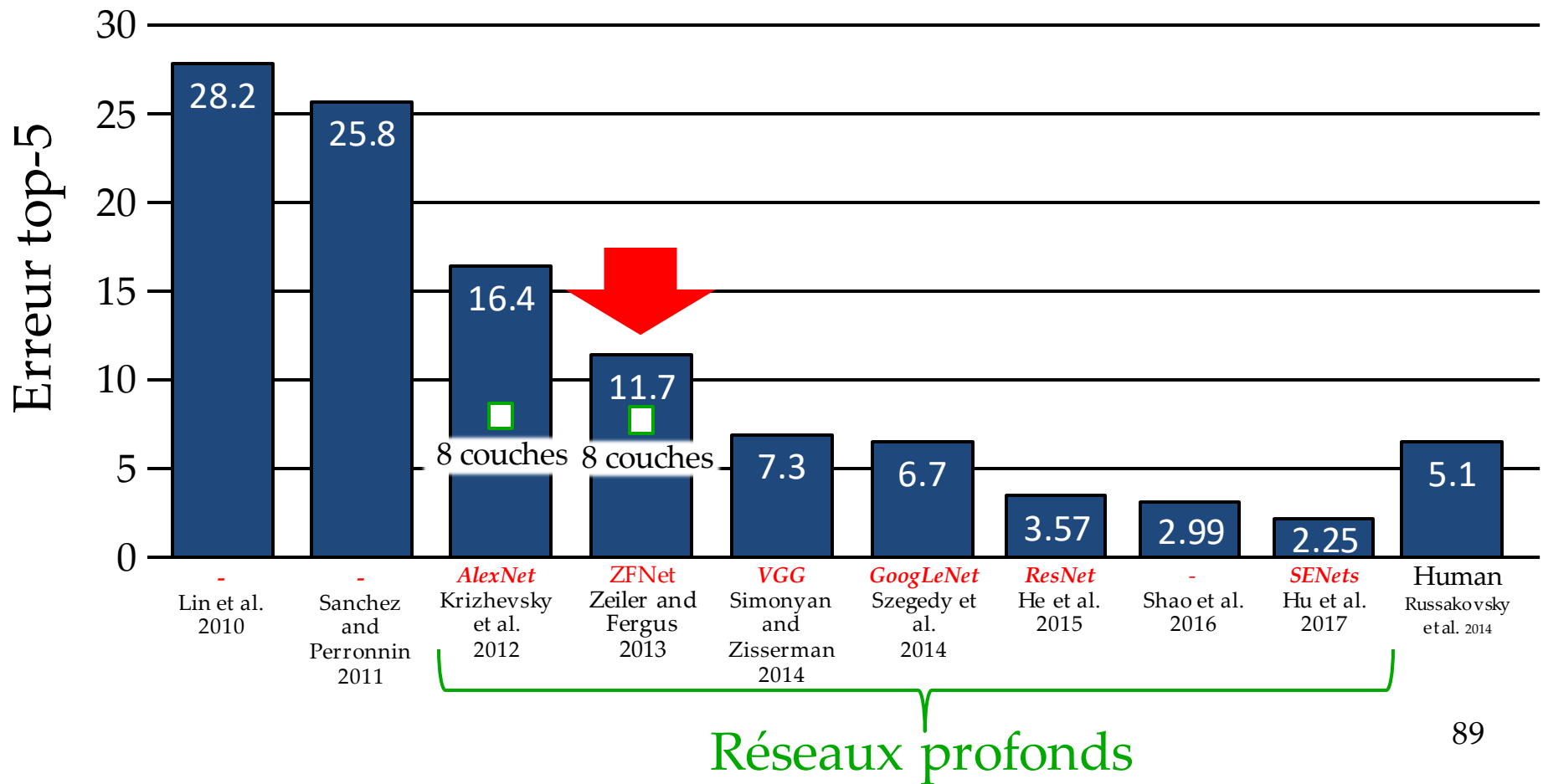
[27x27x96] MAX POOL1: 3x3 filters at stride 2

[55x55x96] CONV1: 96 11x11 filters at stride 4, pad 0

[227x227x3] INPUT

réduction rapide

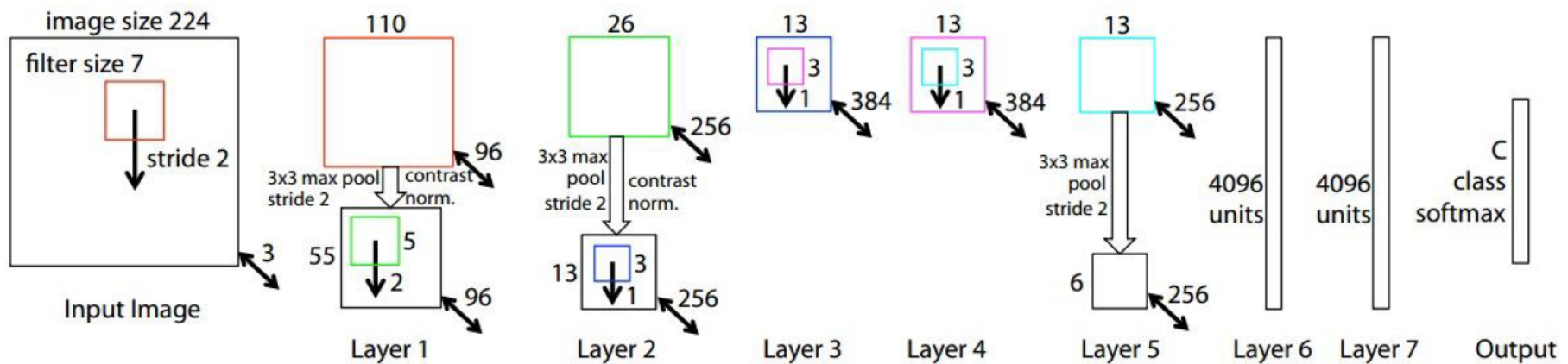
# Large Scale Visual Recognition Challenge



# ZFNet

## ZFNet

[Zeiler and Fergus, 2013]



AlexNet but:

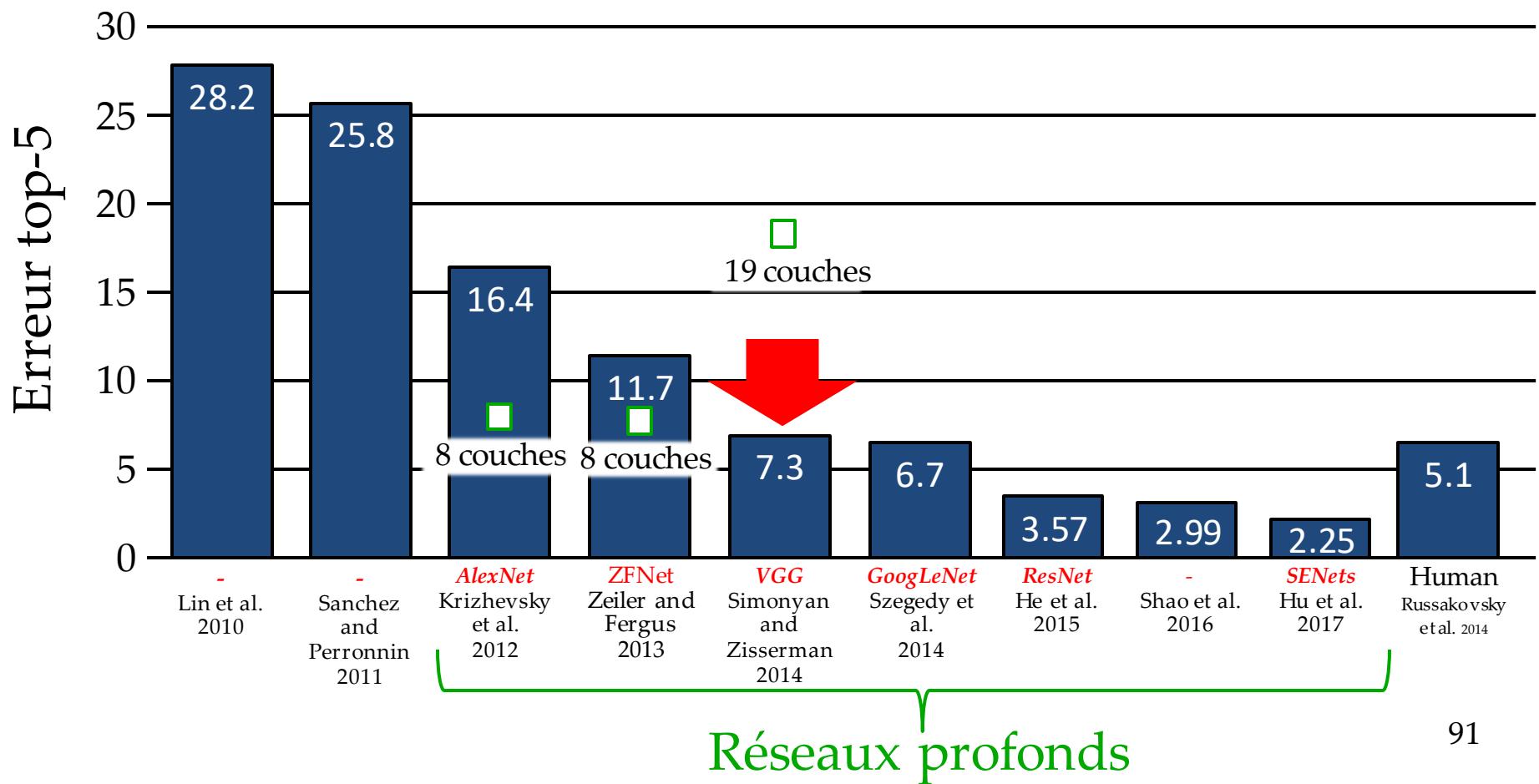
CONV1: change from (11x11 stride 4) to (7x7 stride 2)

CONV3,4,5: instead of 384, 384, 256 filters use 512, 1024, 512

TODO: remake figure

ImageNet top 5 error: 16.4% -> 11.7%

# Large Scale Visual Recognition Challenge



# VGGNet

- Toujours 3 couches **fully-connected** comme classificateur
- 16-19 couches
- 138M paramètres
- Que des convolutions 3x3
- Empilement de 3 convolution 3x3 a le même champ récepteur qu'un filtre 7x7
  - Mais plus de non-linéarité (si ReLU)
  - Moins de paramètres :  $3(3^2C^2)$  vs.  $7^2C^2$ , avec C channels en entrée-sortie (*économie de 45%*)



AlexNet

VGG16

VGG19

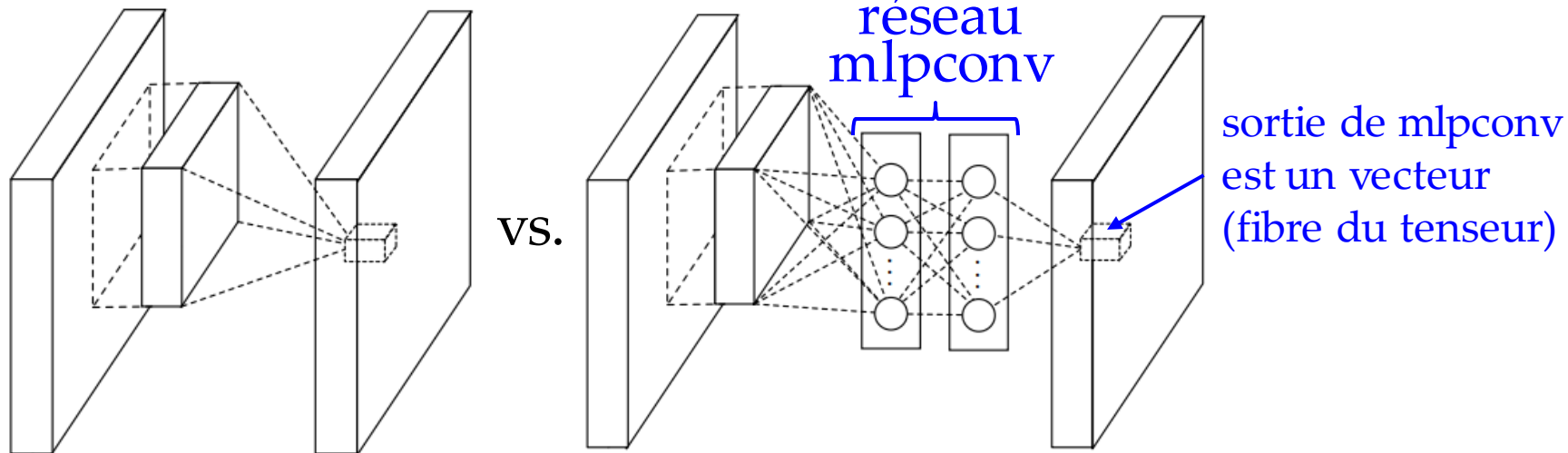
# VGGNet

- Procédure complexe d'entraînement
  - entraîne petit réseau
  - puis insère des nouvelles couches au milieu, initialisées au hasard
- Procédure inutile :

*It is worth noting that after the paper submission we found that it is possible to initialise the weights without pre-training by using the initialisation procedure of Gloriot & Bengio (2010).*

# Network In Network (NIN)

- Les filtres CNN supposent que les *features* sont linéairement séparables

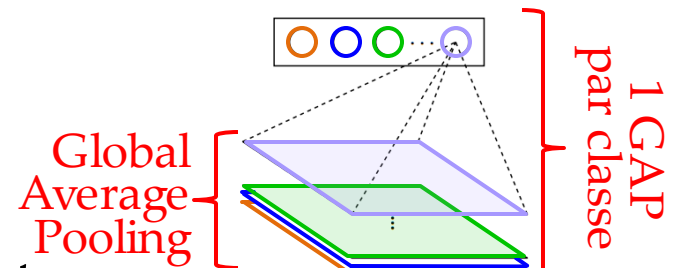
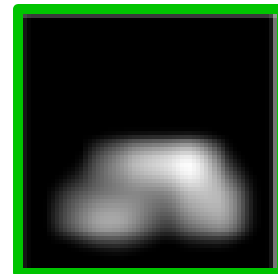
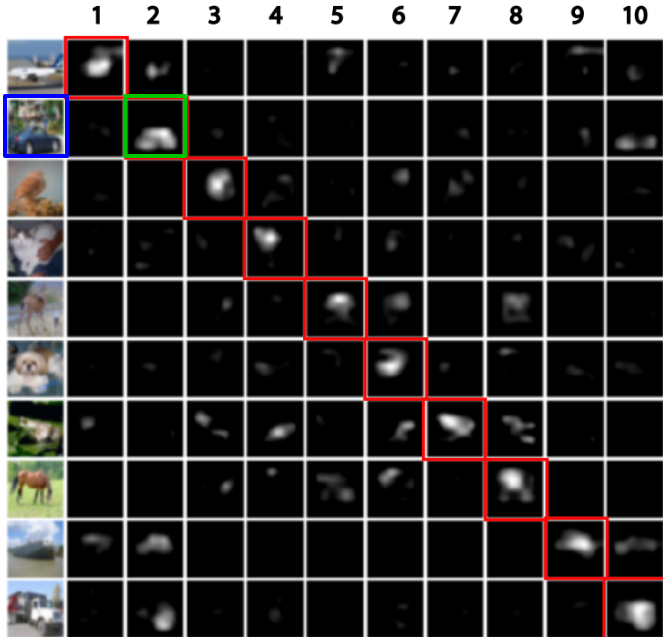


- Remplacé par un **micro-réseau de neurones (mlpconv)**, qui peut exprimer des fonctions non-linéaires
- Partagés, comme dans les filtres CNN
- Utilisation des convolutions 1x1

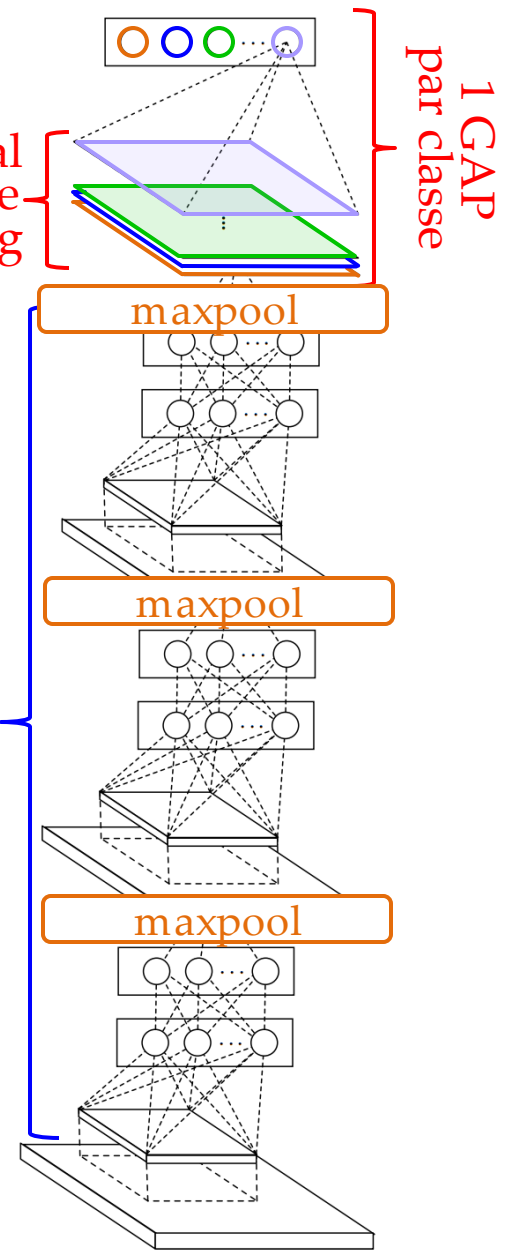
# NiN

- Introduit le **Global Average Pooling (GAP)** sur les features map finaux
- Moyenne d'un feature map au complet
- 1 par classe, connecté au softmax
- Force la corrélation entre un *feature map* et une classe :

Dernier feature map



3 couches  
mlpconv



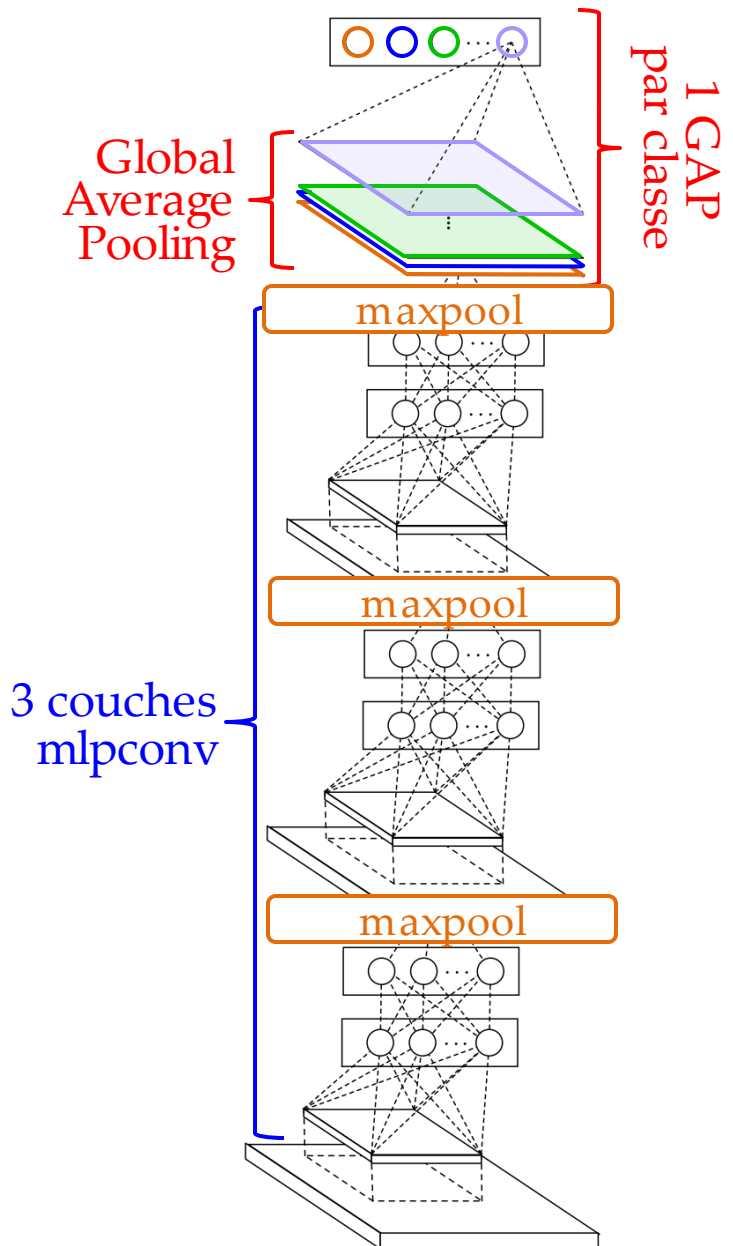
- Facilite l'interprétation des erreurs du réseau

# NiN

- **GAP** agit comme régularisateur structurel

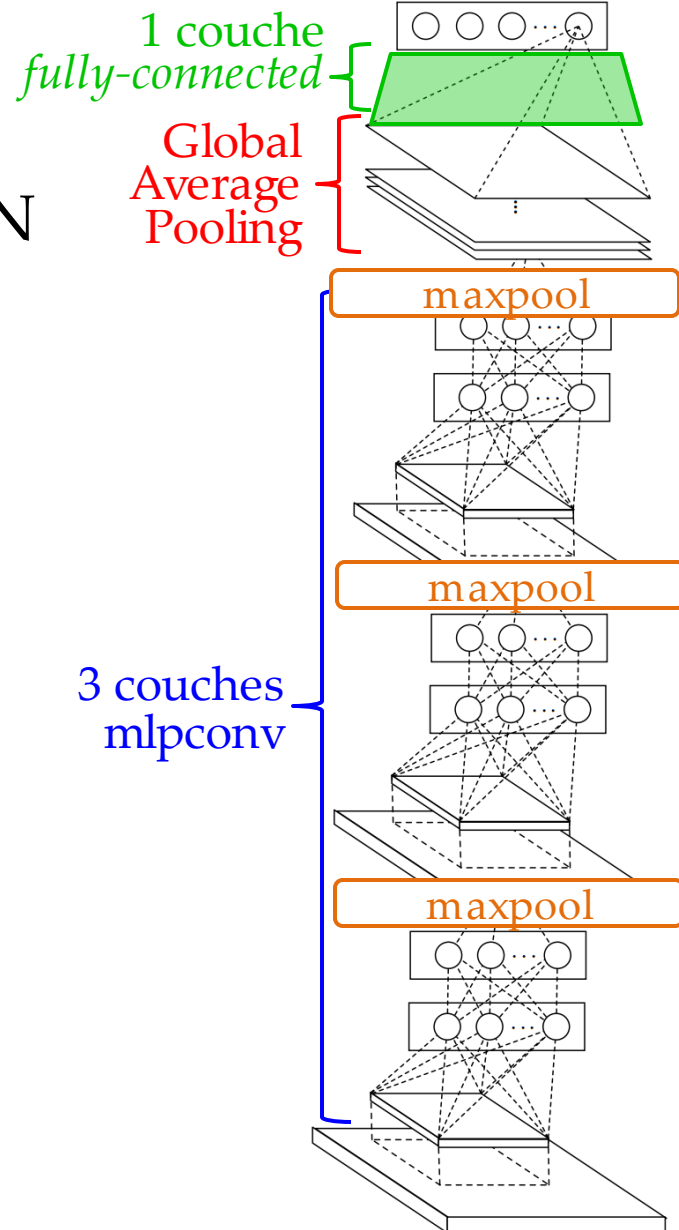
Method	Testing Error
mlpconv + Fully Connected	11.59%
mlpconv + Fully Connected + Dropout	10.88%
mlpconv + Global Average Pooling	10.41%

- Puissance d'extraction des **filtres micro-réseaux** améliore tellement la qualité des *features* que le classificateur n'est plus nécessaire
- Dropout sur les sorties **mlpconv 1 et 2**



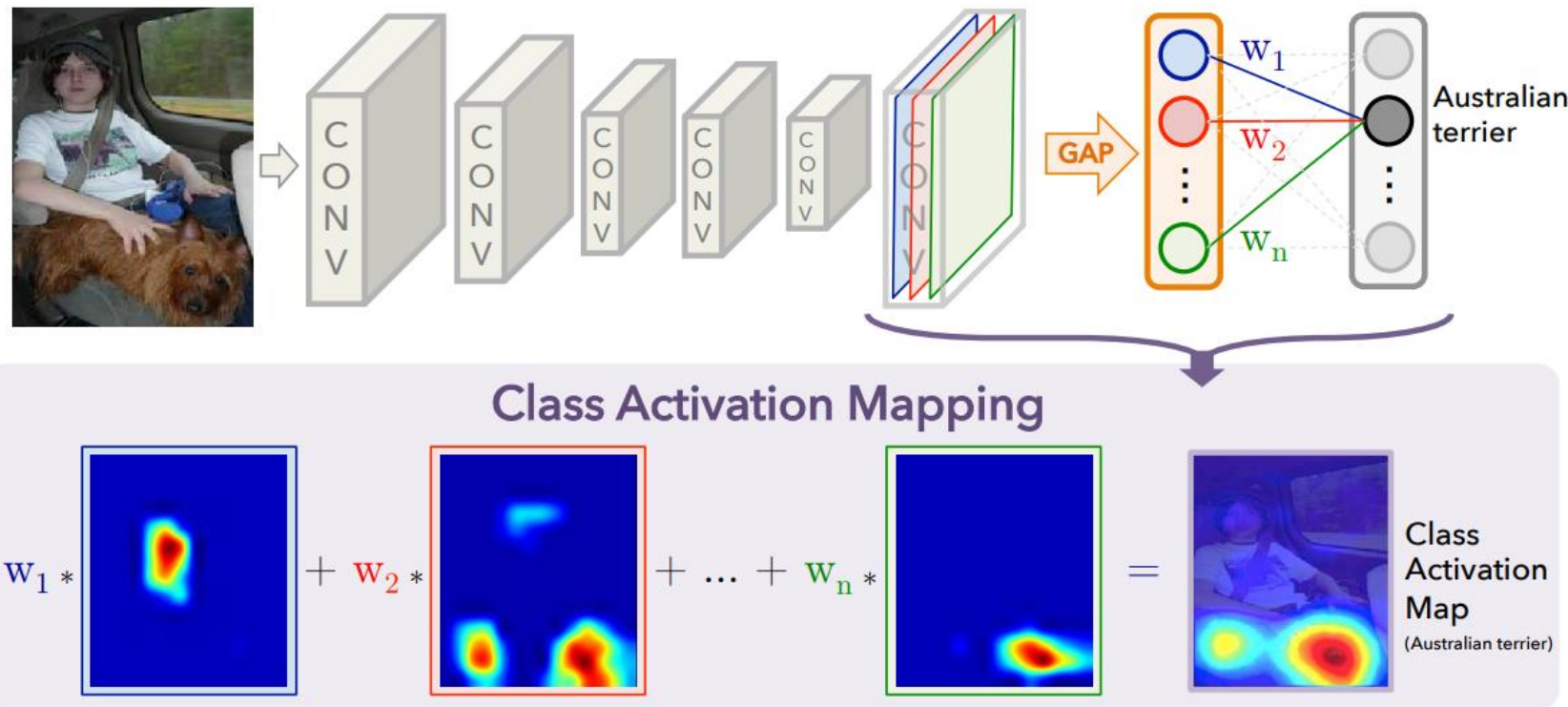
# NiN

- Certaines implémentation de NiN semblent utiliser une couche de **fully connected** comme classificateur (à vérifier!)
  - Beaucoup moins de paramètres
  - Beaucoup moins d'overfit
- Take-home message reste le même : plus besoin d'un classificateur puissant en sortie
- Tendance forte des prochaines architectures



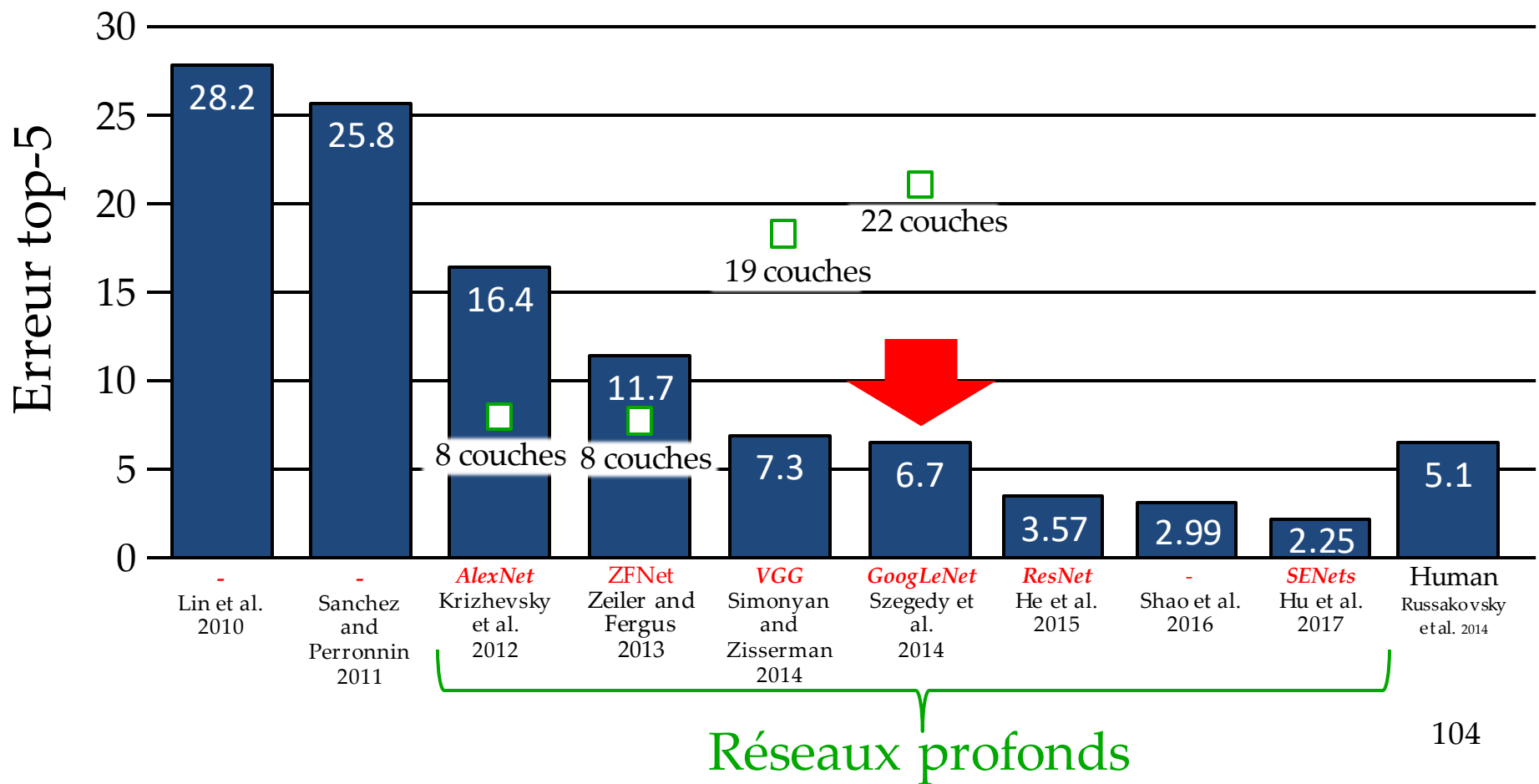
# GAP : localisation d'objet gratuite!

- <http://cnnlocalization.csail.mit.edu/>



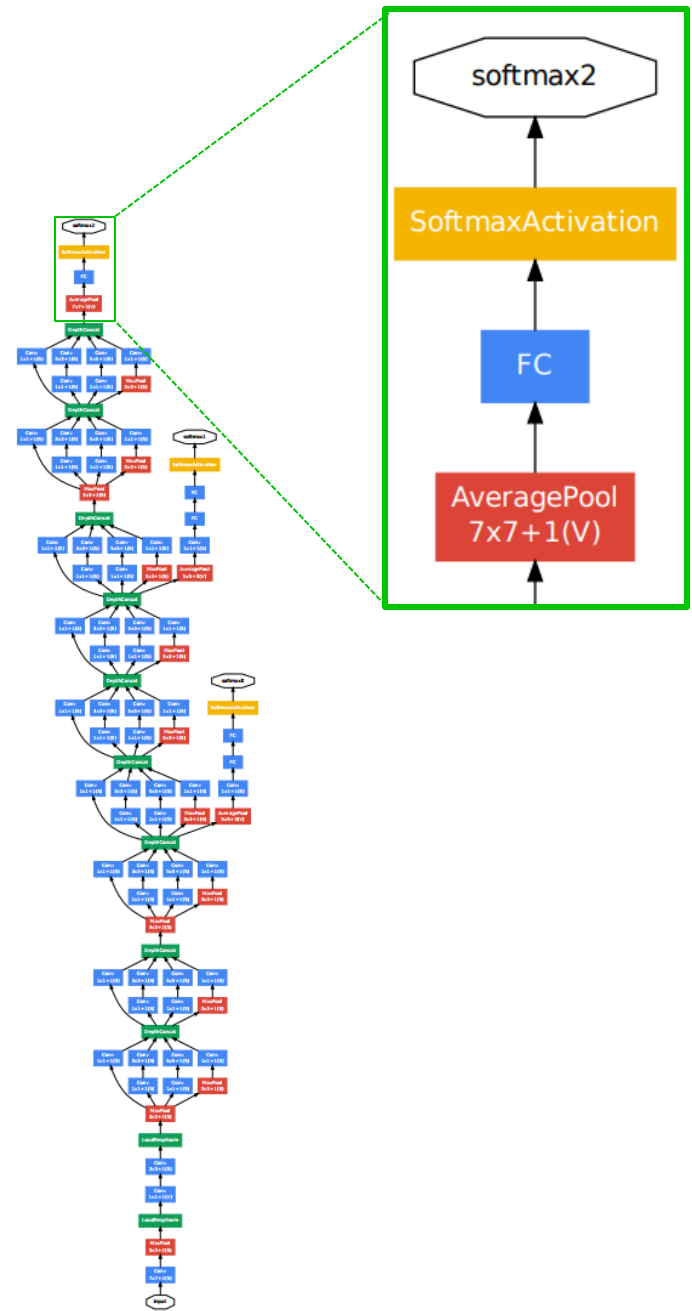
- Donne une certaine interprétabilité aux résultats

# Large Scale Visual Recognition Challenge



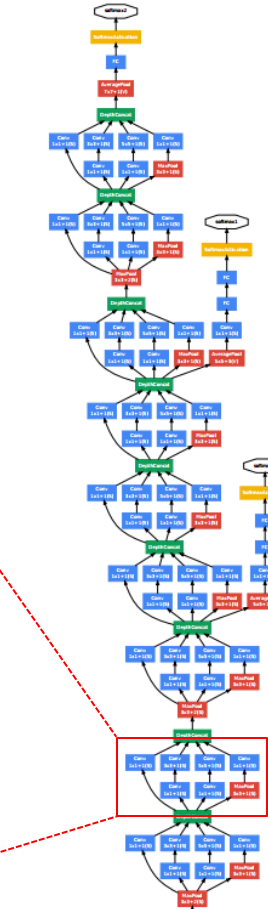
# GoogLeNet

- Réseau plus profond (22 couches)
- Seulement 5 millions de paramètres, 12 fois moins qu'AlexNet
- Toujours pas de batch norm
- GAP + une couche fully-connected (tendance classificateur faible)
- La couche *fully connected* ne sert (au dire des auteurs) qu'à adapter les *features* finaux vers le nombre de sorties (*labels*) désirées.



# GoogLeNet

- Emphase sur minimisation des calculs via modules *Inception*

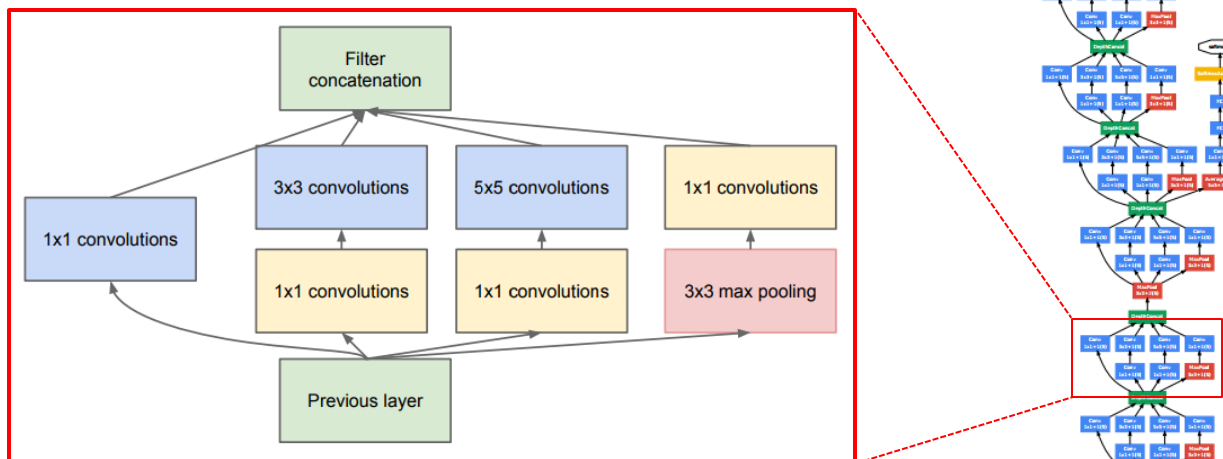


## References

- [1] Know your meme: We need to go deeper. <http://knowyourmeme.com/memes/we-need-to-go-deeper>. Accessed: 2014-09-15.

# GoogLeNet

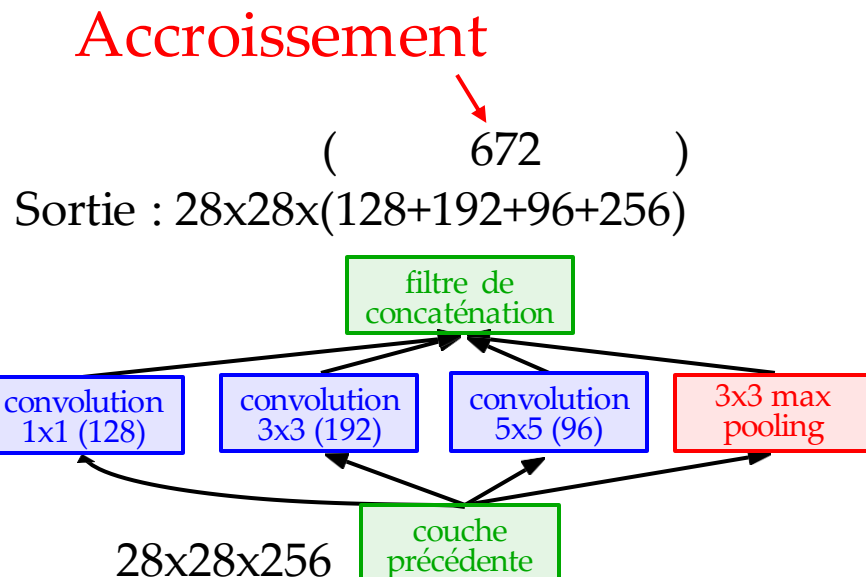
- Emphase sur minimisation des calculs via modules *Inception*



- S'éloigne ainsi de l'approche convolution 1 taille de filtre suivie de maxpool

# GoogLeNet

- Idée de base : avoir des filtres en parallèle avec des champs récepteurs de taille multiple (pyramide spatiale)
- La couche suivante a donc accès à des *features* à plusieurs échelles spatiales
- Version naïve :



## Coût en calcul

### Conv Ops:

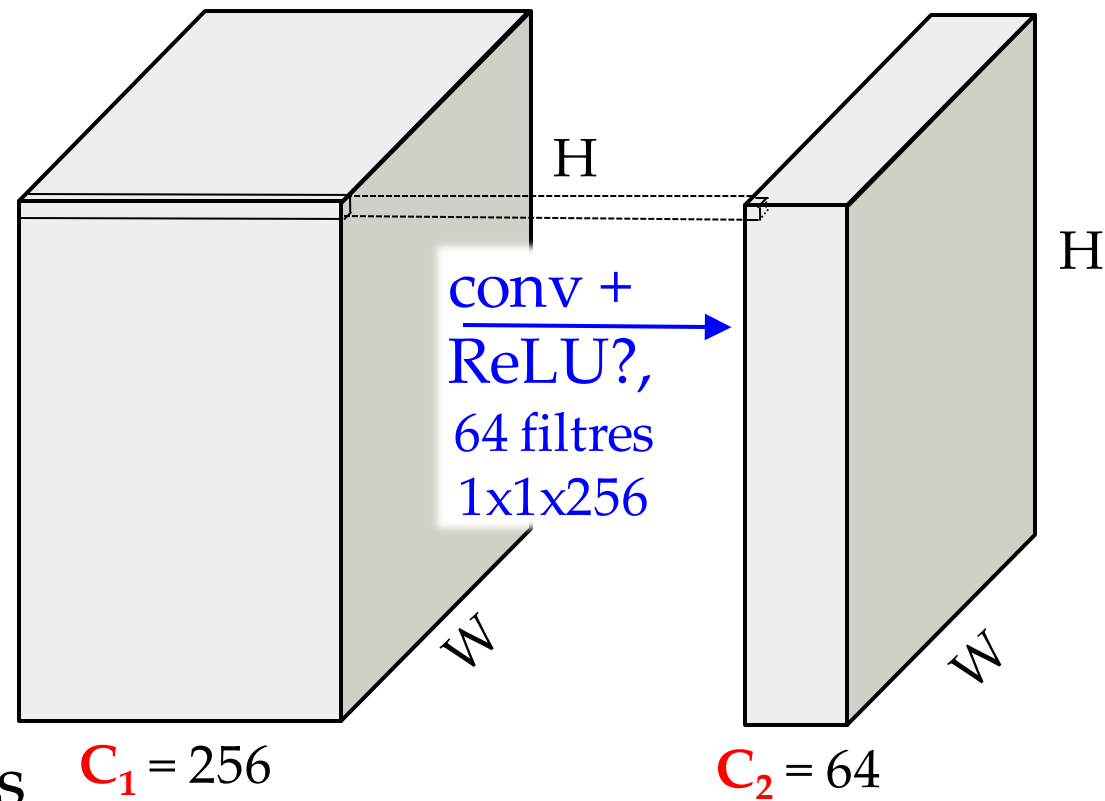
[1x1 conv, 128]  $28 \times 28 \times 128 \times 1 \times 1 \times 256$   
[3x3 conv, 192]  $28 \times 28 \times 192 \times 3 \times 3 \times 256$   
[5x5 conv, 96]  $28 \times 28 \times 96 \times 5 \times 5 \times 256$

**Total: 854M ops**

Détail des calculs dans la vidéo Stanford  
<https://youtu.be/DAOcjicFr1Y?t=1717>

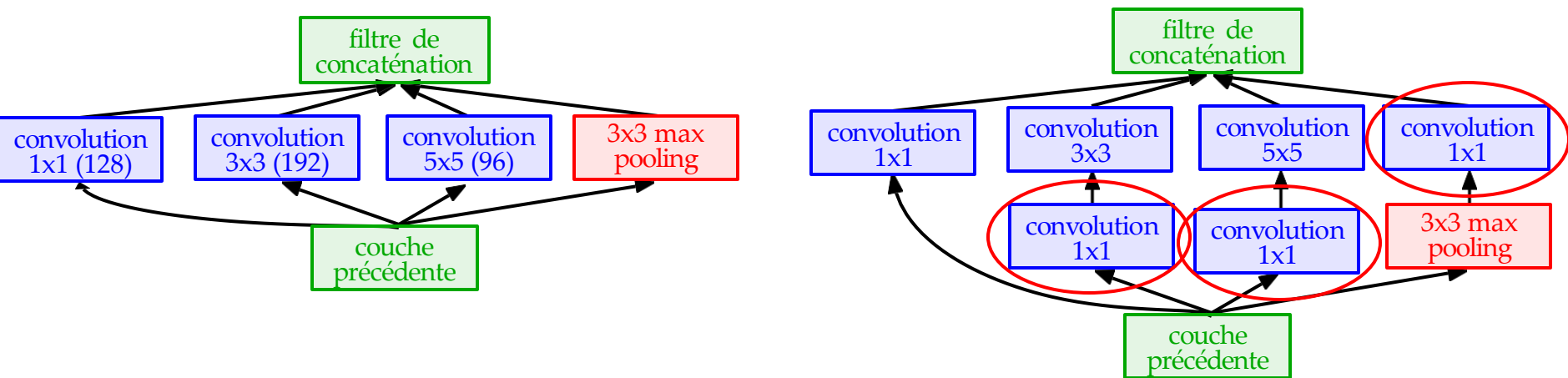
# Convolution 1x1

- Origine dans NiN
- Popularisées par GoogLeNet (prochaine architecture)
- Semble inutile...
- Rappel :  $1 \times 1 \times C$
- Préserve les dimensions  $H, W$
- Sert à réduire le nombre de dimensions  $C$ , via une projection linéaire (style PCA)
- *Fully-connected* sur les features
- Forme de bottleneck



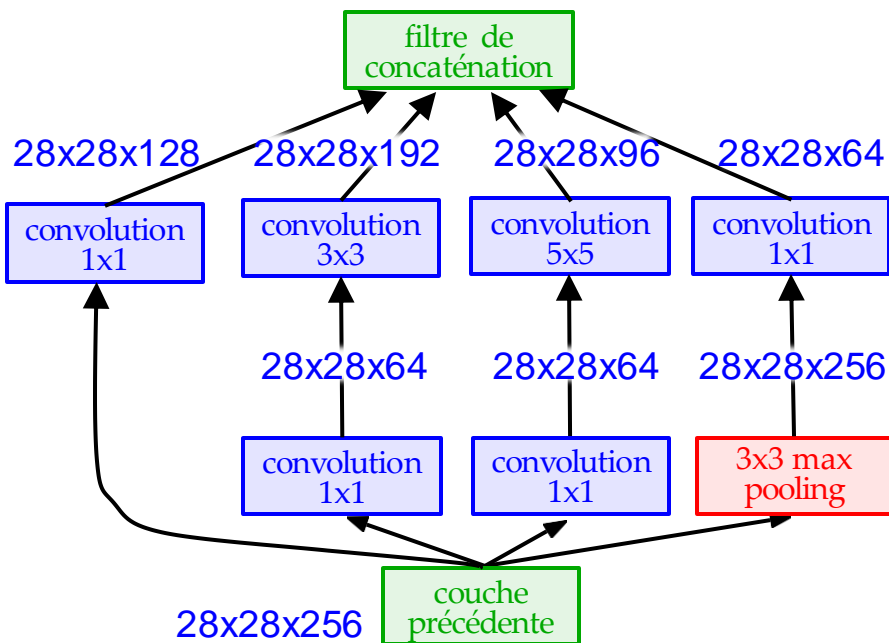
# GoogLeNet

- Ajout de convolutions 1x1 comme bottleneck
- Permet de choisir la dimension d'entrée des opérations de convolution couteuses



# GoogLeNet

- Fera diminuer :
  - nombre de calcul
  - dimension en sortie



## Coût en calcul

### Conv Ops:

[1x1 conv, 64]  $28 \times 28 \times 64 \times 1 \times 1 \times 256$   
[1x1 conv, 64]  $28 \times 28 \times 64 \times 1 \times 1 \times 256$   
[1x1 conv, 128]  $28 \times 28 \times 128 \times 1 \times 1 \times 256$   
[3x3 conv, 192]  $28 \times 28 \times 192 \times 3 \times 3 \times 64$   
[5x5 conv, 96]  $28 \times 28 \times 96 \times 5 \times 5 \times 64$   
[1x1 conv, 64]  $28 \times 28 \times 64 \times 1 \times 1 \times 256$

**Total: 358M ops**

Passe de 854Mops à 358 Mops pour cet exemple

Détail des calculs dans la vidéo Stanford

# GoogLeNet

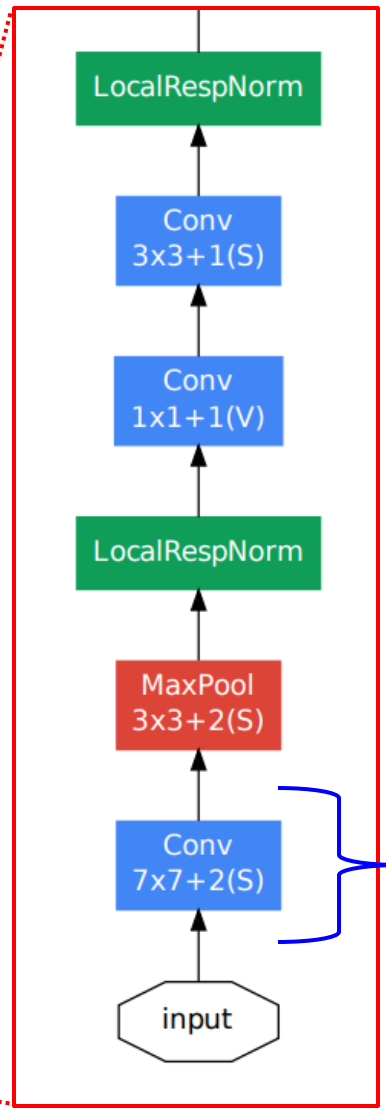
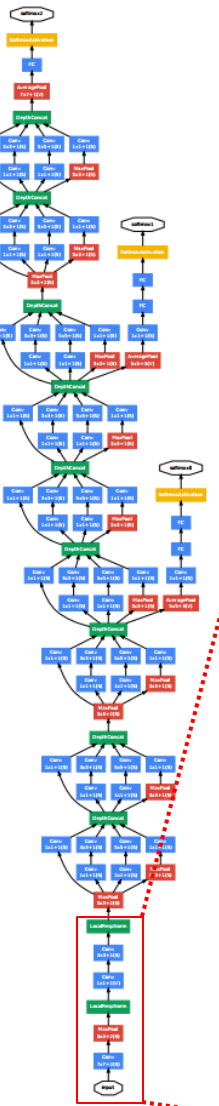
## Entrée

type	patch size/ stride	output size	depth	#1×1	#3×3 reduce	#3×3	#5×5 reduce	#5×5	pool proj	params	ops
convolution	$7\times 7/2$	$112\times 112\times 64$	1							2.7K	34M
max pool	$3\times 3/2$	$56\times 56\times 64$	0								
convolution	$3\times 3/1$	$56\times 56\times 192$	2		64		192			112K	360M
max pool	$3\times 3/2$	$28\times 28\times 192$	0								
inception (3a)		$28\times 28\times 256$	2	64	96	128	16	32	32	159K	128M
inception (3b)		$28\times 28\times 480$	2	128	128	192	32	96	64	380K	304M
max pool	$3\times 3/2$	$14\times 14\times 480$	0								
inception (4a)		$14\times 14\times 512$	2	192	96	208	16	48	64	364K	73M
inception (4b)		$14\times 14\times 512$	2	160	112	224	24	64	64	437K	88M
inception (4c)		$14\times 14\times 512$	2	128	128	256	24	64	64	463K	100M
inception (4d)		$14\times 14\times 528$	2	112	144	288	32	64	64	580K	119M
inception (4e)		$14\times 14\times 832$	2	256	160	320	32	128	128	840K	170M
max pool	$3\times 3/2$	$7\times 7\times 832$	0								
inception (5a)		$7\times 7\times 832$	2	256	160	320	32	128	128	1072K	54M
inception (5b)		$7\times 7\times 1024$	2	384	192	384	48	128	128	1388K	71M
avg pool	$7\times 7/1$	$1\times 1\times 1024$	0								
dropout (40%)		$1\times 1\times 1024$	0								
linear		$1\times 1\times 1000$	1							1000K	1M
softmax		$1\times 1\times 1000$	0								

Augmente le nombre de filtre  
selon la distance de l'entrée

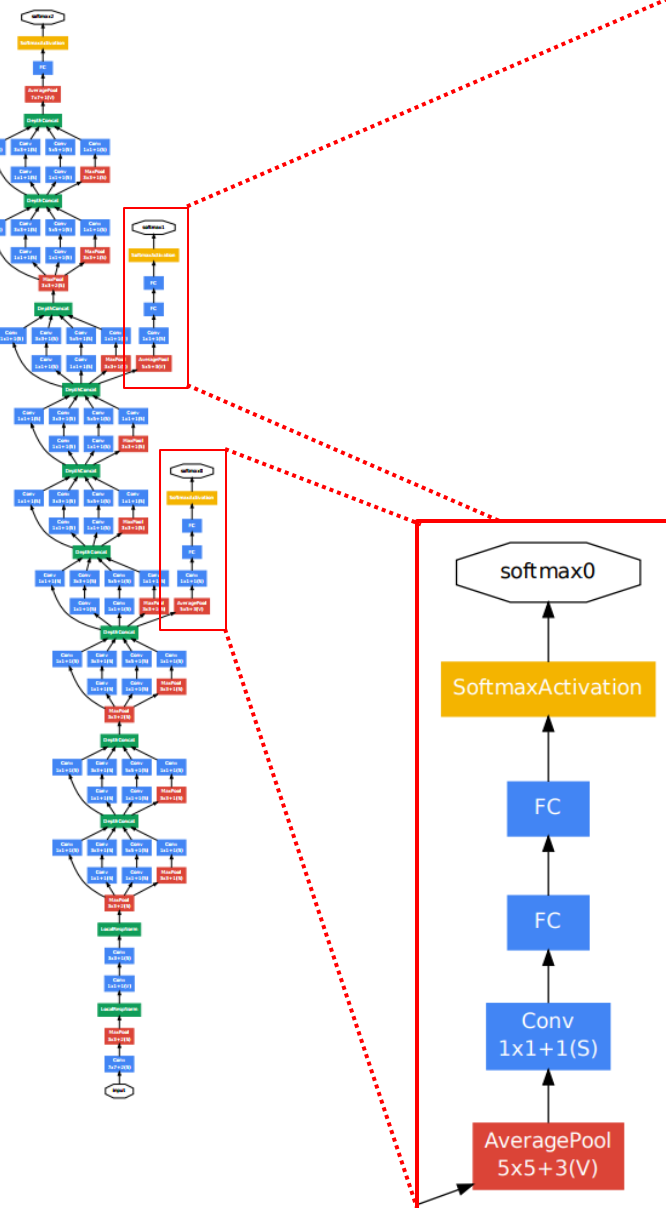
## Sortie

# GoogLeNet : base du réseau



convolution plus large à la base  
AlexNet : 11x11

# GoogLeNet : têtes auxiliaires



deux couches fully-connected, besoin d'un classificateur plus puissant car features moins évolués

- Pour combattre le vanishing gradient
- Fonction des pertes sur softmax0 et softmax1 multipliée par 0.3
- Ne contribue que pour 0.5% de gain

Fin Partie I